

МИНИСТЕРСТВО ГЕОЛОГИИ СССР
МИНИСТЕРСТВО ГЕОЛОГИИ РСФСР
КРАСНОЯРСКОЕ ТЕРРИТОРИАЛЬНОЕ ГЕОЛОГИЧЕСКОЕ УПРАВЛЕНИЕ

Уч. № 0125

ГЕОЛОГИЧЕСКАЯ КАРТА СССР

МАСШТАБА 1:200 000

СЕРИЯ ЗАПАДНО-САЯНСКАЯ

Лист М-46-XIII

Объяснительная записка

Составители: Г.П.Александров, Ю.С.Гуляев,
Г.Г.Сотникова

при участии П.П.Валью

Редактор П.С.Матросов

Утверждено филиалом Научно-редакционного совета ВСЕГЕИ при
СНИИГГИМС 1 декабря 1966 г., протокол № 16

В брошюре прошумеровано 116 стр.

Редактор И.А.Санжара
Технический редактор Ц.С.Левитан

Сдано в печать 4/У 1973 г. Подписано к печати 11/УI 1974 г.
Тираж 150 экз. Формат 60x90/16 Печ.л. 7,25 Заказ 1024с

Центральное специализированное производственное
хозрасчетное предприятие

Всесоюзного геологического фонда

8

ВВЕДЕНИЕ

Изученная территория по административному делению относится к Барун-Хемчикскому району Тувинской АССР и располагается в области сопряжения хребта Цаган-Шибэту с Западным Танну-Ола. Географические координаты: $50^{\circ}00' - 50^{\circ}40'$ с.ш., $90^{\circ}00' - 91^{\circ}00'$ в.д.

Район является высокогорным со сложным строением рельефа. В северной части поверхность характеризуется значительной расчлененностью, глубоко врезанной речной сетью, где абсолютные высоты колеблются от 2300 до 3576м и относительные превышения от 800 до 2000м. Южная часть района отличается несколько сглаженными формами рельефа. Гидрографическая сеть в основном принадлежит к бассейнам рек Барлык и Карги. Река Барлык течет с юга на север и является одной из самых бурных и многоводных рек Западной Тувы с крытым продольным профилем, многочисленными порогами и водопадами. Многочисленные притоки р. Барлык, владающие справа - Чазадыр, Орту-Пахаш, Усту-Пахаш, Оначы, Арзанты, Эльды-Хем, Хемчечайлык и, владающие слева - Пертай, Талайлыг, Улуг-Кожей, Пюштых-Белдыр во многом унаследовали её горный характер. Река Карги протекает в восток-юго-восточном направлении между хребтом Цаган-Шибэту и горным массивом Мунгун-Тайга. Течение её спокойное, без перекатов и порогов. Пойменная часть долины хорошо разработана. Русло реки, меандрируя, нередко образует многочисленные протоки. Её левые притоки: Чинге-Тытыг-Хем, Колбак-Тытыг-Хем, Кургал-Тытыг-Хем, Сруктук-Тытыг-Хем и др., и справа - Мугур, Балыктык. На юго-западе района реки: Мугур-Шагетай, Арта-Шагетай, Талайты и Хара-Харагай, стекающие с южных склонов горного массива Мунгун-Тайга, изобилуют озерами.

Климат района резко континентальный. Годовая амплитуда температур (по данным гидрометеостанции Мугур-Аксы 1963г.) достигает 59° (летний максимум плюс 27° , зимний минимум минус 32°). Средняя годовая температура $-3,0^{\circ}$. Годовая сумма осадков 89мм. Преобладающее направление розы ветров – западной четверти. Снежный покров в районе устанавливается в конце сентября-начале октября, а ликвидируется в июне.

Леса на большей части территории отсутствуют. Мелкие массивы хвойных по северным склонам гор наблюдаются совместно со скучной травянистой растительностью. Обнаженность района хорошая. Животный мир многообразен. В реках и озерах много разнообразной рыбы.

Население района – тувинцы, главным занятием которых является отгонно-пастбищное скотоводство и охота. На территории района имеется лишь один населенный пункт – пос. Мугур-Аксы. Сообщение между этим поселком и районным центром пос. Кызыл-Мажалык, а также центром Тувинской АССР г. Кызылом осуществляется воздушным транспортом.

Непосредственно в районе геологические исследования были начаты в 1945г. В.А. Кузнецовым (1948, 1952, 1954) которым на значительную часть его территории была составлена геологическая карта масштаба 1:50000 и произведено тектоническое районирование. Им выделены докембрийские зеленые сланцы (ныне сютхольская и ишканская свита), кембрийская осадочно-эффузивная толща, ордовикские сланцы, силурийские песчаники (в долине р. Барлык), девонские алевролиты и песчаники (в долине р. Могун-Бурень). Интрузивные породы В.А. Кузнецовым были расчленены на таконский и варисский комплексы, причем к первому отнесены Чингекатский гранитный массив, а ко второму – Мунгун-Тайгинский.

Систематические геолого-съемочные и поисковые работы в районе начались в 1946г. Первоначально они проводились Тувинской (Дальней) экспедицией ВСЕГЕИ, а затем продолжены Горной экспедицией Первого Главного геологического управления.

В 1946–1947гг. А.Л. Додина при производстве съемочно-поисковых работ масштаба 1:500 000 и 1:200 000 были уточнены контуры, ранее выделенных В.А. Кузнецовым отложений и закартированы осадочно-эффузивные образования среднего девона, развитые в бассейнах рек Талайлык-Карги. Впервые выделены среднеюрские угленосные отложения и выявлено Каргинское рудопроявление железа.

В 1954–1955гг. Г.И. Иванова, проводя съемочно-поисковые работы масштаба 1:200 000, существенно уточняет геологическую карту А.Л. Додина. Толщу зеленых сланцев, развитую в междуречье Талай-

лык-Барлык, Г.И. Иванова (1955ф, 1956ф) вслед за В.А. Кузнецовым отнесла к докембрию. Терригенно-карбонатные отложения, с угловым несогласием перекрывающие кембрийские образования – к силуру, среди которых условно выделила три яруса: лландовери, венлок и лудлов. Среди девонских отложений выделены нижний и средний отдельы. Интрузивные образования района расчленяются на пять комплексов: акторакский, таниульский, сютхольский, тельбесский и варисский. Г.И. Ивановой выявлен целый ряд рудопроявлений и открыто Чазадырское месторождение ртути.

В 1956г. в районе проводились специализированные геофизические исследования с поисками масштаба 1:50000 под руководством Л.Н. Щербакова (1957ф), а в 1957г. – А.И. Игошина (1958ф). В процессе этих работ были выявлены: Балыктыкское рудопроявление олова, Эльды-Хемское рудопроявление ртути, Хемчачейлыкское рудопроявление полиметаллов и другие проявления медной и железной минерализации.

В 1958–1961гг. на территории района в большом объеме проведены специальные поисковые работы масштаба 1:25000 с применением тяжелых горных выработок. Эти работы возглавляли: А.А. Анцырев (1960ф), Г.Г. Бельский (1961ф, 1962ф), В.В. Попов (1961ф), И.М. Селезнев (1957ф), Б.П. Сухарев (1958ф).

Кроме работ, рассмотренных выше, в районе производились тематические исследования В.Г. Кудрявцевым, П.С. Матросовым, Н.Н. Предтеченским, М.А. Черноморским, А.Н. Кеном, В.И. Васильевым, Э.Ф. Дорофеевой, Е.В. Владимирской, Г.М. Владимирским, О.М. Гирфановой и др.

В 1961г. Н.Н. Предтеченский на правобережье р. Карги впервые выявил ордовикские отложения с остатками фауны, подразделив их на две свиты. Нижнюю, существенно эфузивную, он назвал мугураксинской, а верхнюю – каргинской.

Аэрогеофизические работы в районе не производились. Наземные магнитометрические исследования осуществлялись частично на площади геодсемки масштаба 1:50 000 в 1963–1965гг.

К началу государственной геологической съемки большая часть территории района была покрыта некондиционными съемками разного масштаба, производившимися на основе совершенно несопоставимых стратиграфических схем. Государственная съемка масштаба 1:200 000 проведена в 1963–1965гг. Мугураксинской партией под руководством Г.П. Александрова. В процессе картирования проводилось дополнительно шлиховое, металлометрическое и гидрохимическое опробование. В этот же период в районе на отдельных площадях осуществлялись

среднемасштабные геолого-съемочные и поисковые работы партиями Тувинской экспедиции под руководством В.Д. Широкушкина (1966), Э.И. лешакова (1965), Б.А. Быкова (1964) и М.А. Жукова (1964). Результаты всех этих исследований были использованы при составлении геологической карты, карты полезных ископаемых листа М-46-ХIII и объяснительной записки.

Геологическая карта листа М-46-ХIII со смежными ранее изданиями листами имеет многочисленные несбойки индексов и геологических контуров. По западной рамке несбойка индексов происходит в основном из-за несоответствия смежных серийных легенд - Алтайской и Западно-Саянской и частично в результате получения новых данных, уточняющих возраст некоторых толщ. По северной и восточной рамкам несоответствия индексов и контуров обусловлены новыми данными, полученными в последние годы при проведении детальных геолого-съемочных работ.

СТРАТИГРАФИЯ

Описываемый район располагается в области сопряжения структур Горного Алтая, Тувы и Монголии. В его строении четко выделяются две структурно-фациальные зоны, Саяно-Шапшальская и Тувинская, существенно различающиеся между собой полнотой и строением стратиграфического разреза. Саяно-Шапшальская зона сложена ниже- и верхнекембрийскими, ордовикскими, силурийскими, девонскими, нижнеюрскими и четвертичными отложениями. В Тувинской структурно-фациальной зоне более полно представлены девонские образования, совершенно отсутствуют верхнекембрийские и нижнеюрские отложения (рис. I).

КЕМБРИЙСКАЯ СИСТЕМА

Нижний отдел

Чингинская свита пользуется в районе сравнительно ограниченным развитием, слагая различные по размерам тектонические блоки и клинья. Как в данном районе, а также за его пределами, основание разреза чингинской свиты не вскрыто. По литолого-стратиграфическим признакам чингинская свита расчленена на две согласно залегающие подсвиты: нижнюю - эфузивную и верхнюю - преимущественно сланцевую.

Состав породы		Стадии		Характеристика пород	
Нижний	Средний	Нижний	Средний	Мощн., м	Индекс
Слюдяно-сланцевый	Алевролит-сланцевый	Ильинский	Бородинский	400 500	Илеморонская свита. Алевролиты, песчаники зелено-серые, редкие прослои гравелитов
Ильинский	Средний	Логиново	Лихулов	500 500	Лихедушмингольская свита. Алевролиты, песчаники, мергели, растительные остатки псиломитов
Средний	Верхний	Белозерский	Белозерский	120	Таштынская свита. Мергели, песчаники, известняки с остатками брахиопод, кораллов и др.
					Саглинская свита. Песчаники, алевролиты, кварцевые породы, рельзиты, тузы, лавобрекчи, конгломераты, гравелиты, растительные остатки псиломитов
				305 720	Кандейская свита. Диабазы, эндезитовые породы, тузы, песчаники, гравелиты, конгломераты, известняки, растительные остатки псиломитов
				450	Хондергейская свита. Песчаники, алевролиты
				370 1300	Верхняя подсвита. Песчаники, алевролиты, мергели, известняки с остатками брахиопод, трилобитов, пеленципод и др.
				650 1280	Нижняя подсвита. Песчаники, алевролиты, гравелиты, конгломераты
				210 520	Верхняя подсвита. Верхняя пачка. Песчаники, алевролиты красные с остатками лингул
				700 1300	Верхняя подсвита. Средняя пачка. Песчаники, алевролиты зелено-серые. Прослои гравелитов, конгломератов
				210 320	Верхняя подсвита. Нижняя пачка. Конгломераты, гравелиты, песчаники
				1300	Нижняя и средняя подсвиты пересеченные. Конгломераты, гравелиты, песчаники зелено-серые с прослоями лилово-серых
					Взаимоотношения тектонические
					Верхняя подсвита. Сланцы с прослоями зелено-каменных эфузивов, туфов, мраморизованных известняков
					Нижняя подсвита. Зеленокаменные эфузивы, диабазовые породы, спилиты, тузы, кварциты, линзы мраморизованных известняков

Рис. I. Стратиграфическая колонка отложений Тувинской структурно-фаунистической зоны

Нижняя подсвита (*Ст₁сп₁*) закартирована в двух участках в междуречье Тумзэ-Талайлыг и Эльды-Хем - Арзайты. В последнем схематический разрез подсвиты представляется в следующем виде: +/

1. Эффузивы зелено-серые, зеленые, реже серые зеленокаменные с подчиненными телами (20-30м) темно-зеленых лавобрекчий, прослоями серых кварцитов и небольшими линзами серых мраморизованных известняков..... Около 500 м
 2. Спилиты зелено-серые, серые массивные с мелкой вариолиевой текстурой..... 50 "
 3. Туфо-гравелиты серые..... 3 "
 4. Диабазовые порфириты темно-серые, темно-зеленые порфиритоиды, туфы и лавобрекчи..... Около 250 "
 5. Кварциты и микрокварциты светло-серые, темно-серые, чередующиеся с зелеными рассланцованными туфами Более 100 "
 6. Эффузивы зеленокаменные и туфы Около 250 "
 7. Диабазовые порфириты темно-зеленые, зелено-серые и их туфы. Прослои серых кварцитов, микрокварцитов и зелено-серых кремнистых сланцев..... Около 300 "
 8. Кварциты и микрокварциты желто-серые, темно-серые, серые. Прослои лилово-серых сланцев и линзы серых мраморизованных известняков..... Около 150 "
 9. Эффузивы серо-зеленые массивные и рассланцованные зеленокаменные Около 200 "
- Мощность нижней подсвиты в разрезе свыше 1800м.

В междуречье Тумзэ-Талайлыг нижняя подсвита частично вскрыта в ядре небольшой антиклинальной складки, где она представлена массивными, реже рассланцованными диабазовыми порфиритами, спилитами, зеленокаменными порфиритоидами и туфами. В подчиненном количестве содержатся прослои (до 4м) зелено-серых хлорито-кремнистых и темно-серых кремнистых сланцев. Мощность её здесь изменяется от 300 до 600м.

Ископаемых органических остатков в составе нижней подсвиты не обнаружено. Её принадлежность к нижнему кембрию определяется по стратиграфическому положению.

Верхняя подсвита (*Ст₁сп₂*) представлена в основном сланцами с подчиненным развитием рассланцованных зеленокаменных эффузивов, туфов, кварцитов и микрокварцитов. Встречаются линзы мраморизованных известняков. Среди сланцев выделяются две различные раз-

+/ Здесь и ниже разрез приводится снизу вверх.

новидности, из которых первая характеризует отложения подсвиты в междуречье Арзайты - Эльды-Хем, в верховьях рек Эльды-Хем Партай, по долинам рек Талайлыг-Тумзэ. Вторая разновидность сланцев распространена по левому борту долины р. Каргы и в юго-восточной части хребта Сайлыхем - Тайгазы. По преобладающему составу в обеих разновидностях выделяются кварцевые, кремнистые, хлоритовые, серицитовые и карбонатные сланцы. Однако в сланцах второй разновидности совместно с эпидотом, цоизитом, гематитом всегда содержатся амфибол, биотит и гранат, которые почти не встречаются в сланцах первой разновидности. Верхняя граница верхней подсвиты в районе не установлена, а её низы встречаются лишь в междуречьях Тумзэ-Чалайлык и Арзайты - Эльды-Хем.

В междуречье Тумзэ-Чалайлык разрез верхней подсвиты (южное крыло антиклинали) имеет следующий вид:

1. Сланцы серые кремнистые полосчатые	160 м
2. Известняки серые массивные с археоциатами плохой сохранности и округлыми включениями, напоминающими остатки водорослей	5 "
3. Кварциты серые полосчатые	70 "
4. Туфы серые "жмыховидные" литокластические смешанного состава	45 "
5. Сланцы зеленые хлорито-кварцевые	110 "
6. Эффузивы массивные зеленокаменные	85 "
7. Сланцы зелено-серые, серые хлорито-кремнистые...	270 "
8. Порфиритоиды зеленокаменные рассланцованные и эпидото-хлорито-кварцевые сланцы.....	5 "

Мощность подсвиты в разрезе достигает 750м.

В междуречье Арзайты-Эльды-Хем верхняя подсвита представлена зелено-серыми, зелеными и темно-серыми кремнистыми и хлорито-кварцевыми сланцами с редкими прослоями рассланцованных зеленокаменных порфиритоидов и туфов. Содержатся также линзы темно-серых мраморизованных известняков, серых кварцитов и микрокварцитов. Мощность её в этом месте не превышает 700м.

На южных склонах хребта Цаган-Шибэту и в юго-восточной части хребта Сайлыхем-Тайгазы отложения верхней подсвиты выделены впервые. Ранее они входили в состав "черносланцевой толщи" девона. Сложена она темно-серыми биотито-хлорито-карбонатно-кремнистыми, серыми хлорито-биотито-кварцевыми, светло-серыми биотито-гранато-кварцевыми, черными кварцево-слюдистыми сланцами с подчиненным содержанием кварцитов, рассланцованных зеленокаменных эффузивов, их туфов и мраморизованных известняков. Неполная мощность её здесь

колеблется от 1100 до 1300 м. Максимальная общая мощность отложений чингинской свиты в районе (междуречье Эльды-Хем-Арзайты) составляет 2500 м.

Описанные выше образования по литологическим признакам легко сопоставимы с достоверно нижнекембрийскими отложениями чингинской свиты, широко развитыми за пределами района по южному склону Западного Саяна (Александров, Владимирский и др., 1962).

Чингинская свита не расчлененная ($Сm_1$? sp)? выделена на юго-западе в районе горного массива Мунгун-Тайга и в северо-западной части в районе хребта Сайлыхем-Тайгасы. В обоих случаях описываемые образования слагают небольшие тектонические блоки, размещающиеся в основном среди метаморфизованных условно верхнекембрийских отложений. Нерасчлененные нижнекембрийские отложения представлены серо-зелеными биотито-хлорито-актинолито-эпидото-кварцевыми, темно-зелеными актинолито-циозито-биотито-кварцево-хлоритовыми, серыми, темно-серыми тонкополосчатыми эпидото-хлорито-кварцево-биотитовыми, зелено-серыми серицито-эпидото-кварцево-хлоритовыми и микроплойчатыми эпидото-хлорито-актинолитовыми сланцами, рассланцованными зеленокаменными эфузивами, их туфами, кварцитами, прослоями и линзами мраморизованных известняков. Преобладают сланцы. По литолого-петрографическому составу и внешнему облику породы более всего сопоставимы с отложениями верхней подсвиты чингинской свиты, хотя встречаются участки, где в разрезе преобладают эфузивные образования. Сложность тектонической обстановки, недостаточная обнаженность и весьма трудная доступность данных участков не позволили расчленить эти отложения, а также составить послойный их разрез.

Отсутствие в описанной толще органических остатков, а также наличие в ней сланцев, не характерных для стратотипического разреза чингинской свиты, обуславливают условность отнесения описанных отложений к чингинской свите нижнего кембрия.

Верхний отдел

К верхнему кембрию в районе отнесена флишоидная серия, сложенная сланцами, метаморфизованными песчаниками, алевролитами, реже гравелитами и конгломератами. По литолого-стратиграфическим признакам она подразделяется на три согласно залегающих свиты: сютхольскую, ишキンскую и аласугскую.

Сютхольская свита ($Сm_2$? sp) представлена регионально метаморфизованными серо-зелеными серицито-хлорито-кварце-

выми, эпидото-сертито-хлоритовыми, серицито-хлорито-альбито-кварцевыми сланцами с прослоями сильно метаморфизованных песчаников и алевролитов. Сютхольская свита устанавливается на юге района в окрестностях горного массива Мунгун-Тайга и на северо-западе – в междуречье Сайлы-Хема – Узун-Хема. Наиболее представительные разрезы свиты известны на юге района по правому борту долины р. Агадыр, где она образует Агадырскую антиклинальную структуру. Разрез свиты в этой структуре в обобщенном виде представляется следующим образом:

1. Сланцы плойчатые серо-зеленые эпидото-карбонатно-сертито-хлорито-альбито-кварцевые, зеленые – эпидото-сертито-кварцево-хлоритовые и серые – серицито-хлорито-кварцевые.....Не менее 1200 м

2. Сланцы серо-зеленые слабо гофрированные эпидото-сертито-карбонатно-хлорито-кварцевые, чередующиеся с зелено-серыми тонкополосчатыми карбонатно-альбито-эпидото-сертито-хлорито-кварцевымиОколо 600 "

3. Сланцы темно-зеленые плойчатые альбито-эпидото-сертито-хлорито-кварцевые, чередующиеся с серо-зелеными эпидото-сертито-альбито-кварцево-хлоритовыми, серыми, лилово-серыми серицито-хлорито-глинисто-кремнистыми.....Около 800 "

4. Сланцы серо-зеленые гофрированные эпидото-карбонатно-сертито-хлорито-кварцевые с прослоями песчаников и алевролитов400 "

Общая неполная мощность сютхольской свиты в районе междуречья Хара-Харагай – Агадыр определяется в 3000 м.

Для сланцев сютхольской свиты весьма характерна хорошо выраженная сланцеватость и плойчатость. На плоскостях сланцеватости наблюдается обильное развитие чешуек серицита. Резко выраженная сланцеватость подчеркивается начинаящейся сегрегацией кварц-полевошпатовых и темноцветных минералов в отдельные нечеткие полоски и тонкие слои. Исходная кластическая структура породы как правило утрачена и лишь иногда отдельные зерна сохраняют кластические очертания.

Ишキンская свита ($Сm_3$? sp) наблюдается в районе междуречья Агадыр-Мугур, в экзоконтактовой части Чингекатского гранитного массива и в правом борту долины верховьев р. Талайлык. Наиболее полно ишキンская свита представлена в левом борту долины р. Агадыр, где на значительном протяжении по простирианию наблюдаются нормальные стратиграфические взаимоотношения с подстилающими

и перекрывающими её отложениями.

Схематический разрез ишкянской свиты, при движении от русла р. Агадыр через одноименный перевал к урочищу Хара-Гоби, представляется в следующем виде:

I. Песчаники и алевролиты серо-зеленые метаморфизованные, слабо гофрированные (по внешнему виду напоминающие шифер) содержащие редкие маломощные (до 2-х м) прослои плойчатых серицита-хлорито-кварцевых сланцев..... 1000 м

2. Песчаники и алевролиты серо-зеленые с очень редкими маломощными (0,3-0,5м) прослоями "пудинговых" рассланцованных гравелитов и более частыми прослоями (до 1м) серицита-хлорито-кварцевых сланцев..... 600 "

3. Чередование серо-зеленых плойчатых кварцево-серицита-хлоритовых сланцев, песчаников и алевролитов. Вверху пачки преобладают массивные метаморфизованные песчаники, а в основании - сланцы 400 "

Общая мощность отложений ишкянской свиты в приведенном разрезе достигает 2000м.

Выше согласно залегает нижняя пачка (50м) аласугской свиты.

А л а с у г с к а я с в и т а известна лишь на правобережье р. Каргы, где она сложена песчаниками и алевролитами с подчиненными прослоями филлитов, гравелитов и "пудинговых" конгломератов. Последние обычно рассланованы и сложены редкой сплюснутой галькой размером от 1 до 20мм. Кластические породы аласугской свиты изобилуют обломками нижне- и верхнекембрийских отложений, реже встречаются альбитофиры, фельзиты, которые вообще не характерны для кембрийских отложений района. Основная цементирующая масса представлена хлоритом, серицитом, кремнистым материалом и в значительно меньшем количестве - эпидотом, карбонатом, рудным (гематитом).

В основании разреза аласугской свиты преобладает обычно серо-зеленая, зеленая и голубовато-зеленая окраска пород, а вверху - серо-лиловая и лиловая. Эти признаки и обусловили возможность разделения аласугской свиты на две подсвиты: нижнюю - зеленоцветную и верхнюю - пестроцветную.

Нижняя подсвита (Cm_3al_1) в бассейне р. Мугур имеет следующую последовательность

I. Гравелиты желто-зеленые рассланцованые и зелено-серые мелкогалечные конгломераты с прослоями зелено-серых массивных песчаников и лиловых рассланцованых алевролитов 50 м

2. Песчаники зелено-серые параллельнослоистые с подчиненными прослоями (0,2-0,4м) зеленых слабогофрированных кварц-серицита-хлоритовых сланцев, рассланцованых зелено-серых гравелитов и лиловых алевролитов.....

335 м

3. Чередование зелено-серых тонкополосчатых песчаников и гравелитов, содержащих подчиненные маломощные (0,2-0,3м) прослои зеленых, реже лиловых рассланцованых алевролитов. Преобладают гравелиты

155 "

4. Песчаники зелено-серые мелко- и среднезернистые, тонкополосчатые с подчиненными прослоями (0,2-0,25м) зеленых рассланцованых алевролитов.....

120 "

5. Чередование зелено-серых тонкополосчатых мелко- и среднезернистых песчаников, алевролитов и гравелитов с редкими прослоями (до 0,3м) зеленых филлитов.....Около 800 "

6. Песчаники зелено-серые массивные и неяснослоистые с редкими прослоями (0,2-0,4м) рассланцованых гравелитов, зеленых алевролитов и филлитов

220 "

7. Песчаники зелено-серые и серо-зеленые рассланцованые, реже массивные и неяснослоистые с редкими маломощными (0,2-0,4м) прослоями гравелитов, зеленых и сизых с лиловатым оттенком рассланцованых алевролитов...

280 "

8. Песчаники зеленые и серо-зеленые переслаивающиеся с голубовато-зелеными, зелеными филлитами. Редкие прослои (0,2-0,4м) серо-лиловых песчаников и лиловых филлитов

140 "

Общая мощность нижней подсвиты в разрезе 2100м.

Выше с постепенным переходом залегает пестроцветная пачка (100м) верхней подсвиты.

Верхняя подсвита (Cm_3al_2) хорошо обнажается в правом борту долины р. Мугур (левый борт сухого безымянного лога), где при движении с севера наблюдается следующий её разрез:

I. Чередование лилово-серых, серых и зелено-серых средне- и мелкозернистых полимиктовых песчаников, содержащих подчиненные прослои (до 1м) голубовато-зеленых, вишнево-красных филлитов и рассланцованых алевролитов

100 м

2. Алевролиты зеленые и мелкозернистые песчаники

30 "

3. Песчаники серо-зеленые массивные полосчатые в чередовании с серыми алевролитами. Подчиненные прослои серо-лиловых песчаников

140 "

4. Песчаники серо-зеленые, серые, серо-лиловые с подчиненными прослойями зеленых рассланцованных алевролитов..... 330 м

5. Песчаники серо-лиловые полосчатые, зелено-серые параллельнослойистые переслаиваются с зелеными рассланцованными алевролитами и филлитами..... 850 "

Общая мощность подсвиты в приведенном разрезе 1450м.

Суммарная мощность всей аласугской свиты в районе 3550м.

В настоящее время большинство геологов сютхольскую, ишкансскую и аласугскую свиты, особенно широко развитые в Западном Саяне, относят к верхнему кембрию. На Алтае сходные флишиоидные отложения выделяются в горноалтайскую свиту, возраст которой условно датируется верхний кембрий-нижний ордовик.

Посленижнекембрийский возраст флишиоидных отложений, развитых в районе, определяется тем, что в их составе особенно в аласугской свите в значительном количестве содержатся продукты размыва нижнекембрийских отложений. Данные абсолютного возраста лаборатории ВСЕГЕИ (1966г) мономинеральных мусковито-серicitовых проб определенных аргоновым методом, следующие: 1) для верхней половины разреза сютхольской свиты - 420млн. лет; 2) для основания ишканской свиты - 347млн. лет; 3) для низов аласугской свиты - 336млн. лет. Эти цифры характеризуют, по-видимому, возраст метаморфизма отдельных горизонтов флишиоидной серии.

ОРДОВИКСКАЯ СИСТЕМА

Наибольшим распространением ордовикские отложения (шемушдагская свита) пользуются в пределах Тувинской структурно-фацальной зоны, где они соприкасаются по дизъюнктивному нарушению с нижнекембрийскими образованиями чингинской свиты. На правобережье р. Карги (Саяно-Шашальская зона) ордовикские отложения (мугураксинская и каргинская свиты) несогласно залегают на аласугской свите верхнекембрийского возраста.

Шемушдагская свита в исследованном районе расчленена на нижнюю и среднюю подсвиты объединенные и верхнюю подсвиту. Остатки ископаемой фауны обнаружены только в составе верхней части разреза верхней подсвиты (см.рис. I).

Нижняя и средняя подсвиты объединенные (Σt_{1+2}) выделены в междуречье Талайлыг-Барлык на стыке Саяно-Шашальской и Тувинской структурно-фацальных зон. Объединенные отложения нижней и сред-

ней подсвиты представлены в основном зелено-серыми мелко- и среднегалечными конгломератами и песчаниками. В виде подчиненных прослоев встречаются серые, лилово-серые, лиловые и пестрые разновидности. Преобладают плагиоклазово-кварцевые (олигомиктовые) породы, реже встречаются полимиктовые разновидности. Истинная цементирующая масса (соприкосновения, поровая) сложена хлоритом, серицитом, эпидотом и рудным (гематитом). Эти отложения испытали интенсивную дислоцированность и рассланцовку, что заметно отличает их по облику от пород этой свиты стратотипических разрезов Тувы. При движении от тектонического контакта с верхнекембрийскими отложениями к устью р. Усту-Пахаш в разрезе подсвита устанавливается следующая последовательность пачек:

I. Конгломераты и гравелиты серо-зеленые рассланцованные с подчиненными прослойями зелено-серых массивных, реже тонкополосчатых песчаников. Среди конгломератов встречаются пестроцветные разновидности, содержащие различно окрашенную гальку 250 м

2. Песчаники полосчатые зелено-серые с подчиненными прослойями мелкогалечных конгломератов. Изредка встречаются прослой (до 1м) лиловых мелкозернистых полимиктовых песчаников с редкой "плавающей" галькой зеленых сланцев.. 350 "

3. Конгломераты зелено-серые мелкогалечные, реже гравелиты, чередующиеся с такими же по цвету песчаниками.... 400 "

4. Песчаники зеленые и серо-лиловые с прослойми того же цвета мелкогалечных конгломератов..... 90 "

5. Конгломераты зеленые мелкогалечные кварцевые с очень редкими маломощными (до 0,2м) прослойми серо-зеленых мелкозернистых песчаников..... 10 "

6. Конгломераты зелено-серые мелкогалечные кварцевые, чередующиеся с зелено-серыми грубозернистыми массивными, лиловыми параллельно- и косослоистыми среднезернистыми олигомиктовыми песчаниками и зелено-серыми гравелитами. Преобладают конгломераты и гравелиты..... Около 200 "

Общая мощность подсвиты в приведенном разрезе составляет около 1300м.

Выше залегает нижняя конгломератовая пачка верхней подсвиты шемушдагской свиты.

Возраст описываемых отложений определяется в основном стратиграфическим и структурным положением, позволяющим их сопоставлять со стратотипическим разрезом Западной Тувы (Владимирская, 1959-1960гг.).

Верхняя подсвита шемушдагской свиты по литолого-стратиграфическим признакам в районе подразделяется на три пачки: нижнюю - конгломератовую, среднюю - зеленоцветную, существенно песчаниковую и верхнюю - пестроцветную алевролитово-песчаниковую. Все пачки связаны между собой постепенными переходами.

Нижняя пачка (*Ojm₃*) наиболее полно представлена в разрезе по долине р. Талайлыг.

1. Конгломераты серо-зелёные от мелко- до валунногалечных, трансгрессивно залегающие на зеленокаменных эфузивах чингинской свиты. В конгломератах преобладает галька угловато-гладженной формы (от 0,02 до 0,6м) жильного кварца и подстилающих нижнекембрийских пород..... 200 м

2. Конгломераты лиловые, лилово-серые и зелено-серые крупно- и среднегалечные полимиктовые. В гальке встречаются обломки верхнекембрийских флишоидных пород..... 150 "

3. Чередование зелёных и лилово-серых мелкогалечных полимиктовых конгломератов, гравелитов и песчаников с маломощными прослоями зелёных и лиловых параллельносложистых алевролитов..... 100 "

Мощность пачки в приведенном разрезе 450м.

Несколько иной облик нижняя пачка имеет в бассейне р. Усту-Пахаш и в левом борту долины р. Талайлыг, где она залегает на отложениях нижней и средней подсвит. Здесь также преобладают зелёные и зелено-серые массивные полимиктовые конгломераты (от мелко до валунногалечных), но зато совершенно отсутствуют в её составе алевролиты, красноцветные песчаники и пестроцветные конгломераты. Мощность нижней пачки в бассейне р. Усту-Пахаш 210м. По простиранию на запад-юго-запад её мощность постепенно возрастает и в левом борту долины р. Талайлыг она достигает 350м. В составе нижней пачки устанавливается повсеместная закономерность уменьшения размера галек от основания к верхам разреза.

Средняя пачка (*Ojm₂*) обнажена лучше других мест в нижнем течении р. Таректе:

1. Песчаники серые, зелено-серые, буро-серые и лилово-серые полимиктовые. В основании преобладают средние и мелкозернистые, а вверху - крупнозернистые и гравелитистые с подчиненными прослоями пластовых брекчий и "дырчатых" песчаников. Последние названы по наличию на выветрелой поверхности выщелоченных округлых отверстий размером 1-3см в поперечнике 430 м

2. Песчаники зелено-серые, реже серые со слабым буро-ватым оттенком, наравномернозернистые полимиктовые. Крупнозернистые разности обычно содержат "плавающую" кварцевую гальку размером 1-2см 370 м

3. Пересяивание серо-зелёных мелкозернистых полимиктовых песчаников и зелёных алевролитов. В середине пачки прослой (6м) желтовато-серых олигомиктовых среднезернистых песчаников. Вверху преобладают тонкополосчатые песчаники и алевролиты 100 "

Мощность пачки в разрезе 900м. По простиранию на юго-восток мощность средней пачки увеличивается до 1300м.

В бассейне р. Усту-Пахаш и в бортах долин левых притоков р. Талайлык в составе средней пачки увеличивается содержание грубоклассических пород, а её мощность сокращается до 700м.

Верхняя пачка (*Ojm₂*) благодаря пастной окраске пород является хорошим маркирующим горизонтом, по кровле которого условно проводится граница с нижнесилурийскими отложениями. Наиболее полный разрез верхней пачки вскрыт по долине р. Таректе:

1. Песчаники и алевролиты зелёные, зелено-серые, лиловые полимиктовые. Преобладает зелёная окраска пород..... 80 м

2. Песчаники серо-лиловые, коричневато-лиловые, лиловые крупно- и среднезернистые, реже мелкозернистые полимиктовые в пересяивании с лиловыми алевролитами. В песчаниках наблюдается параллельная и косая слоистость..... 240 "

Мощность пачки в этом разрезе 320м.

На водоразделе рек Улуг-Кожей - Барлык при общем сходстве разреза верхней пачки с вышеописанным, в её средней части среди лиловых песчаников и рассланцованных алевролитов, содержащих редкие прослои (до 2м) серо-зелёных слюдистых мелкозернистых песчаников и алевролитов, встречены остатки лингул *Lingula cf. bechleri* Salter.

В бассейне р. Усту-Пахаш верхняя пачка отличается более ярко-красной окраской пород и сокращенной мощностью (210м). Здесь она сложена сургучно-красными и вишневыми алевролитами, мелко- и среднезернистыми полимиктовыми песчаниками. В основании и вверху содержатся подчиненные прослои (1-2м) зелёных и голубовато-зелёных алевролитов.

Суммарная мощность верхней подсвиты шемушдагской свиты в разрезе по р. Таректе - 1670м, в бассейне р. Усту-Пахаша - 1120м и в бортах долин левых притоков р. Талайлыг - около 1400м.

Возраст верхней подсвиты шамушдагской свиты в районе определяется прежде всего её стратиграфическим и структурным положением, а также находками остатков лингул (*Lingula bechei Salter*), которые по заключению Э.Н. Янова (ВСЕГЕИ) характерны для верхов стратотипических разрезов шамушдагской свиты Западной Тувы.

Нижний и средний отделы

Мугураксинская свита (O_{1-2}^{mg}) распространена небольшими тектоническими блоками в долинах рек Мугур и Кары. Сравнительное большое поле её откартировано на правобережье р.Кары ниже устья р. Мугур. Залегает она несогласно на различных горизонтах аласугской свиты.

Наиболее представительный разрез мугураксинской свиты вскрыт в районе высоты 2360,6м, где снизу обнажаются:

1. Конгломераты базальные лилово-бурые, лиловые, реже зеленые и пестроцветные полимиктовые (от мелко- до валунногалечных). Содержатся линзующиеся прослои гравелитов и грубозернистых песчаников.....

110 м

2. Туфиты алевропелитовые желтоватые и серые слоистые, содержащие проблематичные включения похожие по форме на наутилоиды или гиолиты.....

30 "

3. Конгломераты кварцевые серые и светло-серые мелко- и среднегалечные

20 "

4. Туфы кислого состава серые, лилово-серые полосчатые лито- и кристаллокластические

20 "

5. Порфиры диабазовые и андезитовые лилово-серые, лиловые, серые и зелено-серые хлоритизированные, окварцованные и карбонатизированные.....

50 "

6. Чередование серых и зелено-серых миндалекаменных плагиопорфиритов и диабазовых порфиритов

80 "

7. Чередование темно-лиловых, зелено-серых, серых слоистых алевропсаммитовых, псаммитовых кристаллокластических туфов, фельзитов и алевропелитовых туфлитов.....

50 "

8. Конгломераты (от мелко- до среднегалечных) и гравелиты лиловые, зелено-серые, пестрые полимиктовые с единичными покровами и прослоями (до 10м) желтоватых фельзит-порфиритов, серых слоистых туфов, красно-бурых туфопесчаников и туфлитов

100 "

9. Конгломераты красно-бурые, лиловые, реже зелено-серые мелко- и среднегалечные полимиктовые с линзующими-

ся прослоями красно-бурых грубозернистых песчаников...	200 м
10. Чередование хлоритизированных и карбонатизированных лилово-серых андезитовых (авгитовых) и зелено-серых диабазовых порфиритов.....	120 "
11. Чередование лилово-серых миндалекаменных андезитовых и серых массивных лабрадоровых порфиритов.....	50 "
12. Порфиры серые и темно-серые андезитовые.....	250 "
13. Фельзиты серые, зелено-серые, розоватые и розовато-красные флюидальные, содержащие тела фельзитовых брекчий.....	120 "
Перерыв в наблюдении.....	Около 250 "
14. Лавобрекчии светло-розовых и светло-серых фельзитов	80 "
15. Фельзиты мясисто-красные.....	60 "
16. Фельзиты, фельзит-порфиры и кварцевые порфиры серые и светло-серые карбонатизированные и окварцованные	Около 200 "
17. Лавобрекчия фельзитов и фельзит-порфиров красно-бурого цвета. Помимо угловатых обломков (размером 5-7 см) встречаются и окатанные гальки размером до 10 см	30 "
18. Чередование лиловых туфобрекчий, серо-зеленых лавобрекчий, кварцевых порфиров и фельзитов, зеленых туфолов и лиловых фельзит-порфиров.....	Около 200 "
19. Фельзит-порфиры зеленые чередующиеся с серо-зелеными литокластическими туфами.....	80 "
20. Фельзит-порфиры красные полосчатые, флюидальные	Около 50 "
Мощность мугураксинской свиты в разрезе 2100м.	
В левом борту долины в верховьях р. Мугур в основании мугураксинской свиты залегают зеленые мелко- и среднегалечные полимиктовые конгломераты (2м), которые выше сменяются зелено-серыми, темно-зелеными лито- и кристаллокластическими туфами смешанного состава, лилово-серыми хлоритизированными окварцованными и карбонатизированными порфиритами, лиловыми и зелено-серыми миндалекаменными плагиопорфиритами, зелеными, реже лиловыми массивными хлоритизированными и карбонатизированными диабазовыми и андезитовыми порфиритами. Общая мощность свиты в этом месте не превышает 85м.	
Первоначально описываемые отложения, развитые по правому борту р. Кары, сопоставлялись нами с нижне-среднедевонскими образованиями Кызылбулакской серии, а часть из них, сложенная кислыми вулканогенными образованиями, относились условно к нерасчлененным нижнекембрийским отложениям.	

Нижне—среднеордовикский возраст мугураксинской свиты определяется исходя из её несогласного залегания на верхнекембрийских отложениях аласугской свиты.

Каргинская свита (O_2-3^{fa}) обнажается в правом берегу долины р. Карги, в 10 км ниже пос. Мугур-Аксы, где по дислокационному контакту соприкасается с вулканогенными образованиями мугураксинской свиты. Разрез её, по данным Е.В. Владимирской и А.В. Кривободровой, представляется в следующем виде:

1. Конгломераты и гравелиты красные, лиловые и красно-бурые полимиктовые (от мелко- до валунногалечных).....	50м
2. Песчаники, гравелиты и алевролиты лилово-серые, красно-бурые, реже зелено-серые полимиктовые неравномернозернистые.....	80 "
3. Песчаники и алевролиты серые, голубовато-серые мелкозернистые полимиктовые с подчиненными прослоями гравелитов.....	50 "
4. Алевролиты зелено-серые. Вверху прослой (2м) серых мелкозернистых песчаников.....	25 "
5. Песчаники лилово-серые, лилово-красные мелкозернистые полимиктовые, подчиненные прослои алевролитов и гравелитов	30 "
6. Алевролиты зелено-серые, зеленые и голубовато-серые, реже лилово-серые, неравномернозернистые полимиктовые песчаники, очень редко гравелиты. Остатки шланок, брахиопод и пелеципод	50 "
7. Песчаники и алевролиты серо-зеленые мелкозернистые полимиктовые с линзами органогенных известняков. Многочисленные остатки брахиопод и стеблей морских лилий.....	40 "
8. Алевролиты серо-зеленые и зелено-серые переслаивающиеся с серыми органогенными известняками. Многочисленные остатки шланок и стеблей морских лилий	60 "
9. Песчаники зелено-серые мелкозернистые известковистые, редкие прослои известняков и алевролитов. Многочисленные остатки брахиопод, стеблей лилий и шланок.....	60 "
10. Песчаники зелено-серые известковистые и мелкозернистые, редкие прослои ракушняков с остатками брахиопод	85 "
II. Известняки, мергели серые и зелено-серые с подчиненными прослоями зелено-серых известковистых мелкозернистых песчаников и алевролитов. Многочисленные остатки шланок — родов: Homotrypella, Monticulipora, Hallipora, Monotrypula, Nicholsonella, Eridotrypula, Favositella,	

Homotrypula, табулят: Proheliolites ex gr.koskokensis Kov., Karagemia aff. altaica Dzuibo, брахиопод: Orthidae, Strophomena sp., Camarotoechia sp., стеблей морских лилий: Pentagonocyclicus cf.vormsiensis Yelt., Tetraragonotetragonalis quadrihamatus Yelt.

Мощность 60 м

I2. Известняки темно-серые и серые массивные с редкими прослоями зелено-серых мергелей. В основании слой (20м) коричневато-серых доломитизированных известняков. Многочисленные остатки шланок, брахиопод: Hesperorthis sp., Strophomena sp., Llyptorthis sp., Sowerbyella sp., Leptaena antiquata Opik., стеблей и членников морских лилий, трилобитов: Encrinuroides tuvaensis Z. Max., sp.nov., Stenoparella cf. bowmanni Salter, S. aff. avks Holm., Illaenus (Stenopareia ?) tuvaensis Z. Max., sp.nov., I. aff. angustifrons Holm., Calyptulax cf. ottawensis Okulitch. и головоногих моллюсков Spyroceras cf. microbineatum Foerste, Dowlingoceras /?/ sp., Fasmanceras zechanense Teichert et Clenister. 220 "

Общая мощность каргинской свиты в приведенном разрезе составляет 810м.

Её возраст устанавливается по многочисленным находкам остатков фауны. Из заключения Е.А. Модзалевской (ВСЕГЕИ), определявшей шланки, следует, что вмещающие отложения имеют средне—верхнеордовикский возраст. В.Д. Чехович (ВСЕГЕИ) отмечает, что представители рода Proheliolites и Karagemia известны в верхнем ордовике. О.Н. Андреева (ВСЕГЕИ) по брахиоподам вмещающие слои относит к среднему—верхнему ордовику. Пачку I2 она склонна относить к верхнему ордовику. Р.С. Елтышева (ЛГУ) по видовому комплексу форм стеблей морских лилий вмещающие слои относит к верхней части среднего-низам верхнего ордовика. По заключению З.А. Максимовой (ВСЕГЕИ) видовые формы трилобитов позволяют вмещающие слои отнести к верхнему ордовику. К такому же выводу приходит З.Г. Балашов (ЛГУ) определявший остатки наутилоидей.

Исходя из приведенных выше заключений, Е.В. Владимирская и А.В. Кривободрова считают, что формирование каргинской свиты в районе началось, по-видимому, во второй половине среднего ордовика (мангазейский век) и продолжалось всю позднеордовиковскую эпоху.

СИЛУРИЙСКАЯ СИСТЕМА

Силурийские отложения наиболее широко развиты в Тувинской зоне и весьма ограниченно в Саяно-Шапшальской. По литолого-стратиграфическим признакам и наличию ископаемой фауны силурийские отложения подразделяются на две свиты: чаргакскую и хондергейскую.

Нижний - верхний отде́лы

Чаргакская свита подразделяется на две подсвиты: нижнюю и верхнюю.

Нижняя подсвита (S₁₋₂č) известна лишь в Тувинской структурно-фациальной зоне, где устанавливаются два различных её фациальных типа разреза. В наиболее распространённом типе преобладают зелёные, зелено-серые, серые песчаники и алевролиты с очень редкими маломощными прослойками гравелитов. Песчаники и алевролиты содержат в основном остатки лингул иландоверийского яруса, реже брахиоподы и гастраподы плохой сохранности. В другом типе, в междуречье Теректы - Улуг-Кожай, широким развитием пользуются грубообломочные терригенные породы, а из окаменелостей встречаются лишь лингулы. По простирианию один тип разреза фациально замещается другим. В обоих случаях нижняя подсвита согласно залегает на верхней красноцветной пачке верхней подсвиты шемущдагской свиты.

Наиболее полно первый тип разреза нижней подсвиты представлен в бассейне р. Усту-Пахаш. Здесь обнажаются:

- 1. Алевролиты зелёные и зелено-серые, содержащие редкие остатки криноидей и брахиопод плохой сохранности..... 410 м
- 2. Переслаивание лиловых, лилово-серых, зелёных, зелено-серых алевролитов и мелковернистых песчаников..... 465 "
- 3. Алевролиты, полимиктовые песчаники (от мелко- до крупновернистых) зелёные, зелено-серые, голубовато-зелёные и серые с подчиненными прослойками лиловых и лилово-серых. В основании пачки встречаются остатки брахиопод (*Dalmanella* sp.)..... 330 "
- 4. Песчаники и алевролиты лиловые с подчиненными прослойками голубовато-зелёных и зелёных параллельнослоистых алевролитов и крупновернистых песчаников..... 75 "

Общая мощность нижней подсвиты в приведённом разрезе 1280м.

В южном направлении в составе происходит постепенное замещение алевролитов песчаниками и наблюдается сокращение общей мощности. Так, в междуречье Улуг-Кожай - Барлык в разрезе преобладают

уже песчаники над алевролитами, появляются прослои гравелитов, а мощность сокращается до 1030м. В песчаниках и алевролитах наблюдаются знаки ряби, волноприбойные знаки, а также остатки брахиопод / *Lingula attenuata* Sow., *Lingula carrens* Barr., *Dalmanella* sp. /.

В левом борту долин истоков р. Арзайты в разрезе нижней подсвиты нижняя пачка (400м) представлена зелёными и зелено-серыми мелко- и средневернистыми полимиктовыми, реже олигомиктовыми песчаниками, чередующимися с такими же по цвету алевролитами и сланцами. Выше залегает пестроцветная пачка (250м), сложенная серыми и зелено-серыми мелко- и средневернистыми песчаниками, чередующимися с серо-зелёными и лиловыми алевролитами и мелковернистыми песчаниками. В песчаниках и алевролитах встречаются остатки *Lingula striata* Sow. и *Modiolopsis*.

Второй тип разреза нижней подсвиты детально изучен по руслу р. Пиче-Теректы, где в северо-западном крыле антиклинали устанавливается следующая последовательность пород:

- | | |
|--|-------|
| 1. Переслаивание серо-зелёных реже лиловых и буроватых песчаников, гравелитов и мелкогалечных олигомиктовых конгломератов. Встречаются маломощные прослойки алевролитов и сланцев. Породы с косой, реже с параллельной слоистостью | 280 м |
| 2. Чередование светло-серых, серо-зелёных мелкого галечных кварцевых конгломератов и гравелитов с подчиненными крупновернистыми прослойками олигомиктовых песчаников | 220 " |
| 3. Песчаники буровато-серые, серые, розовато-серые и зелено-серые мелковернистые полимиктовые с прослойками буровато-серых гравелитов, мелкогалечных конгломератов и алевролитов | 200 " |
| 4. Переслаивание лилово-серых, серых, буровато-серых мелкогалечных конгломератов, желтоватых гравелитов и олигомиктовых песчаников | 130 " |
| 5. Переслаивание серо-зелёных, зелёных и желтовато-зелёных мелковернистых песчаников и алевролитов. Содержатся редкие прослойки серо-зелёных гравелитов. В серо-зелёных песчаниках остатки: <i>Lingula striata</i> Sow., <i>Lingula carrens</i> Barr., <i>Lingula attenuata</i> Sow. | 260 " |
| 6. Чередование серо-зелёных и лиловых мелковернистых полимиктовых песчаников и алевролитов | 40 " |
- Общая мощность нижней подсвиты здесь 1130м.

К востоку во втором типа разрезе нижней подсвиты конгломераты и гравелиты замещаются песчаниками, а в верхах появляется пачка (от 20 до 50м) красноцветных песчаников.

Встреченные в разрезе остатки лингул и палеципод на характеризуют возраст подсвиты, эти формы являются проходящими через весь ордовик до нижнего девона. Её стратиграфическое положение определяется залеганием на верхней подсвите шамшадской свиты.

Верхняя подсвита (S₁₋₂ c₁₋₂) в пределах Тувинской структурно-фациальной зоны залегает согласно на нижней подсвите, а в Саяно-Шапшальской – трансгрессивно на верхнекембрийских и ордовикских отложениях.

Наиболее полно разрез верхней подсвиты в Тувинской структурно-фациальной зоне вскрыт в бассейне р. Усту-Пахаш, где наблюдается следующая последовательность:

1. Алевролиты зеленые параллельнослоистые известковистые с прослоями лиловых, реже серых алевролитов и мелкозернистых известковистых песчаников. Встречаются редкие прослои (до 1м) светло-серых известняков. Содержатся обильные остатки брахиопод: *Tuvaella gigantea* Tchern., *T. sp.*, *Dalmanella* sp.

70 м

2. Песчаники серые мелкозернистые с прослоями зеленых и серых алевролитов

100 "

3. Алевролиты светло-серые и зелено-серые с известковистыми стяжениями, иногда с пустотами выщелачивания. Встречаются остатки брахиопод

200 "

Мощность подсвиты в разрезе 370м.

При прослеживании этих отложений к югу и юго-западу резко возрастает мощность разреза за счет увеличения числа прослоев известняков и мергелей. Наиболее представительный разрез вскрыт в правом борту долины р. Улуг-Хожей:

1. Чередование серо-зеленых параллельнослоистых известковистых алевролитов и мелкозернистых слюдистых песчаников. Преобладают алевролиты, присутствуют подчиненные прослои (до 0,5м) серых известняков. Последние с алевролитами содержат обильные остатки брахиопод: *Tuvaella rackovskii* Tchern., *Stropheodonta filosa* var. *elegestica* Tchern., *Stegorhynchella angaciensis* Tchern., *Leptaena rhomboidalis* Wilck., *Eospirifer tuvaensis* Tchern., *Dalmanella* sp., реже трилобитов: *Dalmaniturus parvus* Z. Max. и палеципиды: *Pteria* sp., *Amboonychia* sp.

315 м

2. Чередование серо-зеленых известковистых мелкозернистых песчаников, алевролитов и мергелей. В основании и вверху преобладают песчаники, а в середине – алевролиты. Встречаются редкие маломощные (до 0,5м) прослои серых известняков. Содержатся обильные остатки брахиопод *Dalmanella* sp. и др.

185 м

3. Переслаивание серо-зеленых известковистых мелкозернистых песчаников, алевролитов, мергелей и серых известняков

166 "

4. Песчаники серо-зеленые мелкозернистые известковистые, полимиктовые с подчиненными прослоями светло-серых крупнозернистых олигомиктовых песчаников, алевролитов, мергелей и серых известняков. Последние содержат многочисленные остатки брахиопод: *Tuvaella rackovskii* Tchern., *Leptaena rhomboidalis* Wilck., *Stegorhynchella angaciensis* Tchern., *Dalmanella* sp., *Camarotoechia* sp., реже трилобитов и головоногих моллюсков

55 "

5. Переслаивание серых известняков, серо-зеленых известковистых алевролитов, мергелей и мелкозернистых песчаников. Брахиоподы: *Tuvaella rackovskii* Tchern., *Leptaena rhomboidalis* Wilck., *Stropheodonta filosa* var. *elegestica* Tchern., *Camarotoechia* ex gr. *mongolica* Tchern., *Eospirifer tuvaensis* Tchern., *Dalmanella* sp. Значительно реже в этом слое встречаются трилобиты *Dalmaniturus parvus* Z. Max. и палеципиды: *Pteria* sp., *Amboonychia* sp.

160 "

Общая мощность верхней подсвиты чергакской свиты в приведенном разрезе – 880м. Более высокие горизонты описываемых отложений, содержащие руководящие формы брахиопод: *Tannuspirifer* sp. и *Tuvaella gigantea* Tchern. встречаются в ядре синклинальной структуры приуроченной к верховым р. Шин и нижнего течения р. Эльды-Хем. В данном месте разрез верхней подсвиты наращивается пачкой серых известняков, переслаивающихся с зелено-серыми известковистыми алевролитами, песчаниками, мергелями и глинистыми сланцами. Встречаются редкие прослои лиловых мелкозернистых полимиктовых песчаников

450 "

Суммарная мощность отложений верхней подсвиты в бассейне верховьев р. Шин составляет около 1300м.

В бассейне р. Пиче-Таректы к верхней подсвите отнесена зеленоцветная существенно песчаниковая толща, согласно залегающая на

пестроцветной пачке нижней подсвиты чергакской свиты. Неполная мощность отложений верхней подсвиты здесь составляет 465м.

На юге района, в пределах Саяно-Шалшальской структурно-фациальной зоны, в разрезе верхней подсвиты чергакской свиты заметную роль играют грубообломочные породы - конгломераты и гравелиты, алевролиты содержатся в подчиненном количестве и почти совсем отсутствуют известняки. Из остатков ископаемой фауны здесь господствуют формы, характерные для верхней части разреза верхней подсвиты, в Тувинской структурно-фациальной зоне. В бассейне р. Мугур, подсвита трансгрессивно залегает на верхнекембрийских, нижне-среднеордовикских отложениях и представлена:

1. Конгломераты мелкогалечные и неравномернозернистые полимиктовые песчаники красно-бурового цвета 20 м

2. Чаредование зелено-серых неравномернозернистых параллельно- и косослоистых полимиктовых, серых, светло-серых и желтоватых среднезернистых олигомиктовых песчаников. На плоскостях напластования наблюдаются трещины усыхания. Содержатся остатки брахиопод: *Tuvaella gigantea* Tchern. и членники стеблей криноидей *Cyclocyclicus discoideus tuvaensis* Yelt. 34 "

3. Пересяживание серых, светло-серых олигомиктовых, зелено-серых средне- и крупнозернистых полимиктовых песчаников и серо-зеленых алевролитов. Встречаются редкие маломощные (до 0,5м) прослои мелкогалечных конгломератов. Содержатся многочисленные остатки брахиопод: *Leptaena rhomboidalis* Wilck., *Stegorhynchella angaciensis* Tchern., *Tuvaella* sp., *Stropheodonta* sp., *Dalmanella* sp., и в меньшем количестве - криноидей: *Cyclocyclicus discoideus tuvaensis* Yelt. 67 "

4. Песчаники серые, темно- и светло-серые, мелко-крупно и грубозернистые полимиктовые, олигомиктовые и кварцевые параллельно- и косослоистые с подчиненными прослоями серо-зеленых алевролитов. Содержатся многочисленные остатки брахиопод: *Tannuspirifer pedaschenkoi* Tchern., *Stegorhynchella angaciensis* Tchern., *Camarotoechia ubsuensis* Yelt., и криноидей *Cyclocyclicus discoideus tuvaensis* Yelt. 77 "

5. Песчаники светло-серые, серые, зелено-серые, зеленые крупно- и среднезернистые олигомиктовые и полимиктовые с подчиненными прослоями серо-зеленых алевролитов. В верхах пачки встречаются также редкие прослои (до 0,5м)

лиловых мелкогалечных конгломератов. Остатки брахиопод:

Leptaena rhomboidalis Wilck., *Tannuspirifer peda-schenkoi* Tchern., *Stegorhynchella angaciensis* Tchern., *Dalmanella* sp. и крупных пелэципод *Pteria* sp. 134 м

6. Песчаники, зелено-серые, зеленые крупно- и среднезернистые массивные полимиктовые с прослойями буровато- и желтовато-серых неравномернозернистых олигомиктовых песчаников 108 "

Мощность разреза верхней подсвиты в бассейне р. Мугур 440м.

В правом борту долины р. Карги (в 9км ниже пос. Мугур-Аксы) верхняя подсвита с азимутальным и угловым несогласием перекрывает средне-верхнеордовикские отложения каргинской свиты. Мощность её здесь достигает 600м. Верхние горизонты подсвиты вскрываются на левобережье р. Карги в 3км ниже пос. Мугур-Аксы. Превалирующее значение в разрезе имеют слои алевролитов, встречаются единичные маломощные прослои темно-зеленых аргиллитов. В обломочном материале песчаников, гравелитов и конгломератов преобладают фельзиты, фельзит-порфиры и их туфы, реже встречаются кварциты, различного состава сланцы и зеленокаменные эфузивы. Из ископаемой фауны по долине р. Карги встречаются многочисленные остатки брахиопод: *Tuvaella gigantea* Tchern., *Leptaena rhomboidalis* Wilck., *Tannuspirifer pedaschenkoi* Tchern., *Dalmanella* sp., *Stegorhynchella angaciensis* Tchern., *Camarotoechia ubsuensis* Yelt., криноидей *Cyclocyclicus discoideus tuvaensis* Yelt., и мшанок: *Heterotrypa incelebrata* Modz. и *Stellipora* sp., а также трилобиты, головоногие моллюски и гастropоды.

Возраст верхней подсвиты чергакской свиты на основании многочисленных органических остатков определяется как венлокский ярус и, вероятно, самые низы ллудлоу.

Несложенные отложения чергакской свиты (S_{1-2} ч.) выделяются на северо-востоке района, в междуречье Усту-Пахаш, Чингекат-Барлык. На этих участках силурийские отложения с подстилающими образованиями повсеместно имеют тектонические взаимоотношения. В некоторых маршрутах наблюдаются отдельные фрагменты разрезов как нижней, так и верхней подсвит. Сложная тектоническая обстановка и недостаточная обнаженность не позволяют расчленить отложения на подсвиты,

В правом борту долины р. Орту-Пахаш силурийские отложения сложены в основном зелено-серыми, серыми полимиктовыми песчаниками. В подчиненном количестве содержатся серо-зеленые, зеленые и лилово-

ые алевролиты, а также лиловые, розовато-серые, лилово-серые полимиктовые и светло-серые олигомиктовые песчаники. Еще реже встречаются прослои зелено-серых и желтовато-серых мелкогалечных конгломератов и гравелитов. Песчаники чаще всего обладают параллельной, реже косой слоистостью. Нередко среди песчаников встречаются известковистые разновидности. Последние совместно с серо-зелеными алевролитами содержат редкие остатки брахиопод, лингул и мишок плохой сохранности. Суммарная мощность нерасчлененных отложений чергакской свиты по правому борту долины р. Орту-Пахаш составляет около 1800м.

В противоположном борту той же долины силурийские отложения имеют несколько иной состав. Здесь почти совсем не встречаются конгломераты и гравелиты, преобладают известковистые песчаники, алевролиты и мергели с существенным наличием известняков. На этом участке гораздо чаще встречаются остатки ископаемой фауны довольно приличной сохранности. Из брахиопод определены: *Tuvaella gigantea* Tchern., *Leptaena rhomboidalis* Wilck., *Tannuspirifer pedashenkoi* Tchern., *Camarotoechia cumurtukensis* Tchern., *Strophedonta* sp.

В левом борту долины р. Барлык нерасчлененные отложения чергакской свиты представлены серыми и светло-серыми мелкогалечными кварцевыми конгломератами и гравелитами, серо-зелеными и светло-серыми мелко- и среднезернистыми песчаниками, желто-зелеными крупнозернистыми песчаниками, серо-зелеными и голубовато-зелеными известковистыми алевролитами, светло-серыми, серыми и темно-серыми известняками. В алевролитах и известняках содержатся остатки брахиопод / *Tuvaella rackovskii* Tchern., *Dalmanella* sp./, а также, крионидей и трилобитов плохой сохранности.

В е р х н и й о т д е л

Х ондегейская свита (S_2^{hn}) известны на юге района в бассейне р. Мугур, а также впервые выделена в левом борту долины р. Усту-Пахаш на северо-западном склоне хребта Калбак-Шат. В обоих случаях они согласно залегают на отложениях верхней подсвиты чергакской свиты.

В бассейне р. Мугур хондергейская свита имеет следующий разрез:

I. Песчаники лиловые, лилово-бурые, красно-бурые, буровато- и розовато-серые мелко-, средне- и крупнозернистые

полимиктовые, реже олигомиктовые с редкими подчиненными прослоями (до 1м) мелкогалечных конгломератов.....

85 м

2. Чередование лиловых мелкогалечных конгломератов, гравелитов и крупнозернистых песчаников.....

15 "

3. Песчаники лиловые, красно-бурые мелко-, средне- и крупнозернистые параллельнослоистые с маломощными прослоями мелкогалечных конгломератов и гравелитов.....

105 "

4. Переслаивание красных грубозернистых песчаников, гравелитов и мелкогалечных конгломератов. Преобладают песчаники.....

40 "

Суммарная мощность хондергейской свиты в бассейне р. Мугур составляет 245м.

В левом борту долины р. Усту-Пахаш в составе описываемой свиты отсутствуют грубообломочные породы - конгломераты и гравелиты, а среди красноцветных пород появляются подчиненные прослои зеленоцветных разновидностей. В целом хондергейская свита здесь представлена ярко-красными, вишнево-красными мелкозернистыми параллельнослоистыми песчаниками и алевролитами с подчиненными прослоями светло-зеленых плотных кварцитовидных песчаников, зеленых и голубовато-зеленых алевролитов.

Суммарная мощность свиты здесь составляет 450м.

Верхнесилурийский возраст хондергейской свиты определяется согласным залеганием её пород на венлок-нижнелудловских отложениях верхней подсвиты чергакской свиты и трангрессивным перекрытием кендейской свитой, содержащей остатки нижнедевонской флоры.

ДЕВОНСКАЯ СИСТЕМА

Девонские отложения наибольшим распространением пользуются в Тувинской структурно-фациальной зоне. Мелкие выходы известны в пределах Саяно-Шапшальской зоны на правобережье р. Карги и в бассейне среднего течения р. Мугур. В возрастном отношении девонские образования расчленены на нижний и средний отделы.

Н и ж н и й о т д е л

К е н д е й с к а я с в и т а (D_1^{hn}) наиболее широко развита в бассейнах рек Талайлык, Чазадыр, Орту- и Усту-Пахаш. Локальные выходы пород свиты отмечаются также в правых бортах долин рек Оначи, Барлык и Карги. Свита с угловым несогласием перек-

рывает различные горизонты ордовика, силура. Описываемые отложения характеризуются большой фациальной изменчивостью. Относительно полный разрез кендейской свиты изучен в нижнем течении р. Талайлык, в левом борту долины притока Пиче-Таректы:

1. Чередование зеленых, лиловых и коричневато-красных мелкозернистых полимиктовых песчаников и алевролитов. В середине пачки — прослой зеленовато-серых песчаников с остатками неопределимой флоры, в основании — слой (2-20м) базальных мелкогалечных кварцевых конгломератов.....	100 м
2. Кварцевые порфириты фиолетово-серые миндалекаменные.....	65 "
3. Андезитовые порфириты лилово-серые, зелено-серые афириты, миндалефиры с покровом флюидального дацитового порфира	80 "
4. Диабазы и диабазовые порфириты темно-серые, зеленовато-серые с прослойми литокластических туфов смешанного состава	100 "
5. Туфогравелиты, туфопесчаники розовато-серые, буровато-серые	50 "
6. Известняки темно-серые и серые алевролиты с остракодами <i>Germaninina</i> sp.....	35 "
7. Розовые кварцевые порфиры	85 "
8. Андезитовые афириты и миндалефиры коричнево-лиловые, темно-серые и бурые диабазы, диабазовые порфириты, гиалобазальты	100 "

Мощность приведенного разреза 720м.

Восточнее, в правом борту долины р. Оначи, в основании кендейской свиты залегает горизонт (2м) серых мелкогалечных конгломератов выше которого следует чередование сарых, лилово-серых, красно-бурых крупнозернистых полимиктовых песчаников с прослойми гравелитов и мелкогалечных конгломератов. В подчиненном количестве содержатся фельзит-порфиры и андезитовые порфириты. Серые известковистые песчаники (мощностью 15м) содержат остатки ископаемой флоры: *Taenioocrada decheniana* (Goepp.), *T. cf. langi* Stockm., *Apphylopteris robusta* Radcz., *Tomiphyton cf. primaevum* Zal., *Psilophytites* sp., *Hostimella* sp. (определения Н.И. Петросян, ВСЕГЕИ). Мощность кендейской свиты здесь около 100м.

В верховых р. Талайлык кендейская свита сложена преимущественно вулканогенными породами, среди которых значительная роль

принадлежит кислым эфузивам и их туфам. Максимальная мощность свиты здесь не превышает 700м.

В бассейне рек Орту- и Усту-Пахаш кендейская свита сложена преимущественно сероцветными терригеническими породами. Разрез по правому борту долины р. Усту-Пахаш представляется в следующем виде:

1. Конгломераты валунные серого цвета. В гальке встречаются известняки с отпечатками брахиопод плохой сохранности	20 м
2. Туфопесчаники и туфогравелиты лиловые	15 "
3. Чередование зеленых, зелено-серых слоистых алевролитов и мелкозернистых полимиктовых песчаников с прослойми гравелитов. Песчаники содержат растительные остатки <i>Apphylopteris rudis</i> Radcz. и <i>Psilophytites</i> sp.	30 "
4. Песчаники серые, темно-серые, серо-зеленые мелкозернистые полимиктовые и тонкослоистые песчанистые алевролиты с прослойми гравелитов. Гравелиты содержат неопределенные растительные остатки	195 "
5. Песчаники буровато-серые и серые, слоистые, мелкозернистые	45 "

Мощность свиты в данном разрезе 305м.

В нижнем течении р. Мугур раннедевонские отложения трансгрессивно перекрывают образования аласугской и мугураксинской свит. В основании кендейской свиты залегают два горизонта (1,5; 5м) зелено-серых мелкогалечных конгломератов, разделенных пачкой (20м) зелено-серых мелкозернистых полимиктовых песчаников. Выше залегают красно-лиловые мелкозернистые песчаники (10м), содержащие флагментарные растительные остатки (некоторые из них имеют сходные черты с представителями *Psilophytites* и *Eldechemia pseudoverticillata*). Верхняя часть разреза (200м) представлена чередованием серых, зеленовато-серых и темно-серых разнозернистых полимиктовых песчаников, содержащих прослой алевролитов, гравелитов, филлитов, туфитов и кристалло-литокластических туфов кислых эфузивов. В плотных окремненных слоистых алевролитах и туфитах, приуроченных к верхам последней пачки, встречаются остатки водорослей рода *Pachytesca*. Общая мощность кендейской свиты на этом участке составляет 250м. В правом борту долины р. Кары (16км ниже пос. Мугур-Аксы) мощность свиты не превышает 100м.

Возраст свиты устанавливается на основании её структурного положения и наличия в породах остатков нижнедевонской флоры и фауны.

Средний отдел

Эйфельский ярус

Эйфельские образования расчленены на две свиты: нижнюю - саглинскую и верхнюю - таштыпскую. В междуречье Хемчачейлык и Эльды-Хем свиты выделяются совместно как нарасчлененные.

Саглинская свита ($D_{2,9}$) развита по левому берту долины р. Талайлык, в бассейне рек Усту-Пахаш, Гогерим, по левому берту долины р. Каргы и в среднем течении р. Мугур. Саглинская свита трансгрессивно перекрывает нижнедевонские и силурийские образования. Верхняя граница саглинской свиты проводится по подошве темно-серых органогенных известняков (левый берег долины р. Бол. Буган) или по подошве пачки зеленых известковистых алевролитов и мелковзернистых песчаников, подстилающих красноцветы и хедушингольской свиты (бассейн р. Гогерим и верхнее течение р. Усту-Пахаш). Литологический состав свиты исключительно разнообразен.

Представительные разрезы саглинской свиты можно наблюдать по руслу р. Ниче-Таректы и её левому берту. В основании свиты здесь залегает пачка (20м) светло-серых мелкогалечных кварцевых конгломератов, содержащих прослой сиренево-красных мелковзернистых туфопесчаников. Последние содержат остатки растительные остатки. Выше следует чередование (90м) светлых, окрашенных в различные тона, массивных и флюидальных фельзитов, фельзит-порфиров и их туфов. Венчаются отложения пачкой (390м) желтовато- и зеленовато-серых флюидальных и массивных кварцевых порфиров, фельзитов, фельзит-порфиров и лавобрекций. Общая мощность саглинской свиты по р. Ниче-Таректы составляет 500м.

К востоку и западу вулканогенные породы в основании саглинской свиты частично замещаются пестроцветными конгломератами, гравелитами и песчаниками, содержащими прослой алевролитов и сланцев. Мощность терригенных пород увеличивается с 20м до 250-300м.

В бассейне верхнего течения р. Гогерим отложения саглинской свиты отчетливо разделяются на две части, из которых нижняя (800м) сломана пестроцветными (зелеными, лиловыми, пепельными) алевролитами и мелковзернистыми песчаниками, содержащими прослой псамmitовых туфов и известняков. В основании залегает горизонт (до 30м), серых мелко-, среднегалечных кварцевых конгломератов. Верхняя часть разреза представлена чередованием бурых, желто-серых, лиловых массивных и флюидальных кварцевых порфиров, фельзит-порфиров, фельзитов, содержащих редкие прослой алевролитов и песчаников. Общая

мощность отложений саглинской свиты оценивается здесь в 2300м. (см.рис. I.).

В истоках рек Усту- и Орту-Пахаш мощность отложений саглинской свиты уменьшается до 950м, а разрез её подразделяется на три части:

1. Песчаники и гравелиты сургучные, лиловые, серые полимиктовые и олигомиктовые с прослойками мелкогалечных конгломератов, туфогравелитов, алевролитов. В основании залегают базальные буровато-серые мелкогалечные конгломераты. В правом берегу долины р. Усту-Пахаш серые алевритистые песчаники из средней части пачки содержат остатки флоры:

Barrandeinopsis orientalis Petr., *Uralia cf.camdjalen-sis* Petr., *Protolepidodendron* sp. 330 м

2. Фельзиты и кварцевые порфириты пастроокрашенные с массивной, флюидальной и шаровой текстурой. Покровы зеленых андезитовых миндалефиров 400 "

3. Песчаники мелковзернистые лиловые, серые с прослойями алевролитов 220 "

Вдоль левого берега долины р. Каргы отложения саглинской свиты находятся в тектонических блоках. Свита представлена здесь чётким чередованием сероцветных и красноцветных полимиктовых, реже олигомиктовых песчаников, содержащих прослой алевролитов, известняков и редкие покровы фельзит-порфиров и андезитовых порфиритов.

По долине р. Мугур саглинская свита представлена лиловыми, красными, реже серыми и зелеными мелкогалечными конгломератами, гравелитами и разновозрастными полимиктовыми песчаниками с прослойями алевролитов. Нижняя граница свиты проводится по подошве светлых мелкогалечных кварцевых конгломератов, трансгрессивно перекрывающих красноцветные песчаники и гравелиты хондергейской свиты. В нижней части разреза преобладают красноцветные грубообломочные породы. Зеленоватые полимиктовые песчаники и алевролиты, появляющиеся в верхней половине разреза, содержат многочисленные растительные остатки: *Taenioocrada decheniana* (Goep.), *T. cf. orientalis* Radcz., *Psilophyton cf.princeps* Daws., *Bucheria* sp., *Protobarinophyton* sp., *Uralia cf. camdjalensis* Petr., *Apphylopterus* sp. nov., *Psilophytites* sp. Верхняя часть разреза саглинской свиты здесь срезана разломом. Мощность саглинской свиты по р. Мугур достигает 685м.

Возраст саглинской свиты твердо датируется по содержащимся остаткам ископаемой флоры. Растительные остатки: *Taenioocrada decheniana* (Goep.), *Barrandeinopsis cf.orientalis* Petr., *Protolepicheniana* (Goep.),

dodendron sp., *Uralia cf. camdjaleensis* Petr. встречающиеся в породах по мнению Н.М. Петросян, характерны для среднедевонских отложений Алтас-Саянской складчатой области.

Таштыпская свита (D_2^{e-t}) известна лишь в пределах Тувинской структурно-фациальной зоны. Она сложена преимущественно серыми, темно-серыми, черными массивными и плитчатыми органогенными известняками, сиро-зелеными и зелеными известковистыми алевролитами, реже мелкозернистыми песчаниками.

В районе горы Тяраш-Тайга отложения таштыпской свиты узкой полосой окаймляют с запада ядро Тяраштайгинской брахиосинклинали (рис. 2.). Здесь свита представлена темно-серыми и буровато-серыми известняками с прослоями серых известковистых алевролитов. Описываемые породы согласно залегают на серых и лиловых песчаниках, местами темно-серых флюидальных фельзитах саглинской свиты. В известняках содержатся остатки кораллов *Cladopora* sp. indet., *Thamnopora* sp. indet. (В.Д.Чехович, ВСЕГЕИ) и брахиопод *Acrospirifer subgregarius* Rzon. (М.А. Ржонсницкая, ВСЕГЕИ). В меридиональном направлении наблюдается постепенное замещение известняков алевролитами и мелкозернистыми песчаниками.

В бассейне реки Чазадыр в составе таштыпской свиты преобладают зеленые известковистые алевролиты с прослоями серых и сиро-зеленых мелкозернистых песчаников. Известняки занимают подчиненное положение. В левом борту долины р. Гогерим известняки таштыпской свиты содержат остатки плохой сохранности криноидей и кораллов, а также брахиопод *Acrospirifer subgregarius* Rzon. Мощность свиты меняется от 100 до 120м.

В верхнем течении р. Барлык таштыпская свита, отмечена в двух тектонических клиньях, сложена серыми известняками и сиро-зелеными известковистыми алевролитами с остатками кораллов плохой сохранности.

По левому борту долины р. Кары таштыпская свита перекрывает пастроцветную пачку алевролитов саглинской свиты и представлена серыми известняками и остатками фауны кораллов *Calciopora cf. chaetetoides* Lec., *Thamnopora* sp., *Cladopora* sp. (В.Д. Чехович) и строматопор *Stromatoporella* sp. (Н.А.Флерова, ЛГУ). Видимая мощность свиты здесь не превышает 30м.

Возраст таштыпской свиты устанавливается на основании содержащихся в ней остатков фауны. Брахиоподы *Acrospirifer subgregarius* Rzon. по заключению М.А. Ржонсницкой, характеризуют отложения эйфельского яруса, таштыпского горизонта Минусинской

котловины, табулиты *Calciopora cf. chaetetoides* Lec. известны в эйфельском и живетском ярусах Восточного Урала и Средней Азии.

Нерасчлененные отложения саглинской и таштыпской свит (D_2^{e-t+g}) распространены лишь в Пюштых-Бельдырской подзоне, в междуречье Эльды-Хем и Хемчечейлык. Самые нижние слои этих свит (250м) представлены лилово-красными алевролитами и мелкозернистыми песчаниками с прослоями голубовато-зеленых алевролитов, обнажаются в левом борту р. Эльды-Хем. Эта пачка по разлому контактирует с отложениями нижней подсвиты чергакской свиты силура. Выше по разрезу следует чередование серых и буровато-серых разнозернистых полимиктовых песчаников с прослоями зеленых алевролитов, мелкогалечных конгломератов и гравелитов (200м). Разрез завершается пачкой (50м) серых, зеленых, редко лиловых алевролитов, содержащих отпечатки водорослей *Eldechemia pseudoverticillata*. Мощность толщи оценивается приближенно в 500-600м.

Сироцветные песчаники нерасчлененных отложений саглинской и таштыпской свит содержат редкие остатки ископаемой флоры *Taenio-crada* sp. и *Aphyllopteris* sp. По мнению Н.М. Петросян, эти формы характеризуют конец раннего и весь средний девон. Однако, отсутствие в составе этих отложений руководящих растительных остатков живетского яруса с некоторой условностью позволяет ограничить время формирования описываемых отложений нижней половиной среднего девона.

Живетский ярус

Отложения живетского яруса характерны только для Тувинской зоны. Взаимоотношения отложений живетского и эйфельского ярусов повсеместно согласные. По литолого-стратиграфическим признакам и содержащимся остаткам ископаемой флоры живетские отложения расчленены на ихедушингольскую, илеморовскую свиты и нерасчлененные отложения илеморовской и уукской свит.

Ихедушингольская свита (D_2^{gvih}) сформировалась в пределах двух различных структурно-фациальных подзон: Чазадыр-Арзайтинской и Пюштых-Бельдырской (рис.2.) и существенно отличается типами разрезов. В Чазадыр-Арзайтинской подзоне отложения ихедушингольской свиты представлены выдержаными на значительной площади красноцветными отложениями, во второй подзоне отлагались эпиконтинентальные сироцветные грубозернистые осадки.

Полный разрез красноцветных отложений можно наблюдать в правом борту долины р. Гогерим, вблизи восточной границы района, где они согласно перекрывают зеленые известковистые алевролиты таштыпской свиты. Красноцветные отложения, представленные темно-красными и вишнево-лиловыми алевролитами с прослойями мергелей и мелко-зернистых косослоистых песчаников, слагают нижнюю половину разреза. Выше появляются прослои и пачки (до 75м) голубовато-зеленых алевролитов переслаивающихся с серо-зелеными мелкозернистыми песчаниками. Для песчаников ихедушингольской свиты, развитой на этом участке, характерен полимиктовый состав и глинисто-карбонатный, железисто-карбонатный и железистый цемент. Мощность ихедушингольской свиты здесь составляет 550м. Лилово-красные алевролиты в средней части разреза содержат ископаемые остатки *Pseudouralia sibirica* Petr.

В районе горы Тяраш-Тайга и в нижнем течении р. Гогерим красноцветные отложения ихедушингольской свиты обнажаются в ядерных частях сложно построенных брахисинклиналей, крылья которых сложены известняками и известковистыми алевролитами. На северных и юго-восточных склонах горы красноцветные песчаники и алевролиты содержат остатки ископаемой флоры *Pseudouralia sibirica* Petr., *Aphyllopteris thensis* Petr., *Taeniocrada* sp., *Uralia camdja-lensis* Petr., а также фрагментарные отпечатки водорослей *Eldichemia pseudoverticillata*.

Мощность свиты в данном районе не менее 500м.

В пределах Пыштык-Бельдырской структурно-фациальной подзоны ихедушингольская свита имеет согласные взаимоотношения с подстилающими её нерасчлененными отложениями саглинской и таштыпской свит. Нижняя граница свиты проходит по подошве пачки серых полосчатых крупнозернистых песчаников, содержащих небольшие прослои гравелитов. Разрез свиты в междууречье Эльды-Хем и Хемчачейлык имеет следующую последовательность:

- | | |
|--|-------|
| 1. Песчаники полосчатые среднезернистые и крупнозернистые с редкими прослойями гравелитов. Для песчаников характерен плотный хлорито-кремнистый цемент | 70 м |
| 2. Песчаники серые полосчатые с редкими прослойми серых алевролитов | 270 " |
| 3. Чередование зеленых и серых полосчатых алевролитов с зелено-серыми песчаниками. Проеоладают алевролиты.. | 40 " |
| 4. Переслаивание серых, зелено-серых песчаников и алевролитов. Прослои лиловых алевролитов и лилово-серых мелкозернистых песчаников | 20 " |

5. Песчаники серые и светло-серые в переслаивании с окременными алевролитами..... 200 м

Суммарная мощность разреза для этого района около 700м.

В левом борту долины р. Барлык, восточнее высоты 3108 голубовато-серые алевролиты ихедушингольской свиты содержат ископаемые остатки *Pseudouralia sibirica* Petr. Таким образом, отложения ихедушингольской свиты, в двух различных структурно-фациальных подзонах, содержат один и тот же вид ископаемой флоры, по заключению Н.М. Петросян характерен для живетских отложений Минусинской котловины.

Илеморовская свита (D_2^{gvil}) отмечается на ограниченных площадях в правом борту долины истока р. Гогерим и в правом борту долины р. Чазадыр, где она согласно перекрывает красноцветные песчаники и алевролиты ихедушингольской свиты. На соседней к востоку территории илеморовская свита согласно перекрывает отложениями уюкской свиты. В пределах изученного района обнажается лишь нижняя часть разреза, сложенная зелено-серыми алевролитами, содержащими прослой мелкозернистых песчаников и гравелитов. Породы обладают параллельной или косой слоистостью, не-редко наблюдаются знаки ряби и следы капель дождя.

В отложениях илеморовской свиты на соседней территории известны находки ископаемой флоры и фауны. Из первых А.Р. Ананьев определил *Clytophyton granulare* Krysh., вид, принадлежащий верхней половине среднего девона. Среди филlopод Н.И. Новожиловым определены следующие формы живетского яруса: *Pseudoestheria fallax* Novoj., *P. plicata* (Lutk.), *P. pogrebovi* (Lutk.), *Loxomicro-glypta impedita* (Novoj.).

Общая мощность отложений илеморовской свиты в левом борту долины р. Саглы, по данным В.В. Волкова (1959) определяется в 400-500м.

Илеморовская и уюкская свиты не-расчлененные ($D_2^{gv il+uk}$) слагают основную площадь Пыштык-Бельдырской подзоны, где они представлены серыми, темно-серыми, реже зелено-коричневато-серыми полимиктовыми песчаниками, алевролитами и аргиллитами. Очень характерно присутствие в составе толщи темно-серых и черных алевролитов, аргиллитов и сланцев, переполненных остатками ископаемой флоры. Ранее подобные отложения, в значительно большем объеме (туда были включены образования саглинской, таштыпской и ихедушингольской свит), описывались под названием "черносланцевой толщи".

Восточнее горы Боро-Шивэни-Ула вблизи границы с МНР нижняя

граница нерасчлененных отложений илеморовской и уюкской свит проводится по основанию пачки (250м) темно-серых и почти черных алевролитов, согласно залегающих на светло-серых косослоистых мелко-зернистых песчаниках ихедушингольской свиты. На остальной площа-ди распространения описываемых отложений контакты с подстилающи-ми толщами нарушены разломами.

Детальный разрез нерасчлененных отложений илеморовской и уюкской свит, вскрытый по руслу р. Барлык, начиная от границы с МНР и кончая устьем р. Пюштых-Балдыр, имеет следующий вид:

1. Алевролиты серые, темно-серые, зелено-серые в переслаивании с параллельно- и косослоистыми полимиктовыми песчаниками	145 м
2. Песчаники зелено-серые, серые, темно-серые параллельно- и косослоистые с прослойми зелено-серых, коричневато-серых алевролитов и черных аргиллитов	210 "
3. Алевролиты темно-серые, зелено-серые слоистые с прослойми серых, желтовато-серых полимиктовых песчаников и филлитов	310 "
4. Алевролиты темно-серые с прослойми желтовато-серых песчаников	150 "
5. Алевролиты темно-серые тонкослоистые с прослойми светло-серых полосчатых полимиктовых песчаников.....	180 "
6. Чередование серых и темно-серых алевролитов и параллельнослоистых песчаников	105 "
7. Алевролиты темно-серые с прослойми полимиктовых песчаников	125 "
8. Переслаивание темно-серых, серых полосчатых алевролитов и песчаников. Редкие прослои черных аргиллитов..	130 "
9. Алевролиты темно-серые и серые тонкополосчатые с прослойми светло-серых косослоистых песчаников	80 "
10. Алевролиты, аргиллиты, филлиты темно-серые, зелено-серые, коричневато-серые, лилово-серые с прослойми полимиктовых песчаников	130 "
II. Алевролиты серые, темно-серые и черные слоистые с прослойми черных аргиллитов и серых параллельнослоистых песчаников	220 "

Общая мощность в данном разрезе составляет 1785м.

Литологический состав рассматриваемых отложений весьма устойчив и выдержан по простиранию.

Возраст отложений определяется на основании многочисленных находок ископаемой флоры, распространенной по всему разрезу. По

определению Н.М. Петросян, в составе нерасчлененных отложений илеморовской и уюкской свит содержатся остатки *Pseudouralia sibirica* Petr., *Clyptophyton granulare* Krysst., *Aneurophyton* sp., *Svaliardia* sp., *Protocephalopteris* sp. . которые встречаются в живетских отложениях (илеморовской свиты) Минусинской котловины. Остатки *Taenioocrada dechenianae* и *Uralia sandjaleensis* Petr., присутствующие совместно с живетскими формами, встречаются на протяжении всего среднего девона.

ЮРСКАЯ СИСТЕМА

Нижний отдел

Нижнеюрские угленосные отложения, развитые в бассейне р. Каргы, представлены континентальными груобкластическими породами, залегающими несогласно на нижележащих образованиях. Ранее эти отложения сопоставлялись со среднеюрской эрбекской свитой Центральной Тузы. По литолого-стратиграфическим признакам и наличию остатков ископаемой флоры нижнеюрские отложения делятся на три согласно залегающие свиты: куведавансскую, тытыгхемскую и кадырорукскую.

Куведаванская свита (J_1^{Kv}) перекрывает отложения верхней подсвиты чергакской свиты силура. В левом борту долины р. Куведава устанавливается следующая последовательность разреза:

- 1. Конгломераты красно-бурые крупно- и валунногалечные полимиктовые с линзующимися прослойми сероцветных разновидностей. Галька плохо отсортирована и недостаточно хорошо окатана 85 м
- 2. Конгломераты крупно- и валунногалечные полимиктовые с линзующимися прослойми красно-бурых и лилово-серых крупнозернистых полимиктовых песчаников 100 "
- 3. Конгломераты серые средне- и крупногалечные чередующиеся с маломощными прослойми (до 1м) желто-серых с лиловатым оттенком средне- и крупнозернистых полимиктовых песчаников 80 "
- 4. Чередование серых гравелистых полимиктовых песчаников, мелкогалечных конгломератов с редкими маломощными (0,2-0,3м) прослойми темно-серых аргиллитов..... 50 "
- 5. Переслаивание серых полимиктовых песчаников и темно-серых аргиллитов с редкими маломощными (до 0,15м) про-

слоями углистых аргиллитов. Песчаники и аргиллиты с отпечатками: *Neokoretrophyllites* sp., *Hausmannia cf. forchhameri* Bartholin, *Cladophlebis* sp., *Phoenicopsis angustifolia* Heer., *Pityophyllum angustifolium* (Nath.), Moeller, *P. nordenskioldii* (Heer.) Nath., *Schizolepis acuminata* Tur.-Ket. Песчаники разнозернистые косо-слоистые

60 м

6. Чередование серых полимиктовых гравелитов, мелкогалечных конгломератов и неравномернозернистых песчаников. Содержатся редкие маломощные прослои темно-серых и углистых аргиллитов

50 "

7. Переслаивание серых мелкозернистых полимиктовых песчаников, алевролитов и темно-серых аргиллитов с редкими маломощными прослоями углистых аргиллитов. Породы переполнены остатками флоры, аналогичными в пачке 5... .

45 "

Общая мощность свиты в разрезе достигает 470м.

По простиранию на восток-юго-восток в верхах куведаванской свиты, вблизи ограничивающего её с севера надвига, среди серых песчаников, алевролитов и темно-серых аргиллитов встречаются мало мощные линзующиеся прослои известняков, линзы гипса, глин и каменных углей.

В бассейне р. Оруктуг-Тытыг-Хем куведаванская свита (435м) с размывом залегает на среднедевонских эффузивно-осадочных образованиях саглинской свиты. В отличие от приведенного выше разреза, куведаванская свита здесь имеет более пестроцветный облик, в её составе по всему разрезу преобладают красноцветные грубокластические породы, совершенно отсутствуют алевролиты и аргиллиты, а содержащиеся остатки ископаемой флоры имеют очень плохую сохранность.

По заключению В.П. Владимирович (ВСЕГЕИ), определявшей ископаемую флору, следует, что наряду с формами, имеющими широкие вертикальные распространения в юрское время, содержится представитель рода *Neokoretrophyllites*, характерный в Сибирской палеофлористической провинции для рэтского века (Урал, Таймыр) и в Индо-Европейской провинции для раннего лейаса (Фергана). Вид папоротника *Hausmannia cf. forchhameri* Bartholin является руководящей раннелейасовой формой. Таким образом, время накопления осадков, содержащих вышехарактеризованную флору, В.П. Владимирович до получения более полных данных определяет как ранний лейас.

Тытыгхемская свита ($J_1 tt$) установлена в бассейнах рек Оруктуг-Тытыг-Хем и Кадыр-Орук. На этом участке тытыгхемская свита интенсивно дислоцирована, на что указывает запроки-

нутость пород в противоположную сторону от надвига. Наиболее полно свита вскрыта в русле р. Кадыр-Орук:

1. Конгломераты серо-зеленые и пестрые неравномерногалечные (от мелко- до валунногалечных) полимиктовые с подчиненными линзующимися прослоями красно-бурых полимиктовых песчаников

80 м

2. Конгломераты красные неравномерногалечные, полимиктовые с редкими маломощными (0,15-0,3м) прослоями красных мелкозернистых полимиктовых песчаников и алевролитов, содержащих обильные остатки ископаемой флоры плохой сохранности.....

190 "

3. Конгломераты красные и лиловые полимиктовые (от мелко- до валунногалечных) с тонкими (до 0,2м) прослоями серо-лиловых полимиктовых песчаников и алевролитов с *Radicites*?.....

90 "

4. Конгломераты красно-бурые неравномерногалечные, полимиктовые с линзующимися прослоями того же цвета гравелитов и грубозернистых полимиктовых песчаников.....

70 "

Общая мощность тытыгхемской свиты 430м.

Кадырорукская свита ($J_1 dd$) названа по одноименной реке. Свита в районе слагает ядро мульды, осложненное дизъюнктивными нарушениями Каргинской зоны разломов. Наиболее представительный её разрез вскрыт в бассейне р. Базымянной, западнее р. Кадыр-Орук:

1. Конгломераты серые мелко- и среднегалечные, плохо отсортированные, содержащие прослои гравелитов, полимиктовых песчаников и алевролитов. Породы содержат остатки флоры: *Cladophlebis nebbensis* (Brongn.), *Halle*, *C. de-licatula* Tabe et Oishi, *C. distans* Heer, *C. cf. haliburnensis* (Lindl. et Hutt.) Sew., *Phoenicopsis angustifolia* Heer., *Czekanowskia rigida* Heer., *Pityophyllum nordenskioldii* (Heer) Nath., *P. longifolium* (Nath) Nath., *Podozamites angustifolium* (Eichw.) Heeg., *P. cf. distans* (Presl.) Braun.

250 м

2. Чередование серых неравномернозернистых полимиктовых песчаников и алевролитов. Редкие прослои (до 1,5м) мелкогалечных конгломератов, гравелитов и аргиллитов. Преобладают песчаники. Содержатся остатки флоры: *Equisetum*

setites sokolowskii Eichw., Phlebopteris cf. polypodioides Brongn., Cladophlebis cf. magnifica Brick., C. stenolopha Brick., C. alexandrovii Vlad., sp. nov., Ginkgoites sibirica Heer, G. digitata Brongn., Sphenobaiera angustiloba (Heer) Florin., Phoenicopsis stolickii Pryn., Ph. angustifolia Heer, Szekanowskia setacea Heer, Podozamites angustifolius (Eichw.) Heer, Pityophyllum nordenskioldii (Heer) Nath., Eretmophyllum ovalites Teslenko, Carpolithus sp. 100 м

3. Конгломераты серые мелко- и среднегалечные с подчиненными прослоями гравелитов, разнозернистых песчаников, алевролитов и аргиллитов 60 "

4. Чередование серых полимиктовых песчаников, алевролитов и аргиллитов. Встречаются редкие маломощные (до 0,4м) прослои мелкогалечных конгломератов, гравелитов и углистых аргиллитов. Преобладают песчаники и алевролиты. По простиранию на запад в этой пачке среди углистых аргиллитов содержатся линзы каменных углей мощностью до 10см и протяженностью около 1м. Породы содержат остатки

флоры: Cladophlebis alexandrovii Vlad., sp. nov., Phoenicopsis angustifolia Heer, Podozamites distans (Presl Braun.), P. angustifolius (Eichw.) Heer, Pityophyllum longifolium Nath., P. nordenskioldii (Heer) Nath. около 170 "

Общая мощность свиты в разрезе 580м.

По заключению В.П. Владимирович, выше приведенные формы остатков флоры кадырорукской свиты могут быть объединены в Каргинской фитостратиграфический горизонт, который выявлен в Туве впервые. Возраст его В.П. Владимирович определяется средним-верхним лейасом по аналогии с Северным Казахстаном, Алтаем-Саянской складчатой областью, Чуло-Енисейским бассейном и другими районами Сибири. Растительный комплекс данного фитостратиграфического горизонта имеет родовую и отчасти видовую связь с средненорскими растительными комплексами эрбакской свиты Центральной Тулы, но в отличие от последней в нем присутствуют характерные лейасовые формы Phlebopteris sp. cf. Ph. polypodioides, Cladophlebis cf. magnifica, C. stenolopha и полностью отсутствуют представители рода Coniopteris, Raphaelia и др., т.е. тех растений, которые хотя

и появились в некоторых районах Сибири в конце лейаса, но являются характерными для средней юры.

ЧЕТВЕРТИЧНАЯ СИСТЕМА

Четвертичные отложения в районе имеют ограниченное распространение. Они представлены рыхлыми континентальными образованиями различных генетических типов, среди которых выделяются среднечетвертичные, верхнечетвертичные, верхнечетвертичные-современные и современные. Впервые в Западной Туве встречены следы четвертичных базальтов. Мощность четвертичных отложений незначительна и меняется от нескольких десятков сантиметров (на водоразделах и склонах) до десятков метров (в долинах крупных рек и урочищ).

Среднечетвертичные отложения (Q_{II})

Среднечетвертичные отложения представлены аллювиальными и ледниковых образованиями. Аллювиальные террасы высоких уровней выделяются в верхнем течении р. Карги. Высота их достигает 60-70м. Террасы сложены валунными галечниками, песками и глинами. Мощность аллювия составляет не менее 25-30м.

Среднечетвертичные ледниковые отложения развиты в виде нагромождений конечных и донных морен в истоках бассейнов рек Карги и Мугур и в среднем течении р. Мугур-Шегетай. Морены сложены крупными валунами и глыбами размером до 3-5м в поперечнике, сцепленными буровато-серыми супесями и суглинками. Возраст отложений определяется по их стратиграфическому положению: аллювий террас высоких уровней перекрывается галечниками III надпойменной террасы, а древние морены-моренами последней (максимальной) фазы оледенения (Q_{III}). На соседней к северу площади по р. Чингекат (Шорыгина, 1960) в межморенных отложениях известны находки остатков мамонта древнего типа.

Верхнечетвертичные отложения (Q_{III})

Среди верхнечетвертичных отложений различаются аллювиальные, ледниковые, озерно-ледниковые и водоно-ледниковые осадки. Условно к этой эпохе отнесены излияния андезито-базальтов.

Аллювий верхнечетвертичного возраста представлен песчано-галечными отложениями II и III надпойменных террас, развитыми в прибой-

менных частях крупных рек Кары, Барлыка, Чазадыра. Высота террас меняется от 4 до 10 и от 10 до 50м. В местах сужения речных долин аллювий террас лежит на цоколе коренных пород. Галечники и пески содержат большое количество пыльцы и спор. Состав споропыльцевого спектра выдержан по разрезу. Среди пыльцы травянистых растений (70-98%) доминируют *Ephedra*, *Chenopodiaceae*, *Artemisia*, встречаются одиночные зерна разнотравья. Древесные растения (1-24%) представлены преимущественно пыльцой сосны и единичной пыльцой ели, ольхи, березы. Из споровых растений (в среднем 3-4%) присутствуют *Bryales*, *Sphagnum*, *Polypodiaceae*. Верхнечетвертичный возраст надпойменных террас (II и III) устанавливается за пределами района (Центральная Тува, р.Элегест) по находкам зубов и частей скелета обычного мамонта и обломков черепа шаристого носорога (Шорыгина, 1960).

Ледниковые отложения в виде конечных, донных и боковых морен известны в бассейнах рек Кары, Мугура, Маганатты и в районе оз. Талайты. Морены сложены крупными валунами и глыбами различных пород, сцепленными желтовато-серыми супесями и суглинками. Озерно-ледниковые отложения, представленные буровато-серыми щебенистыми суглинками с примесью глыб и валунов, пространственно приурочены к участкам развития ледниковых морен (водораздел рек Маганатты-Сайлыхем).

Водно-ледниковые отложения, состоящие из грубосортированного гравийно-галечного материала и серых суглинков, слагают террасовидные площадки по левым притокам верхнего течения р. Кары и в долине р. Талайлык. На основании находок остатков древнего мамонта в межморенных отложениях по р. Чингекат, верхние горизонты морены Западной Тувы (Шорыгина, 1960) сопоставляются с Майминским оледенением Горного Алтая (р. Q_{III}). В районе хребта Западный Танну-Ола этим же автором указывается на сочленение верхнечетвертичных террас с моренами последнего оледенения.

Реликты базальтовых покровов (р. Q_{III}) встречены на поверхности размыта террасы высотой 20м (в левом борту долины р. Терештеш, исток р. Маганатты). Лавы тонкой коркой покрывают обломки метаморфизованных песчаников и сланцев ишкянской свиты. Максимальная мощность лавовых покровов не превышает 6-8см. Вблизи остатков лавовых потоков имеются грифующие источники. По положению эфузивных покровов, залегающих на поверхности II террасы, можно предположить, что активизация вулканической деятельности происходила в эпоху формирования нижнего комплекса надпойменных террас (Q_{III}).

Верхнечетвертичные - современные отложения (Q_{III-IV})

Среди описываемых отложений выделяются делювиально-проливальные, проливиальные, элювиальные и элювиально-делювиальные образования. Делювиально-проливиальные отложения встречаются в видах обширных шлейфов у подножий хребтов и конусов выноса в Чазадырской, Каргинской, Саглинской впадинах, а также в урочищах и сухих логах. Образование их связано с процессами длительного выветривания и выноса обломочного материала водными потоками и процессами плоскостного смысла. Отложения представлены серыми и коричневато-серыми суглинками и супесями с примесью дресвы, щебенки и гравийно-галечного материала. Мощность отложений меняется от нескольких метров до нескольких десятков метров, достигая максимума в долинах широких урочищ. На участках преобладания проливиального материала намечается грубая сортировка и слоистость. Проливиальные отложения образуют конуса выноса рек, ручьев, временных потоков и сложены теми же суглинками и супесями с примесью гравийно-галечного материала с грубой сортировкой и слоистостью. Мощность их не превышает первых десятков метров.

Элювиальные отложения приурочены к выравненным поверхностям и водоразделам хребтов. Состав их разнообразен, варьируя от покровных суглинков до крупноглыбовой щебенки. Мощность отложений достигает нескольких метров. Элювиально-делювиальные отложения, состоящие из выветрелых глыб, щебня и супеси, развиты на склонах хребтов. Мощность их колеблется от десятков сантиметров до первых метров. Формирование описываемых отложений происходит в длительный промежуток времени и продолжается сейчас. В некоторых случаях эти образования синхронны террасам среднего уровня (Q_{III}).

Современные отложения (Q_{IV})

К современным отложениям отнесены русловые галечники, слагающие пойму и I надпойменную террасу рек и ручьев, а также озерные суглинки и глины района оз. Ак-Хол. Современный аллювий в разрезе представлен однородным песчано-гравийно-галечным материалом. Высота уступа террасы достигает 4-5м. Мощность аллювия колеблется в пределах первых десятков метров. Озерные отложения сложены засоленными суглинками и глинами с примесью мелкой щебенки и дресвы. Мощность их незначительна (возможно до десятка метров). Возраст отложений I надпойменной террасы определяется находками ис-

копаемых костей животных за пределами района. В 1962 г. А.Н. Павловым (КГУ) в долине р. Баянкол в галечниках I террасы обнаружены остатки костей алтайского марала *Cervus elephas sibiricus* Severtzov, которые характеризуют слой захоронения как нижний голоцен. Формирование аллювиальных и озерных отложений продолжается в настоящее время.

ИНТРУЗИВНЫЕ ОБРАЗОВАНИЯ

Интузивные образования в исследованном районе занимают около 25% площади. Среди них выделяется шесть разновозрастных комплексов: ранне-среднекембрийский, раннепалеозойский, ордовикский, раннедевонский, девонский и субвулканические тела девонского возраста.

Ранне-среднекембрийский (актовракский) комплекс (σCm_{1-2}). Интузивные образования актовракского комплекса представлены небольшими линейно-вытянутыми кругопадающими серпентинитовыми телами, приуроченными к длительно развивающимся зонам разломов древнего заложения. Серпентиниты по составу разделяются на антигоритовые и хризотил-антигоритовые. Рудные минералы представлены скоплениями мелких зерен магнетита и хромшипинелидов. В ряду случаев в эндоконтакте, интузивных тел отмечаются процессы лиственизации, с которыми связано образование тальк-кальцит (брейнерит) серпентиновых пород, содержащих фуксит. Контактовых воздействий серпентинитов на вмещающие породы не наблюдается.

Химический состав серпентинитов всех тел отличается однообразием, содержания окислов варьирует в следующих пределах (%): SiO_2 - 37,46-39,45; TiO_2 - сл.-0,04; Al_2O_3 - 0,78-1,20; Fe_2O_3 - 2,86-8,83; FeO - 1,57-3,77; CaO - 0,82-1,93; MgO - 32,75-35,66; п.п.л. - 13,0-16,20.

К интузиям серпентинитов приурочены небольшие по масштабам и содержанию проявления хромита и асбеста. Гипербазиты актовракского комплекса повсеместно прорывают нижнекембрийские отложения, а за пределами района также и среднекембрийские толщи, галька гипербазитов встречается в конгломератах аласугской свиты верхнего кембрия. Этим и определяется их ранне-среднекембрийский возраст комплекса.

Ранне палеозойский (таниусольский) комплекс ($\tau b Rz_1$) распространен в юго-западной части района, среди отложений нижнекембрийского возраста. К нему относит-

ся Мунгунтайгинский массив, представляющий крупный батолит изометрической формы, и несколько небольших интрузии-сателлитов, расположенных по его периферии. Интрузии чрезвычайно сходны по петрографическому составу и, скорее всего, представляют единый сложнопостроенный массив с характерными дискордантными секущими контактами. Поверхность кровли батолита очень неровная, гребневидная. Об этом свидетельствует наличие многочисленных ксенолитов вмещающих пород внутри массива. Площадь батолита в пределах района составляет около 300 km^2 . В его строении наиболее широким распространением пользуются гранодиориты, кварцевые диориты и плагиограниты. Граниты занимают подчиненное положение. Роль основных пород в строении интрузии незначительна. Формирование интрузии осуществлялось в несколько этапов. Наиболее ранними являются основные (габбро, габбро-диабазы) и в меньшей мере средние породы (меланократовые диориты), которые представляются возможным объединить в первую фазу становления интузивных масс. Указанные разновидности встречаются в эндоконтактах гранитоидных массивов, иногда в виде ксенолитов внутри plutона.

В габбро главными породообразующими минералами являются соссюритизированный плагиоклаз (лабрадор или реже основной андезин) и уралитизированный моноклинный пироксен. Изредка встречаются таблички коричневато-бурового биотита. Содержание темноцветных минералов достигает 50%. Актинолит, эпидот, клиноцизит, кальцит, серцицит, скаполит - присутствуют в переменных количествах, акцессории: циркон, апатит, титаномагнетит. Структура пород габбровая. Породы в значительной степени подвержены зеленокаменным изменениям. Габбро-диабазы по минералогическому составу аналогичны габбро. Для них характерны офитовые и габбро-офитовые структуры.

Диориты обладают четкой гипидиоморфно-зарнистой структурой и сложены диопсидом, зеленой роговой обманкой, коричневым биотитом, кислым андезином, реже ксеноморфным кварцем (1-3%). Преобладают меланократовые разновидности с содержанием цветных минералов до 40%. Аксессорные: циркон, апатит, магнетит.

Породы второй, главной интузивной фазы весьма разнообразны. Среди них выделяются граниты, плагиограниты, гранодиориты, кварцевые диориты и диориты. Переходы между ними постепенные.

Гранитоиды сложены биотитом, мусковитом, зеленой роговой обманкой, плагиоклазом, калишпатом и кварцем. Среднее содержание темноцветных минералов составляет 10-15%. Вторичные: серцицит, хлорит, эпидот, клиноцизит. Аксессории: апатит, циркон, рудный минерал, изредка - турмалин. Структура пород гипидиоморфно-зарнистая.

Широко распространены порфировидные структуры.

Лейкократовые калиевые граниты, аплитовидные граниты и гранит-порфиры последней (третьей) фазы интрузии, залегают в виде маломощных даек, плитообразных тел и штоков, секущих все вышеупомянутые породы. Для них характерно избыточное содержание калишпата, всегда преобладающего над плагиоклазом, а также кварца. Из темноцветных содержится биотит. Вторичные: пеллит, серицит, хлорит, эпидот. Аксессории: циркон, рудный минерал, иногда апатит. Структура гранитов гранулитовая, реже гранитовая и микролегматитовая.

В экзоконтакте массива наблюдается зона мигматитов, представляющая собой полосу измененных пород, инъюцированных гнейсограницами. Ширина зон мигматизации не превышает первых сотен метров. Вглубь вмещающих пород мигматиты сменяются нормальными контактовыми роговиками, среди которых выделяются: эпидот-актинолитовые, биотитовые, мусковито-биотитовые, биотито-роговообманковые, плагиоклазово-роговообманковые, кордиерито-биотитовые, кордиерито-биотито-гиперстеновые. Основные эфузивы вблизи интрузии нередко превращены в эпидотовые амфиболиты, известняки мраморизованы. В целом ширина контактово-измененных пород достигает 4-6 км.

Протолочки из гранитоидов второй фазы содержат магнетит, гематит, ильменит, циркон, монацит, апатит, сфен, гранат, флюорит, барит, анатаз, пирит, галенит, киноварь и медную зелень. В протолочках из розовых калиевых гранитов третьей фазы обнаружены: арсенопирит, пирит, барит, рутил, циркон.

Возраст интрузий по геологическим данным укладывается в промежуток между нижним (возможно даже средним) и верхним кембрием. Интрузии прорывают и метаморфизуют нерастворенные нижнекембрийские отложения чингинской свиты и совершенно не изменяют верхнекембрийские сланцы сютхольской свиты. При определении абсолютного возраста гранитоидов Мунгунтайгинского массива получены цифры 420 (по биотиту) и 280 (заловая проба) млн. лет. Целый ряд совокупных признаков сближает рассматриваемые интрузии с петротипом танинуульского комплекса Тувы и с габбро-плагиогранитным интрузивным комплексом Горного Алтая.

Ордовикский (шапшальский) комплекс^x (т. о.) распространен на северо-западе района, в пределах хребта Узун-Хем-Тайга.

К шапшальскому комплексу отнесены Терештешский массив с апо-

^{x/} В последнее время ордовикский возраст Шапшальского массива, по имени которого назван комплекс, подвергается сомнению.

физами у южного контакта и две небольшие интрузии, располагающиеся на стыке Каргинской и Талайлык-Барлыкской тектонических зон. Площадь интрузивных тел колеблется от 0,2 до 50 км². По форме залегания интрузии представляют либо конкордантные линейно-вытянутые тела, либо неправильной формы с полого- и крутоизогнутыми секущими контактами (Терештешский массив). В районе хребта Узун-Хем-Тайга интрузии сложены катаклазированными гранитоидами и порфиробластическими гнейсо-гранитами. Контакты интрузивных массивов повсеместно расплывчатые вследствие широкого развития зон фельдшпатизации.

Катаклазированные гранитоиды состоят из порфировидных кластических зерен олигоклаза, табличек и розеток желтовато-бурового биотита, призмочек зеленой роговой обманки, циркона и апатита. Встречаются редкие кластические зерна решетчатого микроклина. Эти минералы цементируются гранобластовым кварцевым агрегатом. Структура катаклазическая. По соотношению кластического материала первичные породы скорее всего соответствовали плагиогранитам и гранодиоритам.

Порфиробластические гнейсо-граниты обладают ясно выраженной гнейсовидной или очковой текстурой и отличаются от катаклазированных наличием крупных порфиробластов микроклина (до 3-4 см в поперечнике). Наблюдаются постепенные переходы от порфиробластических гнейсо-гранитов к фельдшпатизированным биотито- и мусковито-кварцевым роговикам. Фельдшпатизированные зоны окаймляются метаморфическими породами различного состава, среди которых преобладают биотито-кварцевые и биотито-амфиболовые сланцы (иногда гранатосодержащие). Тесное переплетение зон контактового и локально-го динамометаморфизма создает определенные трудности в разделении пород, возникших в результате указанных процессов.

Терештешский массив сложен мусковитовыми, биотитовыми, двуслядяными и роговообманковыми гранитами. Переходы между ними постепенные. Граниты представлены: мусковитом, биотитом, роговой обманкой, олигоклазом, калишпатом, кварцем. Содержание цветных минералов составляет обычно 1-3%. Вторичные: хлорит, актинолит, эпидот, серицит, пеллит. Аксессорные: циркон, рутил, сфен, турмалин, рудный минерал. Структуры гранитов равномернозернистые, микролегматитовые и гранитовые.

Контактовые воздействия гранитов на вмещающие породы выражены в образовании биотитовых, биотито-эпидотовых, эпидотовых и актинолитовых роговиков. Вдоль юго-западного контакта Терештешского массива развита широкая зона мигматитов, представленных квар-

цаво-биотито-плагиоклазовыми сланцами, инъецированными гнейсовидным гранитоидным материалом.

В протолочках синорогенных интрузий хребта Узун-Хем-Тайга содержится циркон, апатит, барит, флюорит, ильменит, пирит и кассiterит. Общими акцессорными элементами для интрузий всего комплекса, по данным спектрального анализа являются: Cu, Pb, Zn, Mn, Ni, Co, Mo, Sn, Be, Y, Yb. Кроме того в интрузиях хребта Узун-Хем-Тайга фиксируется - V, Zr, Ga, Ti, Ba. За пределами исследованной площади в районе Шаштальского хребта гранитоиды рассматриваемого комплекса сопровождаются редкометальными легматитами.

Ордовикский возраст интрузий шаштальского комплекса обосновывается тем, что они прорывают условно верхнекембрийские флишоидные отложения, а в районе хребта Узун-Хем-Тайга породы фельдшпатизированных зон метаморфизуются раннедевонскими гранитами (Кааттайгинский массив). По данным определений абсолютного возраста калий-argonовым методом для интрузий хр. Узун-Хем-Тайга получены цифры 420 и 374 млн. лет.

Раннедевонский (с ютхольским) комплекс (τ_D) включает шесть гранитных массивов: Чингекатский, Балыктынский, Кааттайгинский, Колошский, Шарошский и Пахашский. Размещаясь в подавляющем большинстве в нижнепалеозойских отложениях, plutоны цепочкой окаймляют здесь структуру Тувинского межгорного прогиба. Массивы представляют собой либо обширные тела неправильной формы (Чингекатский), либо трещинные интрузии (Балыктынский, Кааттайгинский, Шарошский, Пахашский), либо небольшие штоки (Колошский). Обычно, обладая ясными секущими взаимоотношениями со структурами вмещающих толщ, большинство из них сочетают элементы конкордантности и гармоничности с направлением крупных тектонических зон данного участка. Интрузивные массивы в пределах изученной территории характеризуются следующими размерами: Чингекатский - 260; Балыктынский - 50; Кааттайгинский - 15; Колошский - 4,5; Шарошский - 5,5; Пахашский - 7,5 км².

Контактовые воздействия гранитов на вмещающие породы проявлены отчетливо, но ширина зоны ороговиковования обычно незначительна (первые сотни метров). На восточном контакте Балыктыгской интрузии, а также вокруг Чингекатского массива зоны роговиков достигают нескольких километров. Петрографический состав гранитов разных массивов исключительно сходен. Среди них наибольшее широким распространением пользуются биотитовые и лейкократовые аляскитовые граниты (в Чингекатском и Кааттайгинском массивах встречаются двуслюдянные и биотит-роговообманковые разности). Структура гранитов

равномернозернистая, реже порфировидная (Балыктыгский), микролег-метитовая и гранитовая. Минералогический состав гранитов: зеленый и бурый биотит, мусковит, реже зеленая роговая обманка, олигоклаз, политизированный калишпат (часто в закономерном срастании с кварцем) и кварц. Вторичные: серцит, хлорит, актинолит, эпидот, кальцит, лимонит.

Большинство гранитов относятся к группе богатых и умеренно богатых щелочами пород, как правило обогащенных магнием и железом и пересыщенных кремнеземом и глиноземом. По составу породы отвечают нормальным гранатам, реже приближаясь к гранодиоритам.

Автометасоматические изменения гранитов (Балыктыгский массив) выражены в образовании грейзенов. Грейзены по составу турмалино-мусковито-кварцевые, топазо-мусковито-кварцевые и сидерито-кварцевые, сопровождающиеся кассiterитовой минерализацией. Роговики контактовых зон подразделяются на биотитовые, биотит-серцитовые, биотит-эпидотовые, эпидотовые и актинолитовые. Вдоль восточного контакта Кааттайгинского массива ороговикованию подвергались фельдшпатизированные разгнейсованные породы шаштальского комплекса. В результате термальных воздействий интрузий на фельдшпатизированные породы вместо биотита образуются гломерокристаллические скопления роговой обманки, а породы лишаются ясно выраженной гнейсовидности.

По данным спектрального анализа в раннедевонских гранитах присутствуют следующие акцессорные элементы: Cu, Pb, Mn, Co, Ni, W, Mo, Sn, Be, Ag, Y, Yb, Zr, Ti, V. Особенно характерно присутствие в них редких металлов и серебра. В протолочках гранитов содержится: ильменит, гематит, лимонит, гранат, циркон, рутил, анатаз, флюорит. В Чингекатском массиве, кроме того, встречаются: шеелит, магнетит, барит, галенит, апатит, молибденит, киноварь, хромит, базовисмутит; в Балыктыгском - монацит, торит, турмалин, касситерит, а в Пахашском - сфен.

Раннедевонский возраст ютхольского комплекса определяется тем, что интрузии прорывают верхнекембрийские, ордовикские и сибирские отложения. За пределами района они рвут также дистоверно нижнедевонские образования, а галька подобных гранитов найдена в базальтовых конгломератах эйфельских отложений (Александров и др., 1962). Определение абсолютного возраста гранитов ютхольского комплекса аргоновым методом (Н.И. Полевая, 1961г.) дают цифры 277-290 млн. лет. Для Чингекатского массива получена цифра 245 млн. лет.

Девонский (торгальский) комплекс (τ_D) объединяет многочисленные малые интрузии, развитые вблизи

крупных тектонических зон. Особенно охотно они локализуются в узлах пересечения разнородных разломов. Характерными признаками для интрузий торгальского комплекса являются сравнительно небольшие размеры, специфичная морфология интрузивных тел и пестрый петрографический состав. Интрузивные массивы наблюдаются в форме силлов, лакколитов, штокообразных, дайкообразных и неправильных тел. Интрузии сложены следующими породами: габбро-диабазами, диабазами, долеритами, габбро-диоритами, диоритами, монцонитами (левый борт долины р. Карги и верховье р. Маганатты), гранодиоритами и гранитами (истоки рек Чумашен – Чумашенский массив и Барлык – Пограничный) щелочными гранитами (горы Тайлалыга).

Габбро, габбро-диабазы и долериты состоят из основного плагиоклаза (лабрадора или основного андезина), бесцветного моноклинного пироксена и зеленой роговой обманки. Реже встречается оливин и бурый биотит. Вторичные минералы: серицит, хлорит, цоизит, эпидот, актинолит, скаполит, кальцит, серпентин. Аксессории: магнетит, ильменит, циркон, апатит. Структуры габбровые, габбро-офитовые, офитовые и долеритовые. Темноцветных минералов в габроидах содержится в среднем 35–40%. В краевых частях габбровых интрузий встречаются меланократовые оторочки.

Диориты и габбро-диориты встречаются либо в виде самостоятельных залежей, либо слагают центральные части габроидных plutонов. Они состоят преимущественно из плагиоклаза (андезина) и роговой обманки. Кроме того, иногда присутствует кварц, биотит и авгит. Содержание темноцветных минералов в породах составляет 15–25%, в габбро-диоритах несколько больше. Структура гипидиоморфозернистая и габбро-офитовая.

Гранодиориты и граниты слагают самостоятельные интрузивные массивы (Чумашенский, Пограничный). Они состоят из кварца, плагиоклаза (олигоклаза, реже андезина), калишпата (переменное количество), биотита и роговой обманки. Структуры гипидиоморфозернистые и гранитовые.

Субщелочные граниты встречаются лишь на водоразделе рек Карги-Талейлыг, в зоне сопряжения Эльдышемского и Хемчечайлыкского разломов. Это небольшие (от 0,1 до 0,7 км²) трещинные, либо дайкообразные тела, размещающиеся в зонах дробления совместно с габроидными и диоритовыми интрузиями. Иногда последние рвутся субщелочными гранитами. Не исключена возможность, что при дальнейшем исследовании эти интрузии могут быть выделены в самостоятельный более молодой интрузивный комплекс.

Среди субщелочных интрузий выделяются монцониты, биотитовые

и рибекитовые граниты и щелочные аляскиты. Монцониты, состоящие из зонального андезина, калишпата, зеленоватого моноклинного пироксена и эгирина-авгита, обладают монцонитовой структурой. В щелочных гранитах, состоящих из решетчатого микроклина и микроклин-перитита (около 70%), биотита и рибекита, а также незначительного количества плагиоклаза, структура гипидиоморфозернистая и гранофирированная. Эндогенная минерализация с субщелочными интрузиями не установлена.

Контактовые воздействия различных интрузий торгальского комплекса на вмещающие породы проявлены в разной степени. Трещинные тела гранитоидов (Чумашенский, Пограничный) сопровождаются сравнительно маломощными (до первых сотен метров) ореолами биотит-кварцевых и серицит-кварцевых роговиков. На контактах массивов основного состава отмечается только частичная перекристаллизация вмещающих пород (первые метры). Интрузии торгальского комплекса в районе контролируютрудопроявления железа, меди, цинка, никеля и редких земель. Гидротермальные жилы, пространственно тесно связанные с Пограничной интрузией гранитоидов, содержат полиметаллическую и редкометальную минерализацию.

Возраст интрузивных образований торгальского комплекса определяется следующими данными. Интрузии прорывают в районе девонские образования и перекрываются с размывом нижнеюрскими отложениями. За пределами района подобные интрузии прорывают и верхнедевонские отложения. Определение абсолютного возраста интрузий торгальского комплекса из района пос. Сав. Торгальк аргоновым методом (Т.Н. Иванова, 1961г.) показывают 339 и 353 млн. лет. Эти данные позволяют установить возраст интрузий как девонский, при этом предполагается длительность формирования интрузий на протяжении всего девонского периода.

Девонские субвулканические тела кварцевых порфиров (кл D) распространены в бассейнах рек Пертай, Чазадыр и Гогерим, в районе гор Боро-Шивээн-Ула и на правобережье р. Карги. Эти интрузии пространственно приурочены к площадям развития кислых эфузивов девонского возраста. По форме залегания среди них можно выделить штоки, дайки, пластовые интрузии, трещинные и послойные инъекции, характеризующиеся самыми различными размерами: от сотен метров до 22 км в длину (Пертайская интрузия) и от нескольких десятков метров до первых километров в поперечнике. Интрузии сложены однообразными кварцевыми порфирами, переходящими в центральных частях к гранит-порфирам. Крупные фенокристаллы в породах представлены кварцем, калишпатом,

а также альбитом, альбит-олигоклазом и хлоритизированными темно-цветными минералами. Кварц-полевошпатовая основная масса обладает микрофельзитовой, фельзитовой, микропойкилитовой структурой. В гранит-порфирах структура основной массы микролегматитовая и микрогранитовая. Для пород характерны массивные и флюидальные текстуры. В ряде случаев (например, в бассейне р. Гогерим) выделение субвулканических фаций среди кислых эфузивов сходного состава бывает весьма затруднительным.

Контактовые изменения вокруг интрузий проявлены слабо и выражены обычно в перекристаллизации вмещающих пород. Ширина ореола контактных изменений не превышает 100-200м.

С субвулканическими интрузиями девонского возраста устанавливается пространственная связь рудопроявлений ртути, цинка, свинца, меди, редких земель и молибдена.

Возраст субвулканических интрузий определяется на основании секущих контактов большинства из них с нижне- и среднедевонскими отложениями. Несомненно, что большая часть подобных интрузий является корневой системой и подводящими каналами, которые обеспечивали поступление материала из магматического очага и контролировали эфузивную деятельность в течение всего девонского времени.

ТЕКТОНИКА

Площадь листа М-46-ХIII находится в зоне сопряжения Саяно-Шапшальской и Тувинской структурно-фацальных зон, сочленяющихся по Каргинскому (Шапшальному) и Талайлыг-Барлыкскому глубинным разломам. В процессе геологического развития по этим разломам осуществлялись неоднократные вертикальные перемещения, определившие существенное различие палеозойских разрезов. По характеру дислокаций и различной степени их напряженности, наличию региональных перерывов и угловых несогласий, а также приуроченности эфузивной и интрузивной деятельности в Саяно-Шапшальной зоне можно выделить пять, а в Тувинской - три структурных яруса или этажа (рис.2).

Структуры Саяно-Шапшальной зоны

Саяно-Шапшальная структурно-фацальная зона представляет собой сложнопостроенный антиклиниорий с внутренней блоковой структурой. Ориентировка складчатых структур в этой зоне подчинена направлениям Каргинского и Талайлыг-Барлыкского разломов. Характеристики внутренних структур приводятся позже.

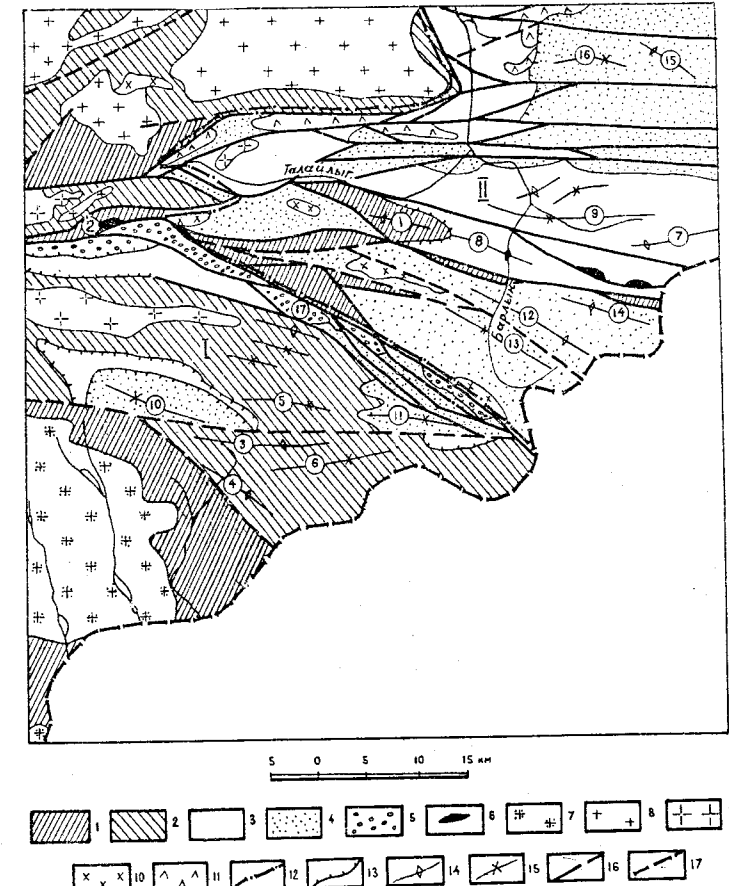


Рис. 2. Тектоническая схема

I - первый структурный ярус; 2 - второй структурный ярус (только для Саяно-Шапшальной структурно-фацальной зоны); 3 - третий структурный ярус; 4 - четвертый структурный ярус; 5 - пятый структурный ярус; 6 - интрузии актоворакского комплекса; 7 - интрузии шапшальского комплекса; 8 - интрузии торгальского комплекса; 9 - интрузии сютхольского комплекса; 10 - интрузии горгальского комплекса; II - субвулканические тела; I2 - граница структурно-фацальных зон; I3 - границы структурных ярусов; I4 - оси антиклинальных структур; I5 - оси синклинальных структур; I6 - разломы установленные и предполагаемые; I7 - государственная граница.

Римскими цифрами на схеме обозначены структурно-фацальные зоны: I - Саяно-Шапшальная; II - Тувинская; цифрами в кругах обозначены локальные структуры - антиклинали: 1 - Чайлыкская, 2 - Оюхемская, 3 - Хайдандабанская, 4 - Агадырская, 7 - Шинская, 8 - Тумзейская, I2 - Хемчечайлыкская, I5 - Гогеримская; синклинали: 5 - Перевальная, 6 - Харагобийская, 9 - Шин-Арзатинская, 10 - Мугурская, II - Безымянная, I3 - Пыштым-Бельдырская, I4 - Эльдыхемская, I6 - Тирштайнская и I7 - Каргинская мульда

Первый структурный ярус образован породами нижнекембрийского возраста. Это наиболее сложная и напряженная складчатость района. Здесь преобладают узкие линейные складки с острыми замками, реже встречаются лежачие (Оюхемская антиклиналь) и изоклинальные (в районе хребта Мунгун-Тайга) складки. Ширина складок обычно не превышает двух-трех километров, а их длина редко достигает 10 км.

Второй структурный ярус сложен верхнекембрийскими флишоидными отложениями. Здесь широким развитием пользуются свалочно-вытянутые структуры, осложненные мелкой складчатостью и разрывными нарушениями. Встречаются складки более простые и близкие к изоклинальным. Примером структур второго яруса являются Перевальная, Харагобийская синклиналь и Халаиндобанская антиклиналь (рис.2). Шариры Харагобийской синклинали и Халаиндобанской антиклинали испытывают плавное погружение на восток, углы падения на их крыльях изменяются от 40 до 80°. С севера к антиклинали по Мугурскому взбросу примыкает Перевальная синклиналь, ширина которой около 3 км, а ее длине судить трудно, поскольку она местами перекрывается ледниковыми отложениями.

Третий структурный ярус сложен ордовикскими и силурийскими отложениями и подразделяется на два подъяруса. К нижнему подъярусу относятся ордовикские вулканогенно-осадочные образования, а к верхнему – терригенные отложения силура. В строении третьего яруса господствуют открытые складки округлой формы с пологими падениями (30–40°) их крыльев. Примером структур нижнего подъяруса может служить Безымянная, а верхнего – Мугураксинская синклинали. Первая отличается от Мугурской синклинали более интенсивным развитием на ее крыльях вторичной складчатости и разрывных нарушений. Ширина Мугурской синклинали более 4 км, а длина – около 35 км.

Четвертый структурный ярус сложен девонскими отложениями в пределах Саяно-Шапшальской зоны, этот ярус перекрывают структуры третьего и второго. Он подразделяется на два подъяруса. Нижний подъярус представлен нижнедевонскими терригенно-вулканогенными образованиями кендейской свиты, а верхний – среднедевонскими красноцветными терригенными отложениями саглинской свиты. Перед отложениями последней нижнедевонские образования в пределах Саяно-Шапшальской зоны, по-видимому, были нацело размыты. Наличие такого размыва подтверждается тем, что образования кендейской свиты в этой зоне сохранились лишь частично в гравеновых структурах, а в Мугурской синклинали отложения саглинской

свиты с размывом лежат непосредственно на верхнесилурийских породах хондергейской свиты. По времени этому размыву отвечает внедрение раннедевонских интрузий сютхольского и отчасти торгальского комплексов. Отложения нижнего подъяруса по сравнению с верхним более интенсивнее дислоцированы и подвержены вторичным изменениям (окварцеванию, хлоритизации и эпидотизации).

Пятый структурный ярус представленный нижнеюрскими породами, с перерывом перекрывает отложения третьего и четвертого ярусов. Нижнеюрские породы слагают в районе удлиненную асимметричную мульду (Каргинскую) осложненную мелкой складчатостью и дизьюнктивными нарушениями. Северное крыло мульды почти целиком срезано дизьюнктивными нарушениями Каргинской зоны разломов, по которым с севера на нижнеюрские отложения надвинуты нижнекембрийские и среднедевонские породы. В южном крыле преобладают пологие падения (от 25 до 35°).

Структуры Тувинской зоны

Тувинская структурно-фацальная зона подразделяется на две подзоны: Чазадыр-Арзайтинскую и Пюштых-Бельдырскую, сопрягающиеся по Эльды-Хемской зоне разломов.

Чазадыр-Арзайтинская подзона в пределах района представляет крайнюю юго-западную часть Западно-Таннуольского синклиниория. В ее строении принимают участие ордовикские, силурийские, девонские и отчасти нижнекембрийские отложения. Последние обнажаются лишь в зоне сопряжения упомянутых подзон.

Пюштых-Бельдырская подзона представляет собой сложную синклинальную структуру. Центральная ее часть сложена нерасчлененными отложениями илеморовской и уукской свит животского яруса, а по периферии (с севера и юга) обнажаются породы саглинской свиты эйфельского яруса. Эпизодически в тектонических клиньях встречаются нижнекембрийские образования верхней подсвиты чингинской свиты. Ордовикские, силурийские и нижнедевонские отложения здесь не встречаются. В Чазадыр-Арзайтинской подзоне преобладает широтная ориентировка пликативных структур, совпадающая с направлениями Чазадыр-Карасугской и Саглы-Ончинской зон разломов, а в Пюштых-Бельдырской – северо-западная, подчиненная простиранию Каргинской зоны разломов.

Первый структурный ярус в Тувинской зоне является общим с Саяно-Шапшальской зоной. Для него характерны сложные линейные складки с острыми замками и крутыми падениями

крыльев. Типичной структурой первого яруса, представленного отложениями нижнекембрийского возраста, является Чайлалыкская антиклиналь, южное крыло которой срезано Эльдыхемским разломом, а северное осложнено серией мелких вторичных складок и дисьюнктивных нарушений. Ширина Чайлалыкской антиклинали – не более 2, а длина около 6км.

Третий структурный ярус представлен ордовикскими и силурийскими отложениями, несогласно залегающими на размытой поверхности нижнекембрийских образований. Для этого яруса характерны структуры, обусловленные, по-видимому, блоковыми движениями фундамента. Наибольшим распространением пользуются асимметричные удлиненные складки с крутыми углами падения крыльев. Реже встречаются складки, весьма близкие к брахиоструктурам, а также структуры переходного типа. Как правило, все упомянутые структуры осложнены дисьюнктивными нарушениями, флексурными перегибами и более мелкой вторичной складчатостью. Примером асимметричных удлиненных складок могут служить Шин-Арзайтинская синклиналь и Шинская антиклиналь. Шарнир синклиналии плавно погружается, а антиклинали – вздымаются в восточном направлении. Асимметричность Шин-Арзайтинской синклиналии обусловлена относительно пологим залеганием слоев в северном крыле ($50-70^{\circ}$) и более крутым, местами с опрокидыванием на юг, в южном крыле. В Шинской антиклиналии северное крыло антиклиналии целиком запрокинуто на юг. В южном крыле наблюдаются падения слоев под углом $40-45^{\circ}$, а в северном – $60-70^{\circ}$, иногда и более. Длина оси Шин-Арзайтинской синклиналии около 25км, а размах её крыльев изменяется от 2 до 4км.

Фрагменты типичных брахиоструктур сохранились в долине нижнего течения р. Талайлыг, в междуречьях Тумзэ-Улуг – Кожей и Арзайты – Оначи. В куполовидных сводах этих складок преобладают пологие залегания слоев (от 20 до 30°), постепенно увеличивающиеся (до 80°) к окраинам структур. Тумзейская антиклиналь представляет переходный или промежуточный тип структур, в которой сохранились одновременно элементы удлиненных асимметричных и брахиоформных структур. В сводовой части это складки преобладают пологие ($20-40^{\circ}$) падения, а на крыльях углы падения увеличиваются до $60-70^{\circ}$. Вблизи ограничивающих структур дисьюнктивных нарушений нередко слои залегают вертикально. Ширина складки около 4км, а длина – более 10км.

Четвертый структурный ярус в пределах Чазадыр-Арзайтинской подзоны, выполненный девонскими отложениями, с размывом ложится на силурийские породы второго яруса, а в Пюштых-Бельдырской подзоне с выпадением нижнедевонских образований несог-

ласно залегает, по-видимому, на размытой поверхности первого яруса. Между нижне- (кендейская свита) и среднедевонскими (саглинская свита) образованиями установлено локальное несогласие. Все эти обстоятельства позволяют третий структурный ярус Тувинской зоны по аналогии с Саяно-Шапшальской подразделить на два подъяруса. Нижний подъярус включает нижнедевонские, а верхний – среднедевонские отложения.

В пределах Чазадыр-Арзайтинской подзоны девонские отложения слагают западную оконечность крупной Чурегтагской брахисинклиналии, выделенной В.В. Волковым (1959). Эта структура в общих чертах пространственно совпадает с осевой частью хребта Западного Танну-Ола; шарнир её ундулируя, плавно погружается на восток-северо-восток. В пределах района упомянутая структура осложнена мелкими брахиоскладками. Наиболее представительными из них являются Тяратайгинская брахисинклиналь и Гогеримская брахиантеклиналь, сопрягающиеся друг с другом по дисьюнктивному нарушению (рис.2). Тяратайгинская брахисинклиналь имеет овально-изометричную форму, ось которой немного вытянута в север-северо-западном направлении. Северо-восточное её крыло срезано дисьюнктивными нарушениями, в результате чего она в плане приобретает асимметричный вид. Падения слоев в этой структуре измеряются от 30° на периферии до 10° в своде. Гогеримская брахиантеклиналь представляет изометричную куполообразную структуру, ограниченную с трех сторон дисьюнктивными нарушениями. Вблизи последних развиты мелкие флексурные складки. В центре брахисинклиналии преобладают пологие ($20-30^{\circ}$) залегания, а вблизи разломов они увеличиваются до $60-70^{\circ}$. Размеры брахиоструктур в поперечнике не превышают 7км.

В Пюштых-Бельдырской подзоне развиты лишь среднедевонские отложения верхнего подъяруса. Среди структур верхнего подъяруса преобладают сравнительно узкие складки с острыми замками и крутыми ($60-80^{\circ}$) углами падения их крыльев. Примером типичных структур верхнего подъяруса являются Эльдыхемская и Пюштыхбельдырская синклиналии и Хемчечейлыкская антиклиналь.

Эльдыхемская синклиналь размежевается на левобережье одноименной реки и ограничена с севера и юга дисьюнктивными нарушениями. Северное крыло синклиналии местами запрокинуто на юг, а южное – осложнено вторичной складчатостью. Шарнир синклиналии плавно погружается на восток. Ширина синклиналии от 2 до 4км, а её длина – около 13км.

Хемчечейлыкская антиклиналь располагается к югу от Эльдыхемской сопрягаясь с последней по одному из дисьюнктивных нарушений

Эльдыхемской зоны разломов, а на юге ограничена Хемчечайлыкским разломом. Шарнир антиклинали резко погружается на запад. Осевая плоскость этой структуры слегка наклонена на юг, в результате в южном крыле наблюдаются запрокинутые залегания слоев. В северном крыле преобладают крутые падения – 50–70°. Ширина Хемчечайлыкской антиклинали колеблется от 2 до 4 км, а длина не превышает 8 км.

Пюштыхбельдырская синклиналь также с севера и юга ограничена разломами. В результате срезания значительной части северного крыла, синклиналь в плане приобретает подчеркнуто асимметричный облик и осевая линия структуры почти вплотную прижимается к Хемчечайлыкскому разлому. В южном крыле породы круто падают на север под углом от 40 до 70°.

Дизъюнктивные нарушения

Среди дизъюнктивных структур, широко развитых в районе, выделяются долгоживущие региональные разломы (в том числе и глубинного заложения) и более мелкие разрывные нарушения. К крупнейшим дизъюнктивным структурам глубинного заложения принадлежат Чазадыр-Карасугская, Каргинская (Шапшальская) и Талайлыг-Барлыкская зоны разломов, разграничающие в районе Саяно-Шапшальскую и Тувинскую структурно-фациальные зоны. Заложение этих разломов произошло, по-видимому, в нижнем кембрии. Разнонаправленные движения Саяно-Шапшальского и Тувинского блоков устанавливаются также в среднем и верхнем кембрии, ордовике, силуре и девоне. Новейшие движения блоков по этим разломам нашли свое отражение и в современном рельфе.

К Чазадыр-Карасугской зоне разломов принадлежит дизъюнктивное нарушение широтного простирания, располагающееся в северо-восточной части района (рис.2). Этот дизъюнктив нарушает силурийские и девонские отложения, сопровождаясь интенсивным дроблением, окварцеванием, развитием кварц-карbonатных жил, внедрением интрузий торгальского комплекса и субвуликанических тел. Плоскости смесятелей в Чазадыр-Карасугской зоне наклонены на север и реже на юг под углом 70–80°.

Каргинская или Шапшальская зона в районе представлена серией параллельных разломов северо-западного простирания, сочленяющихся в районе бассейна р. Юк-Хем с разломами Талайлыг-Барлыкской зоны. Большинство из них является надвиговыми или взбросовыми структурами. Плоскость смесятеля крайнего северного нарушения Каргинской зоны разломов полого наклонена (30–45°) на север. В южном направ-

лении крутизна падения плоскости смесятелей других нарушений в этой зоне постепенно возрастает до 80°. Ширина Каргинской зоны достигает 6 км. Она контролируется интрузиями актовракского, сютхольского, торгальского комплексов, кварц-карbonатной минерализацией, а также является контролирующей структурой для рудопроявлений меди, свинца, цинка, железа, вольфрама, молибдена, кобальта, никеля, бора, флюорита, мышьяка и редких земель.

Талайлыг-Барлыкская зона разломов представлена группой дизъюнктивных нарушений северо-восточного простирания, сочленяющихся с разломами Каргинской и Чазадыр-Карасугской зон. В ряде мест поверхности сбрасывателей разломов Талайлыг-Барлыкской зоны испытывают северо-западные падения под углом 60–80°. Отложения Саяно-Шапшальской структурно-формационной зоны по этим разломам обычно слегка надвинуты на образования Тувинской. Амплитуды вертикальных перемещений Тувинского и Саяно-Шапшальского блоков по разломам Талайлыг-Барлыкской и Каргинской зон соизмеримы с мощностью верхнекембрийских отложений (около 8 км). Разломы Талайлыг-Барлыкской зоны сопровождаются обычно неширокой (до 150 м) полосой интенсивного рассланцевания, гидротермального изменения и развитием кварц-карbonатных жил. Описываемая зона контролирует рудопроявления меди, свинца, цинка, железа, никеля, кобальта, ртути, мышьяка, асбеста и редких земель. Ширина Талайлыг-Барлыкской зоны разломов колеблется от 2 до 10 км.

К дизъюнктивным структурам меньшего значения отнесены Эльдыхемская и Саглы-Оначинская. Эти структуры размещаются в Тувинской структурно-фациальной зоне, имеют широтное простирание. Эльдыхемская зона разграничивая Тувинскую структурно-фациальную зону за две подзоны, контролирует не только осадконакопление, но и размещение интрузий актовракского, торгальского комплексов и целого ряда рудопроявлений. Амплитуды вертикальных перемещений отдельных блоков подзон соизмеримы с мощностями ордовикских, силурийских и нижнедевонских отложений вместе взятых. Ширина Эльдыхемской зоны разломов около 4 км.

Саглы-Оначинская зона (ширина 8 км) представляет собой серию параллельных нарушений, которые на всем протяжении по простиранию сопровождаются полосой (50–80 м) брекчирования и развития кварц-карbonатной минерализации. Большинство разломов этой зоны представляют сбросы, плоскости сбрасывателей которых круто (70–80°) наклонены на юг. Саглы-Оначинская зона контролирует размещение девонских субвуликанических интрузий и рудопроявлений меди, железа, ртути, свинца, цинка, кобальта, никеля, молибдена, редких земель,

Прочие мелкие разрывные нарушения играют менее значительную роль в пространственном размещении осадков внутри структурно-фацальных зон и являются по сути оперяющими нарушениями вышеуказанных зон разломов глубинного заложения. Наиболее типичными дислокативными структурами этого типа являются Хемчечайлыкский, Балыктыкский и Мугурский разломы оперяющие в пределах района Каргинскую зону.

Хемчечайлыкский разлом размещается внутри Пюштык-Бельдырской подзоны и представляет серию параллельных дислокативных нарушений, отстоящих друг от друга 0,2-1,0 км. Разломы сопровождаются интенсивным рассланцеванием, окварцеванием, эпидотизацией и широким развитием кварц-карбонатных жил. Амплитуды смещения отдельных блоков по этим разломам измеряются несколькими сотнями метров, причем их сбрасыватели круто (70 - 80°) наклонены на север-северо-восток. К Хемчечайлыкскому разлому приурочен Чумашенский гранодиоритовый массив и целый ряд мелких трещинных интрузий Торгальского комплекса. Этот разлом контролирует размещение рудопроявлений редких земель, меди, свинца, молибдена, ртути, железа, олова, титана, никеля и кобальта.

Балыктыкский и Мугурский разломы представляют собой взбросы, плоскости сбрасывателей которых круто (50 - 70°) наклонены на юг-юго-запад. Амплитуды вертикальных перемещений крыльев этих дислокативных структур исчариваются первыми сотнями метров. Разломы по простирианию сопровождаются зоной (шириной до 50 м) дробления, окварцевания с развитием кварц-карбонатных жил и дайкообразных интрузий Торгальского комплекса. Балыктыкский разлом является контролирующей структурой для рудопроявлений олова, редких земель, флюорита, меди, железа, свинца и цинка.

История геологического развития

В нижнекембрийское время на территории района происходит повсеместное накопление мощных осадочных и эфузивных толщ кремнисто-сланцевой и диабазово-спилитовой формаций. В первой половине среднего кембра в результате проявления начальных фаз каледонского тектогенеза завершается консолидация района в целом. К этому же времени, по-видимому, относится завершение формирования структур первого яруса, заложение основных дислокативных структур (Каргинской, Талайлык-Барлыкской и Эльдыхэмской) и внедрение ультраосновных интрузий акторакского комплекса. При заложении упомянутых разломов, территория района оказалась разбитой на отдельные тек-

тонические блоки или глыбы, вертикальное перемещение которых в дальнейшей истории геологического развития оказали существенное влияние на осадконакопление и конфигурацию пликативных структур более поздних отложений.

В пределах Саяно-Шапшальской структурно-фацальной зоны, начиная с верхнего кембра, формируется прогиб с накоплением мощных нефтяных песчано-сланцевых толщ флишидного типа (сютхольская, ишканская и аласугская свиты). Тувинский блок в верхнекембрийское время являлся областью размыва. С начальными этапами формирования верхнекембрийского прогиба, по-видимому, следует связывать внедрение раннепалеозойских гранитоидных интрузий Таннуольского комплекса.

Начиная с ордовика, в Туве формируется ордовикско-силурский прогиб-область устойчивого длительного погружения. В это время в районе в погружение вовлекается лишь Чазадыр-Арзайтинская подзона, заполняющаяся в ордовике отложениями типа моласс и морскими континентальными отложениями в силуре. Пюштык-Бельдырская подзона Тувинской структурно-фацальной зоны является, по-видимому, областью размыва совместно со значительной частью Саяно-Шапшальской структурно-фацальной зоны. В последней ордовикские (мугураксинская и каргинская свиты) и силурские (верхняя подсвита чергакской свиты и хондергейская свита) отложения формировались с некоторыми перерывами, по-видимому, лишь в Каргинской зоне разломов и к югу в непосредственной близости от нее. Эта часть территории в то время представляла, скорее всего залив ордовикско-силурского моря, широко распространенного на территории МНР. Тувинское море тогда от Монгольского отделялось видимо Пюштык-Бельдырским поднятием. С начальными этапами заложения ордовикско-силурского прогиба связано завершение формирования структур второго яруса Саяно-Шапшальской структурно-фацальной зоны, локальное проявление эфузивной деятельности и, по-видимому, внедрение гранодиоритовых интрузий шапшальского комплекса.

Перерыв на границе верхнего силура и нижнего девона соответствует времени заложения в Туве межгорной впадины. В пределах Саяно-Шапшальской структурно-фацальной зоны континентальные девонские отложения образуются в остаточных изолированных прогибах. Формирование Тувинской межгорной впадины сопровождается интенсивным проявлением глыбовой тектоники и сменой морских условий осадконакопления на лагунно-континентальные. В результате тектонического обновления по образовавшимся трещинам изливаются лавы, образующие покровы базальтов и андезитов. Вдоль разломов, видимо, местами располагались отдельные вулканы центрального типа, с которы-

ми связаны излияния кислых эфузивов и пирокластические образования. К началу заложения межгорной впадины завершается формирование структур третьего яруса Саяно-Шапшальской и (второго яруса) Тувинской структурно-фацальных зон. С начальными фазами формирования девонской межгорной впадины связано внедрение гранитов сютхольского комплекса и отчасти малых трещинных интрузий торгайлыкского комплекса. Последние продолжали внедряться и в последующие этапы развития межгорной впадины включительно до живетского времени.

В предюрский период территория района подверглась вторичной нивелировке. Нижнеурские отложения известны лишь в Каргинской зоне разломов, наиболее мобильном участке Саяно-Шапшальской зоны, где они представлены грубообломочными фациями отложений русел рек и временных потоков.

В кайнозойское время данный район испытал размытие и пенепленизацию и к периоду проявления альпийского тектогенеза представлял, по-видимому, умеренно приподнятую и выравненную сушу.

ГЕОМОРФОЛОГИЯ

Рельеф района горно-долинный, ступенчатый, с большими колебаниями высотных отметок долин (от 1500 до 2500м) и водоразделов (от 2000 до 4000м). Анализ рельефа и коррелятных отложений района позволяет выделить четыре цикловых геоморфологические структуры и по ним устанавливать основные этапы развития рельефа.

Реликты поверхности пeneplena характеризуются в нерасчлененном виде. Они представляют собой слабо-волнистые и пологонаклонные ($0-8^{\circ}$) поверхности выравнивания, венчающие отдельные вершины и участки водоразделов на высоте 2300-4000м. Внешний облик поверхностей выравнивания монотонный, с единичными в рельефе увалами, относительные превышения которых редко превышают 50м. Эти поверхности осложнены двумя-четырьмя и более ступенями нагорных террас и скалистых останцов гольцовой денудации, с относительными превышениями до 10-15м, солифлюкционными террасами до 1-3м высотой, "каменными многоугольниками", которые на уровне выше 3200м местами перекрыты ледниками современного оледенения (гора Мунгун-Тайга). В размещении реликтов пeneplena в районе наблюдается некоторая закономерность, обусловленная особенностями геологического строения, проявлениями новейшей тектоники и денудационными процессами. Всего выделяется три зоны: первая размещается на водораздельных пространствах к северу от до-

лин рек Талайлыг и Шин, вторая расположена в междуречье Шин-Тумээ-Карги, а третья прослеживается на водораздельных участках южнее Мугурского разлома (см.рис.2). Описываемые поверхности выравнивания сохранились в зонах положительных структур, испытавших в новейшее время интенсивные воздымания; в промежутках между ними лежат Каргинская и Шинская впадины соответственно мезозойского и кайнозойского заложения.

Формы глубоковрезанных висячих долин расположены на высоком геоморфологическом уровне относительно базиса эрозии. При горообразовании они возникли за счет разрушения древних поверхностей выравнивания; характеризуются абсолютными высотами от 2000 до 3500м, глубиной вреза от 100 до 1000м, крутизной склонов до $10-20^{\circ}$. Закономерности пространственного размещения рассматриваемых форм аналогичны предыдущим; встречаются в тех же зонах, только развиты значительно шире. Исключение составляет лишь западная оконечность Каргинской впадины, где в междуречье рек Балыктык и Мугур в изолированном тектоническом блоке на высоте 2100-2500м сохранились от размыва реликты висячих долин. Ложе висячих долин, каров и трогов сохранились в местах, куда не дошла регressive эрозия. Так, в северной части горы Мунгун-Тайга сохранились от размыва срезанные тектоническими сбросами и ледниковой эскарацией отдельные фрагменты висячих долин р.Хара-Харагай и её притоков, а в районе хребтов Боро-Шивэни и Кызыл-Хая, на многие сотни метров выше уровня Каргинской впадины и тальвегов рек Куведава, Тумээ и Барлык, сохранились висячие истоки и устья долин. Это свидетельствует о том, что прежде здесь господствовала речная сеть субширотного простирания. Впоследствии, в новую стадию активизации неоструктурных движений, часть водораздельного пространства вместе с истоками и устьями долин были опущены по Каргинскому разлому. Одновременно с этим поднимавшийся орографический барьер северо-восточного простирания, проходивший через долину р. Куведава и хребет Пиче-Кожай, был впоследствии перепилён реками. О последнем свидетельствуют обратные взаимоотношения уклонов тальвегов древних висячих и ложа современных долин рек Куведава, верховья р. Балык и др. На южном склоне хребта Кызыл-Хая в истоках рек Балыктыг, Аккарасу сохранились от размыва висячие кары и троги. Висячие долины расположены целиком в поясе гольцов, пологонаклонные поверхности которых осложнены множеством ступеней нагорных и солифлюкционных террас. Здесь характерно значительное развитие линейной денудации, отчего останцевыми формами оказываются не только отдельные скалы, но и гребни.

Формирование висячих долин района началось по аналогии с востоком Тувы (Гросвальд, 1965), вероятнее всего, в конце верхнего плиоцена и продолжалось в течение нижнечетвертичного времени.

Границы их с формами предыдущей генерации постепенные, а с последующей - резкие.

Слаботеррасированные склоны с глубокими долинами возникли за счет разрушения более ранних геоморфологических структур в этап новой активизации тектонических движений. Они занимают сейчас средний геоморфологический уровень относительно базиса эрозии. По особенностям строения и возраста среди них выделяются крутые слаботеррасированные склоны гор и мелкосопочника; пологонаклонные террасированные склоны оснований гор и мелкосопочника, с прислоненными ледниками и аллювиальными отложениями.

Крутые слаботеррасированные склоны гор развиты во всех горных долинах к северу от р. Карги и в горах Мунгул-Тайга, на высоте 1700-3800м, относительные превышения форм 200-1500м, крутизна их 20-45°, местами почти отвесные. Склоны долин крутые, прямолинейные, конусообразные; изъеденные карами гребни хребтов узкие, зуччатые, местами встречаются карлинги, например, южнее хребта Пиче-Кожей. Наиболее приподнятые участки гор характеризуются центробежным орографическим планом (хребты Тайгазы, Кызыл-Хая, Берт-Чарык и др.). Зонам же относительного спускания соответствуют сходящиеся пучки хребтов (среднее течение р. Барлык). Здесь развиты две-четыре ступени каров, трогов, останцы обтекания ледниковых масс, древние конусы выноса (реки Аккарасу, Кольчуктух, Эльды-Хем). Примерный возраст рассматриваемых форм - конец нижнечетвертичного и весь среднечетвертичный период.

Пологонаклонные террасированные склоны оснований гор и мелкосопочника с прислоненными ледниками и аллювиальными отложениями развиты в пределах Каргинской и Шинской владин по их периферии на высоте от 1600 до 2700м. Относительные превышения 50-300м. Древние моренные свалы, мощностью до нескольких десятков метров, развиты в урочище Бууре, в верховьях рек Балыктык и Мугур. В урочище Ыгылак на небольшой глубине при бурении скважины вскрыт среднечетвертичный аллювий (Быков, 1964).

Возраст этих форм, вероятно, среднечетвертичный, ибо мелкосопочники и коррелятивные формы периферии горных сооружений образовались за счет разрушения ложа висячих долин, реликты которых выявлены в долине р. Балыктык. Верхний возрастной рубеж ограничивается перекрывающими их верхнечетвертичными террасами.

Предгорные формы рельефа образованы конусами выноса, комплексом террас, ледниками отложениями и базальтами.

Конусы выноса образуют предгорный шлейф, который перекрывает более ранние образования. Характеризуется он абсолютными высотами от 1500 до 2700м, относительными превышениями 3-50м, уклонами поверхностей от 0 до 12°. Поверхности шлейфа ровные, местами осложнены ледниками моренами (урочище Бууре, верховья рек Балыктык и Мугур, где высота свежих моренных свалов, перекрывающих морены среднечетвертичного оледенения достигает 5-20м), тектоническими уступами, амплитудой до 50 и более метров (урочище Устуу-Дэл) или "тонущими" среди рыхлых осадков мелкосопочных гряд (урочище Хара-Гоби).

Псевдотеррасы сложены цоколем коренных пород и различными типами отложений, от делювиальных до ледниковых, высоты их весьма изменчивы (от 3 до 50м). В долинах рек Талайлык, Балыктык, Аккарасу и Толайты наблюдаются конечные моренные гряды высотой 10-20м и прислоненные к бортам долин морены на уровне устий висячих боковых каров в 60-80м выше уровней тальвегов долин.

Третья терраса развита главным образом в долине р. Карги. Высота её весьма изменчива (3-50м), ширина площадки достигает 1-2км, фациальные взаимоотношения аллювия с формами шлейфа сложные. К ней прислонена вторая терраса.

Вторая терраса, как и третья, цокольная в суженных отрезках долин и аккумулятивная - в расширенных участках и развита в основном в долине р. Карги; высота террасы 3-10м, ширина площадки до 10 и более метров. Возраст - верхнечетвертичный.

Пойма выделена в долине р. Карги и частично в долине р. Барлык ниже устья р. Орту-Пахаш. Пойма характеризуется четковидным строением, с чередованием расширений (до 100-300 и более метров) и сужений (до 50м) долин, сменой выпуклых и вогнутых продольных профилей. Развита пойма на высоте от 1500 до 2000м, относительные превышения достигают 4м, уклон тальвега 2-10°. Спрямления, резкие изгибы и бифуркации русла свидетельствуют об активном развитии современных тектонических движений.

ПОЛЕЗНЫЕ ИСКОПАЕМЫЕ

ГОРЮЧИЕ ИСКОПАЕМЫЕ

Твердые горючие ископаемые

Каменный уголь

Выходы каменного угля известны на левобережье р. Каргы среди нижнеирских отложений (68, 75, 162). В средней части разрезов куведаванской и кадыррукской свит в прослоях углистых аргиллитов содержатся линзы угля размером до 0,25x1м. Угли высокозольные, низкого качества. Промышленной ценности не представляют вследствие ничтожно малых размеров.

МЕТАЛЛИЧЕСКИЕ ИСКОПАЕМЫЕ

Черные металлы

Магнетито-гематитовые руды

Железорудная минерализация пространственно и генетически связана с интрузиями торгальского комплекса. Большая часть рудопроявлений располагается близ Каргинской зоны разломов (75, 99, 109, 110, 114, 128, 163). Часть железорудных проявлений сопровождается минерализацией цветных и редких металлов (38, 157, 164).

Каргинское рудопроявление (II4) открыто А.Л. Додиным и описано им как контактово-метасоматическое, связанное с габброидами торгальского комплекса. Участок с оруднением располагается в 24км северо-восточнее пос. Мугур-Аксы и сложен осадочными породами саглинской свиты, прорванными габбровой интрузией. На участке имеется два рудных тела, приуроченных к зонам дробления массива габбро. Западное рудное тело, расположившееся внутри штока габбро, имеет протяженность 100-120м при мощности 3-5м. Руда представлена магнетитовой брекчией. Восточное тело (в 500м от первого) протягивается вдоль зоны дробления по контакту габбро и песчаников. Длина 100м, мощность 7-8м. Основная часть тела сложена магнетитом и мартитом. По данным химического анализа руд (Иванова и др., 1956) содержание железа валового колеблется от

52,93 до 65,9%; железа окисного - от 75,5 до 86,69 и железа залегающего - от 0 до 7,58%. Отмечается присутствие окисла марганца до 0,08; ванадия до 0,21; титана до 0,16; серы от 0 до 0,14 и фосфора от 0 до 0,27%. Незначительные масштабы оруднения и присутствия вредных примесей не позволяют считать рудопроявление промышленно ценным.

Мергенбулакское проявление (I63) располагается на границе с МНР. Оруднение приурочено к зоне (40х400м) дробления и гидротермального изменения, проходящей по экзоконтакту гранодиоритов Пограничной интрузии и нерасчлененных отложений живетского яруса. Брекчированные гидротермально-измененные породы, скементированные лимонитом и гидрогематитом, содержат порошкообразные охры желтого, бурого и ярко-оранжевого цвета. По данным химического анализа бороздовых проб содержание окисного железа составляет 12,8%. Отмечаются повышенные концентрации цветных металлов (меди, цинка, мышьяка, никеля). Судя по комплексу сохранившихся элементов в зоне окисления, на глубине предполагается наличие оруднения железа, полиметаллов и редких земель. Участок заслуживает проведения поисково-оценочных работ.

Садакское рудопроявление (II0) находится в верховье сухого лога между перевалом Садак и высотой 3100. Оруднение представлено линзами гематита, залегающими в песчаниках и алевролитах нерасчлененных отложений илеморовской и юксской свит на контакте гранодиоритов Чумашенской интрузии. Всего выявлено восемь линз размером от 2x7 до 20x50м, прослеженных по элювиальным россыпям. Линзы сложены светло-серой сплошной или брекчированной гематитовой рудой. Содержание железа в рудах по данным химического анализа (по штучным пробам) варьирует от 51,01 до 71,04%. Вредные примеси отсутствуют. Рудопроявление не имеет практического значения из-за незначительных масштабов оруднения.

Теректыкское рудопроявление (38) располагается в истоках правых притоков среднего течения р. Теректы. Оруднение приурочено к контакту отложений кендайской и саглинской свит, осложненному дизъюнктивом субширотного простирания. В алевролитах саглинской свиты вблизи экзоконтакта интрузии кварцевых порфиров выявлены три пластообразных залежи массивного гематита. Рудные тела имеют следующие параметры: 2x60; 0,75x20 и 0,6x20м. По данным химического анализа двух бороздовых проб (Глезденев, и др., 1957) содержание железа составляет 50,28 и 59,22%. Спектральным анализом фиксируются незначительные концентрации цветных, редких элементов (менее 0,01%) и повышенное содержание

редких земель (до 0,1%). Вследствие малых размеров рудопроявление практического значения не имеет.

Коче-Даваайское проявление (I57) расположено юго-западнее перевала Коче-Даваа. Участок рудопроявления сложен отложениями саглинской свиты, прорванными интрузией габбро-диоритов. Тектоническая брекчия на южном контакте интрузии вмешает пять линзовидных тел (до 2,5x20м) мартитовой и магнетит-мартитовой руды. По данным химического анализа бороздовой пробы (Хуков и др., 1964ф), содержание в руде окиси железа 51,4%; окиси железа 1,07 и двуокиси титана 0,3%. Во вмещающих алевролитах и обогренных габбро развита малахит-азурит-лимонитовая минерализация. Содержание меди в рудах меняется от 0,059 до 3,8%. Спектральными анализами штуфных проб устанавливаются повышенные концентрации цветных и редких элементов. Рудопроявление в настоящее время не получилоальной оценки. На участке необходимо проведение дальнейших оценочных работ.

Другие железорудные проявления характеризуются мелкими масштабами оруденения и не имеют самостоятельного значения.

Титан

Титановые минералы в виде бедной вкрапленности ильменита и лейкоксена (I32) обнаружены в зоне дробления в верховых р. Барлык, в мелких скалолитовых жилах и прожилках, секущих нерасчлененные отложения илеморовской и уукской свит (Бельский и др., 1961ф). Единичные знаки в шлихах минералов титана в виде ильменита, рутила, анатаза, брукита встречаются во многих пробах.

Хром

Хромит как акцессорная примесь постоянно присутствует в интрузивных телах серпентинитов актюбакского комплекса, изредка, как например, в верховье р. Чайлалык (I26), концентрируясь в виде небольших гнезд магнетит-хромитового состава размером до 3,5-4,0x10м. Содержание хромита распределется неравномерно и меняется от 2-5 по периферии до 50-60% в центре гнезда. Оруденение гистеромагматическое. Практического значения не представляет из-за малых размеров. Хромит встречается также в шлихах от 1 до 50 знаков преимущественно на восточной и южной половине площади листа. По правобережью р. Каргы содержание хромита в шлихах достигает 0,08г.

По данным шлихового опробования, значительным распространени-

ем на исследованной территории пользуются окислы марганца и ванадинит. Содержание их в шлихах меняется от единичных знаков до весовых. Особенно часто эти минералы концентрируются на южных склонах гор Саралыг-Ой-Тайга и на северо-востоке района.

Цветные металлы

Медь

Все рудопроявления с содержанием меди около 1%, по данным спектрального анализа проб можно условно подразделить на три группы:

Медная минерализация в кварцевых, карбонатно-кварцевых и карбонатных жилах (II, 31, 50, 55 и др.), представленная бедной вкрапленностью халькопирита, реже борнита и халькоцина и сопровождающаяся примазками, корочками малахита и азурита. Размеры жильных образований всегда незначительные (0,01-2x1-30м). Содержание меди меняется в широких пределах и составляет в среднем 0,01-0,6%.

Медная минерализация, связанная с зонами дробления и гидротермальным изменением пород (5, 12, 17, 27, 33, 37, 39, 69 и др.). Одно из самых значительных по масштабу рудопроявлений этой группы, расположаящееся в верховье р. Теректы (33), приурочено к линзе (60x80м) обогренных известняков кендейской свиты, размещющейся в эзоконтакте Пертайской интрузии. Оруденение представлено халькопиритом, борнитом и вторичными минералами меди в виде вкрапленности и гнезд. По данным химического анализа в рудных штуфах (Глазденев и др., 1957ф) меди содержится от 2,43 до 5,48; кобальта от 0,005 до 0,022%; спектральными анализами устанавливается присутствие Mn, Mo, La, Ti, V, Zr, Pb, Ag, Bi, Ga, As, Zn, Ge, Y, Yb и Sr с содержанием от следов до 1%.

Другие рудопроявления меди характеризуются набольшими параметрами оруденения и невысокими содержаниями меди, колеблющимися в пределах от 0,06 до 1%. Помимо меди спектральными анализами устанавливаются повышенные концентрации Ni, Co, Pb, Zn, As, Mn, Bi, V, Ti, Zr, Sn, Mo, Tr. Содержание указанных элементов обычно составляет тысячные, редко сотые доли процента.

Медная минерализация в интрузивных и контактово-измененных породах, обычно представленная убогой сульфидной вкрапленностью с налетами гипергенных минералов (6, 7, 13, 18, 23, 34, 38 и др.). Масштабы оруденения иногда достигают значительных размеров (13), но содержание меди в рудах низкое, не превышающее 0,1-0,2%.

Кроме собственно медных проявлений имеется ряд рудных точек,

в которых, наряду с медью, отмечаются довольно высокие (0,1-1%) содержания цинка (II2), никеля (52,66), кобальта (38,43,54,57,64, I08), ртути (47,124) и висмута (4).

Обзор всех рудопроявлений меди на изученной территории свидетельствует о незначительных размерах рудных тел и невысоких содержаниях ведущих компонентов, вследствие этого все они признаны бесперспективными.

В шлихах медь наиболее распространена в центральной и восточной части района. Медные минералы представлены халькопиритом, халькозином, блеклыми рудами, малахитом и азуритом. Концентрация медных минералов в шлихах не превышает 25 знаков, чаще же встречаются единичные знаки.

Свинец

Рудопроявления свинца пользуются ограниченным распространением и тяготеют к зонам разрывных дислокаций. По данным спектрального анализа штуфных проб в некоторых гидротермально-измененных породах без видимой минерализации отмечаются повышенные (0,1-1%) содержания свинца (4I,134). Бедная вкрапленность галенита отмечается на Хурен-Тайгинском рудопроявлении (I58). Рудопроявление приурочено к пологопадающей тектонической зоне, по которой габбровая интрузия торгальского комплекса надвинута на конгломерато-песчано-сланцевые отложения куведаванской свиты нижнеюрского возраста. Повышенные содержания свинца (до 0,5%) отмечаются по данным спектрального анализа штуфных проб непосредственно в зоне надвига, а также в массиве габбро (до 0,1%) и в нижнеюрских углистых сланцах. Углистые сланцы мощностью 10-15 см в одной точке содержат галенит до 521 знака в шлиховой пробе. В окрестности этой точки на площади 100x200 м галенит встречается в единичных знаках, в шлиховых пробах (10-15 знаков). По другим зонам видимой минерализации не обнаружено. По мнению И.М. Селезнева (1957) изучавшего характер оруденения, рудопроявление имеет осадочный генезис. По нашему мнению рудопроявление гидротермальное, контролирующееся некоторыми разломами Каргинской зоны.

Низкие содержания свинца и малые размеры рудных тел в отмеченных рудопроявлениях позволяют считать их бесперспективными.

Минералы свинца в шлихах, представленные галенитом, церуситом, пироморфитом и вульфенитом, пользуются широким распространением к северу от р. Карги. Содержание свинцовых минералов по левым притокам и сухим логам р. Карги, а также в бассейнах рек Тумэ, Эль-

ды-Хем, Хэмчечейлык и в некоторых других местах колеблется от единичных знаков до 200-300 знаков. Наибольшие концентрации отмеченных минералов наблюдаются вблизи известных рудопроявлений полиметаллов.

Цинк

Крупные проявления цинка приурочены к участкам сульфидной минерализации, контролирующихся Каргинской зоной разломов. По данным М.А. Жукова (1964) сульфидная минерализация на левобережье р. Карги приурочена к крупным зонам дробления, брекчирования и гидротермального изменения пород, располагающихся, как правило, на контактах разновозрастных геологических образований. Параметры участков с оруденением довольно крупные. Например, в верхнем течении р. Калбак-Тытыг-Хем (I02) сульфидная минерализация прожилково-вкрашенного и вкрашенного типа приурочена к зоне брекчирования (100x1200 м) на контакте гранитоидной интрузии с имеющими её песчаниками и алевролитами нерасчлененных отложений илеморовской и уукской свит.

В верхнем течении р. Кургаг-Тытыг-Хем (I05) сульфидная минерализация приурочена к зоне дробления, проходящей по контакту нерасчлененных отложений илеморовской и уукской свит с кремнисто-карбонатно-слюдистыми сланцами верхней подсвиты чингинской свиты. Рудные тела локализуются среди кремнисто-карбонатно-слюдистых сланцев в пластообразной брекчии (500x2400 м) и в гидротермально-измененных породах (4 тела размером 30-80x300 м.).

Аналогичная зона с сульфидным оруденением (160x800 м) располагается на хребте Цаган-Шибэту (I07). Минералогические составы сульфидных руд в отмеченных проявлениях близки между собой. Главным минералом является пирит, слагающий часто сплошные и вкрашенные руды, и вкрашенный сфалерит. Второстепенные: халькопирит, халькозин, галенит. Редко встречаются: ковелин, молибденит, базовисмутит и редкоземельный карбонат. Содержание цинка в рудных зонах по данным спектрального анализа штуфных проб, составляет 0,3-0,6%, свинца - сотые доли процента, меди, кобальта и никеля - тысячные доли процента. М.А. Жуковым рудопроявления признаны бесперспективными. По нашему мнению, оценка рудопроявлений произведена без достаточной аргументации на базе полуколичественного анализа штуфных проб. По непонятным причинам забракованы рудопроявления и геохимические ореолы (I38) с достаточно высокими содержаниями цинка (до 1%). С нашей точки зрения на указанных рудопроявлениях

необходимо продолжить поисковые и ревизионные работы с широким применением геофизических методов.

Остальные проявления цинка (84, I33, I46, I55) в пределах Каргинской и Хемчечейлыкской зон разломов, характеризуются точечным оруднением и вряд ли имеют практическое значение.

В шлихах сфалерит часто встречается на южных склонах хребтов Цаган-Шибту и Боро-Шивэни-Ула, а также в бассейнах рек Тумзэ и Эльды-Хэм. Единичные знаки его присутствуют в шлиховых пробах, отобранных в бассейне р. Талайлыг. Небольшие концентрации сфалерита (до 10-20-40 знаков) отмечаются по руслу р. Калбак-Тытыг-Хэм. В единичных шлихах совместно со сфалеритом встречаются зерна смитсонита.

Полиметаллические

Одно из перспективных рудопроявлений полиметаллов располагается в истоках р. Хемчечейлык на границе с МНР (I52). Оруднение приурочено к полосе девонских серых окристых песчаников, содержащих тонкую вкрапленность халькопирита, халькозина, корольки самородной меди, налеты малахита и азурита. Оруднелая зона при средней мощности 1,5м прослеживается по делювальным свалам на 150м. Химическим анализом штуковой пробы из рудной зоны определено (в %): меди - 1,48; свинца - 1,14; цинка - 0,35; мышьяка - 0,11; кобальта - 0,032. Генезис оруднения гидротермальный. Рудопроявление является перспективным по размерам и содержанию полезных компонентов.

Мелкие полиметаллические проявления известны также в правом борту долины р. Ончы (56) и в левом борту долины р. Эльды-Хэм (I40). Практической ценности они не представляют вследствие малых размеров рудных тел.

В среднем течении р. Калбак-Тытыг-Хэм полиметаллическое оруднение (I06) сопровождается повышенными концентрациями никеля. Рудопроявление приурочено к мощной зоне дробления пород животского возраста. М.А. Жуковым (1964ф) здесь выделяются два морфологических типа гидротермальных рудных тел: 1) пласти и линзы размером 40-95x300-1100м кремнисто-карбонатных пород и 2) пластообразные брекчированные породы с сульфидной минерализацией (два тела 140x40м и 50x150м).

Руды вкрапленные, прожилковые и прожилково-вкрапленные. Сульфиды представлены: пиритом, пирротином, халькопиритом и пентландитом. По данным спектральных и химических анализов (Жуков и др.,

1964ф) содержание элементов (в %) составляет: цинка - 0,6-1,0; свинца - 0,06-0,6; меди - до 0,01 и кобальта - тысячные доли. По данным спектрального анализа штуковых проб (Селезнев и др., 1957ф) концентрация меди, никеля и кобальта достигает 0,1%. Перспективы проявления окончательно не выяснены.

В правом борту долины р. Хемчечейлык располагается комплексное рудопроявление цветных и редких металлов (I48), обнаружено по ореолам рассеяния пироморфита (Бельский и др., 1961ф). Минерализация приурочена к периферическим частям зоны дробления (мощностью 10-15м), размещающейся в алевролитах и песчаниках нерасчлененных отложений илекоровской и уюкской свит. Всего выявлено три минерализованных участка размером от 0,15x4 до 0,8x6м. Из рудных минералов обнаружены пироморфит, вулканит и вкрапленные сульфиды меди. По данным химического анализа бороздовой пробы содержание (в %) составляет: цинка - 0,2; меди - 0,06; свинца - 0,05. Спектральным анализом определено содержание германия - 0,1%. В тяжелой фракции шлиха спектральный анализ показывает высокие содержания молибдена и мышьяка.

Никель

Никелевая минерализация приурочена преимущественно к мелким интрузивным телам гипербазитов актовракского комплекса, реже она встречается в габброидных телах таргаликского комплекса, жильных образованиях и гидротермально-измененных породах.

На южном склоне горы Узун-Хэм-Тайга никелевое рудопроявление (77) располагается непосредственно вблизи массива серпентинитов (30-60x400м), вытянутого вдоль крупного разлома среди нижнекембрийских отложений. На продолжении тела серпентинитов выявлены карбонатно-тальково-кварцевые породы типа лиственитов (Иванова и др., 1956ф; Широкушкин и др., 1966ф). Никелевая минерализация приурочена к этим породам. Присутствие никелевых минералов отмечается также в сидеритовых жилах. Рудные тела представлены жилами и линзами мощностью от 0,5 до 7-10м, располагающимися в зоне разлома. Сближаясь, рудные тела образуют зону размером 40x200м. Минералы никеля представлены аннабергитом, никелином, гарсдорфитом. По данным спектрального анализа бороздовых и штуковых проб содержание никеля в рудах колеблется от 0,1 до более 1, марганца - до 1, бария - до 1, свинца - до 0,06, кобальта - до 0,03, цинка - до 0,3, меди - до 1%.

Проявление относится к группе сульфидно-арсенидных никелевых

месторождений и является их окисленной частью. К настоящему времени перспективы этого оруденения окончательно не выяснены. Помимо никеля в серпентинитах отмечается хромитовая и асбестовая минерализация. Содержание хрома, по данным спектрального анализа, составляет 0,6%. Другие никелевые проявления (78, 96, I41, I42, I44) в виду их малых размеров не представляют никакой практической ценности.

В шлихах никелевые минералы представлены пентландитом. Максимальные концентрации пентландита (до 100 знаков) отмечаются вблизи сульфидных проявлений (реки Калбак-Тытыг-Хем, Чолдак-Тытыг-Хем и Кургаг-Тытыг-Хем).

Кобальт

На территории района известно два кобальтовых рудопроявления. Оба они располагаются в пределах Талайлыг-Барлыкской зоны разломов.

Т а л а й л ы г с к о е р у д о п р о я в л е н и е (I20) находится на правом берегу р. Талайлыг между нижними течениями рек Чайлалык и Тумзэ. Оруденение приурочено к эфузивно-карbonатным породам чингинской свиты и располагается вблизи контакта их с ордовикскими конгломератами на двух разобщенных участках (Тумзейском и Чайлалыкском). Оруденение прослеживается вдоль зон дробления северо-восточного и северо-западного простириания. Длина этих зон от 10 до 125 м при мощности от нескольких сантиметров до 6,5 м. Рудные тела представлены жилами выполнения, тонкими прожилками и вкрапленностью. Прослеженная длина жил изменяется от 5 до 80 м, мощность их до 3 м. Околорудные изменения выражены в окварцевании и карбонатизации. Рудная минерализация представлена глауконитом, раммельсбергитом, саффлоритом, герсдорфитом, кобальтином, тэннантитом, халькопиритом, борнитом, арсенопиритом, пиритом, марказитом и гипергеними минералами кобальта, никеля, меди. Встречается самородное серебро. Данные химического анализа бороздовых проб определили содержание (в %): кобальта – от следов до 9,01; никеля – от следов до 0,33, меди от 0,001 до 5,65. Среднее содержание меди на Чайлалыкском участке составляет 0,8–0,9%. Спектральным анализом отмечаются повышенные содержания редких земель, мышьяка, висмута, серебра. Рудопроявление, по мнению В.Г. Глазденева (1957), является гидротермальным среднетемпературным, сформировавшимся в условиях малых глубин. Руды в основном кобальтовые. Ориентировочные запасы кобальта в металле, составляющие 22 т, практического значения в данный момент не имеют.

Л е в о т а л а й л ы г с к о е р у д о п р о я в л е н и е (I4) располагается в левом борту долины р. Талайлыг в районе её верхнего развилика. Рудопроявление приурочено к зоне дробления субмеридионального простириания в мусковито-биотито-кварцевых сланцах нижнекембрийского возраста. Рудная зона сложена серией карбонатных жил (до II), заключенных между двумя трещинами северо-восточного и северо-западного простириания. Мощность жил колеблется в пределах 0,1–0,5 м, протяженность 3–20 м. Рудные минералы представлены халькопиритом, пиритом, арсенопиритом, шмальтином и минералом из группы изоморфного ряда герсдорфит–кобальтин (джулукулит?). Содержание кобальта в жилах, по данным химического анализа бороздовых проб, колеблется в пределах 0,1–1,22, меди – 0,9–1,2, никеля – около 0,1%. Рудопроявление из-за недостаточного объема проведенных работ определенной оценки не получило.

Мышьяк

Мышьяковые минералы на территории района встречаются только в шлихах в виде арсенопирита. Содержание в пробах колеблется от 1 до 110 знаков. Наибольшие концентрации арсенопирита отмечаются на южных склонах хребта Цаган-Шибэту и в бассейне правых притоков р. Барлык.

Б л а г о р о д н ы е м е т а л л ы

Золото

Золото встречается в шлихах в виде единичных знаков на всей территории района. В сухом логу на южном склоне горы Саралыг-Ой-Тайга (против пос. Мугур-Аксы) в одной шлиховой пробе золота содержится 63 знака.

Р е д к и е м е т а л л ы

Олово

Группа мелких оловянных рудопроявлений в пределах восточной половины Балыктыкского массива изучена в процессе поисково-разведочных работ в течение 1962–1963 гг. (Быков, 1964). Все рассматриваемые рудопроявления (78, 79, 80, 81, 82, 83, 85, 88) имеют генетическую связь с процессами пневматолитового изменения гранитов, в результате которых происходит образование оловоносных грейзенов и

метасоматитов. По данным Б.А. Быкова тела метасоматитов и грейзенов с мелкой вкрапленностью кассiterита встречаются в виде жил и гнездообразных тел небольших размеров (до 0,65x1,6м). Сближенные жилы образуют рудные зоны с максимальными параметрами 150x380м. Среднее содержание олова в рудных зонах составляет 0,01-0,06%. Близкие к промышленным содержания отмечаются только в некоторых богатых штуфах (от 0,1 до 5,05%). Максимальные концентрации кассiterита в элювиальных россыпях достигают 128-136г/м³ и являются непромышленными.

Русловые галечники верховьев рек Карги и Мугур содержат кассiterит до 100-350 знаков на шлиховую пробу. В связи с небольшими размерами оруденения и низкими содержаниями олова рудопроявления промышленной ценности не представляют.

Тантал и ниобий

В северо-восточной части района, по данным шлихового опробования, оконтурен ореол рассеяния минералов из группы ромбических титано-тантало-ниобатов (51). Содержание минерала в пробах, отобранных из аллювия рек Гогерим, Кольчуктух и Бол. Бугаш колеблется в пределах 1-25 знаков. Максимальная концентрация достигает 0,003г (в близи устья р. Гогерим). Тантало-ниобиевая минерализация в коренном залегании пока не выявлена. На этом участке рекомендуется проведение детальных поисковых работ.

Редкие земли

Видимой редкоземельной минерализации в коренном залегании на территории района не обнаружено. Вынесенные на карту полазных ископаемых проявления редких земель на левобережье р. Колош (36) и в бассейне р. Хемчечайлык (94, 145, 147, 150) выявлены методом штуфного опробования гидротермально-измененных зон и эндоконтактов катрузивных образований торгальского комплекса. Суммарная концентрация редких земель цериевой и иттриевой группы в этих рудопроявлениях, по данным спектрального анализа, достигает более 1% (в среднем составляет около 0,1%). Параметры оруденений не выяснены.

По данным шлихового опробования редкоземельные фосфаты (монасцит, ксенокит) и редкоземельные карбонаты (ряда бастнезит-парит) преимущественно распространены в пределах Каргинской и Хемчечайлыкской зон разломов, обычно концентрируясь вблизи крупных

сульфидных рудопроявлений (до 50-100 знаков на шлих). Указанными структурами контролируются также известные на этих участках проявления цветных металлов. Учитывая благоприятную геологическую обстановку, несколько сходную с районом Карасугского редкометально-железорудного месторождения (в пределах указанных зон наблюдается широкое проявление интрузивного магматизма и развитие рудо-контролирующих разрывных нарушений), целесообразно рекомендовать эти площади для дальнейших поисков руд цветных и редких металлов.

Ртуть

Ртутная минерализация на исследованной территории известна в бортах долины рек Пиче-Таректы (46), Арзайты (63), Барлык (129) и Эльды-Хем (143). Рудопроявления представлены мелкими эпимермальными карбонатными и кварц-карбонатными жилами протяженностью до 15см с убогой вкрапленностью киновари (63, 143). В некоторых случаях примазки киновари встречаются в трещинах дробленых гидротермально-измененных пород и порфиритов (46, 129). Размеры участков оруденения не превышают 3-4м³. Содержание ртути в наиболее богатых участках едва достигает 0,07%. Проявления представляют только минералогический интерес.

Некоторые минералы редких металлов (шеелит, бисмутит, циркон) по данным шлихового опробования, встречаются по всей территории района. Содержание их обычно составляет 1-50, реже до сотен знаков в пробе (шеелит). В некоторых шлиховых пробах по рекам Эльды-Хем, Талайлык, Калбак-Тытыг-Хем и Кувадава встречаются единичные залежи молибденита.

НЕМЕТАЛЛИЧЕСКИЕ ИСКОПАЕМЫЕ

Химическое сырье

Флюорит

Небольшие гнезда флюорита размером до 3см в поперечнике, выявлены в карбонатно-кварцевых и кварцевых жилах, размещающихся либо среди нерасщепленных живетских отложений (хребет Цаган-Шабету, 95), либо в южном эндоконтакте Балыктыгского гранитного массива (между речь Мугур-Карги, 87). Рудопроявления в связи с их малыми размерами практического значения не имеют.

Барит

Баритовая минерализация, приуроченная к Каргинской зоне разлома обнаружена в отложениях саглинской свиты на южном склоне хребта Боро-Шивэни (136). Барит встречается в виде жил мощностью до 0,6-1м и протяженностью 4-5м. Жилы барита из-за небольших размеров не представляют промышленной ценности. В шлиховых пробах барит присутствует повсеместно от единичных знаков до весовых содержаний.

Прочие неметаллические ископаемые

Асбест хризотиловый

Рудопроявления асбеста приурочены к мелким телам серпентинизированных гипербазитов актовракского комплекса, прорывающих нижнекембрийские отложения чингинской свиты. Асбестсодержащие гипербазиты выявлены в правом борту долины р. Барлык (42), на Чингекатском плато (44) и в верховье р. Карги (77). Хризотил-асбест встречается в виде сложно отороченных жил и в виде тонких прожилок. Проявления не имеют практического значения из-за небольших масштабов оруденения.

Борсадержащие минералы (аксинит), по данным шлихового опробования, встречаются от I до IO знаков на северо-востоке района и в бассейне р. Талайлыг.

СТРОИТЕЛЬНЫЕ МАТЕРИАЛЫ

Глинистые породы

Глины кирпичные

Выходы глин и суглинков, частично используемых населением для производства кирпича, обнаруживаются в левом борту р. Мугур на площади 240x260м² (117). Глины низкого качества, обычно содержат значительную примесь щебанки и дресвы (до 30%). Ориентировочные запасы составляют около 100тыс.м³. Более качественные глины известны на труднодоступном участке в левом борту р. Карги (152). Глины слагают линзовидные залежи вдоль Каргинского надвига на протя-

жении 15-20км. Мощность линз достигает 5-8м. Состав их каолинит-монтмориллонитовый. Глины пригодны для производства гончарных и керамических изделий, а также для приготовления глинистого раствора при бурении. Запасы достигают нескольких миллионов м³.

Прочие породы

Гипс

Гипсовые залежи (вероятно гидротермального происхождения) приурочены к полосе дробления и перетирания пород в зоне Каргинского надвига (159, 161). Линзы гипса мощностью 2-5м и протяженностью от нескольких десятков до сотен метров прослеживаются на расстоянии 15-18км. Гипс часто встречается также в виде цементирующей массы в зоне брекчирования пород. Запасы гипса могут оказаться значительными, но вряд ли будут представлять промышленную ценность в виду трудных условий его разработки.

ОБЩАЯ ОЦЕНКА ПЕРСПЕКТИВ РАЙОНА

На территории района в настоящее время известно более 160 рудопроявлений, минерализованных зон и точек. Подавляющее большинство контролируется крупными тектоническими зонами, из которых наиболее перспективными для дальнейших поисков полезных ископаемых являются Каргинская и Хемчечейлыкская.

Каргинская зона разломов вытянута вдоль левого борта долины р. Карги на расстоянии около 60км, при ширине 3-6км. В её пределах широким развитием пользуются гидротермально-измененные породы и участки дробления, а также девонские интрузии различного петрографического состава (от габбро до щелочных гранитов). На этой площади размещается большое количество рудопроявлений черных, цветных и редких металлов. Даже те ограниченные результаты, полученные в процессе проведения поисковых работ (Александров, 1965ф), позволяют утверждать, что Каргинская зона разломов остается перспективной для выявления промышленных концентраций руд цветных и редких металлов. Перспективная площадь составляет около 235км².

Вдоль простирации Хемчечейлыкского разлома выделяется площадь около 120км² для постановки поисков руд цветных и редких металлов. В пределах этой площади также широким распространением пользуются гидротермально-измененные породы, интрузивные и жильные образования, к которым приурочивается большинство известных рудопроявле-

ний. Некоторые рудопроявления к настоящему времени изучены недостаточно и заслуживают дальнейших оценочных работ. Особенно перспективными для открытия новых минерализованных участков являются труднодоступные склоны хребтов в бассейне р. Хемчечайлык, где процессы гидротермальной переработки пород проявлены наиболее интенсивно. Перспективность выделяемой площади подтверждается также данными металлометрического и шлихового опробования, по результатам которых здесь устанавливаются повышенные концентрации цветных и редких металлов.

Третий участок площадью 200км², выделенный для постановки детальных поисковых работ, располагается в бассейне р. Гогерим на северо-востоке района, где шлиховым опробованием впервые выявлены повышенные концентрации тантало-ниобатов и минералов редких земель. Близость выделенной площади к Чазадыр-Карасугской редкометальной зоне несомненно повышает перспективы на обнаружение здесь редкометального оруденения. Поисковые работы на этом участке ввиду плохой обнаженности необходимо проводить с широким применением шлихового и металлометрического опробования.

Оценка перспектив отдельных рудопроявлений приведена при их описании.

ПОДЗЕМНЫЕ ВОДЫ

Район представляет собой гидрогеологический массив с незначительно развитым покровом рыхлых четвертичных отложений. В связи с этим гидрогеологические условия характеризуются широким развитием трещинных вод коры выветривания кристаллических пород, трещинно-карстовых вод и трещинно-жильных вод тектонических зон. Ограниченнное распространение получили поровые и порово-пластовые воды, залягающие в рыхлых четвертичных отложениях.

Мощность трещиноватой зоны выветривания для Западной Тувы, а следовательно обводненность пород, по данным А.В. Зуева рас пространяется на глубину 60-70м, достигая на склонах и в долинах 200-220м. Наиболее водообильными являются карбонатные породы. Дебиты источников достигают 10л/сек. Менее водоносны толщи рассланцеванных песчаников и алевролитов - дебиты источников 0,3-3,5л/сек. Интрузивные породы характеризуются различной водообильностью - от 0,1 до 8л/сек, однако в районе преобладают источники с незначительным дебитом - 0,5-0,6л/сек. Наименьшими являются дебиты источников, питавшихся водами метаморфических сланцев и эфузивов, они измеряются в пределах сотых и десятых долей л/сек. К зонам дроб-

ления и тектоническим швам обычно приурочено повышение водообильности пород.

Формирование подземных вод района происходит в условиях высокогорного сильно расчлененного рельефа с широко развитой зоной многолетней мерзлоты. Питание вод осуществляется главным образом за счет инфильтрации атмосферных осадков и сезонного таяния мерзлой зоны. Горные породы хорошо промыты, в связи с чем в районе развиты ультрапресные и пресные воды. И лишь в единичных случаях встречаются слабосолоноватые воды. Температура источников 0-17°C, но преобразуют весьма холодные источники с температурой 2-4°C. Хорошее качество трещинных вод позволяет широко использовать их для водоснабжения. Поровые и порово-пластовые воды в основном приурочены к рыхлым отложениям конусов выноса предгорных равнин, аллювию рек и моренным образованиям. Притоки воды из них обычно невелики: дебиты источников не превышают 2,0л/сек. В пониженных частях рельефа порово-пластовые и трещинные воды коры выветривания нередко объединяются и образуют единый водоносный горизонт.

Условия водоснабжения района носят неоднородный характер. На большей части площади развит сильно расчлененный рельеф, способствующий выходу многочисленных источников подземных вод. Отличие составляет юго-восточная часть территории, которая характеризуется слабо расчлененным рельефом, затрудняющим выход подземных вод на дневную поверхность. Вследствие этого юго-восток района обводнен чрезвычайно слабо. Заданная здесь гидрогеологическая скважина до глубины 182м воды не встретила.

В пределах района выделено десять водоносных комплексов, связанных с определенными литолого-стратиграфическими группами.

Водоносный комплекс нижнекембрийских эфузивно-осадочных и метаморфических образований характеризуется водами небольшой минерализации - 0,032-0,493г/л, карбонатно-гидрокарбонатным кальциевым или магниево-кальциевым составом. В ряде мест встречаются хлоридно-гидрокарбонатные натриево-кальциевые воды, pH от 6,6 до 8,4, общая жесткость - 0,32-6,8мг-экв. Воды часто обладают углекислой агрессией и изредка дают осадок.

Водоносный комплекс в верхнекембрийских метаморфических породах представлен водами обычно пресными и ультрапресными, в единичных случаях слабо солоноватыми - 0,032-1,088г/л. Отмечается пастрота химического состава. Это гидрокарбонатные, реже хлоридно-гидрокарбонатные магниево-кальциевые, натриево-кальциевые, натриево-

магниевые воды. Значения pH колеблются в широких пределах от 4 до 8,4. Общая жесткость – 0,21–3,35 мг·экв. Воды характеризуются углекислой и выщелачивающей агрессией, иногда содержат осадок.

Водоносный комплекс ордовикских и силурийских терригенных пород, представленных в основном песчаниками и алевролитами, характеризуется незначительной минерализацией вод – 0,04–0,43 г/л. Воды ультрапресные и пресные гидрокарбонатные магниево-кальциевые и кальциево-натриевые, pH составляет – 6,4–7,8. Воды от очень мягких до умеренно жестких с общей жесткостью – 0,4–5,62 мг·экв. Они обладают углекислой выщелачивающей агрессией. Вблизи карбонатных пород агрессивность снижается или исчезает совсем.

Водоносный комплекс ордовикских и силурийских карбонатных пород. Воды комплекса ультрапресные и пресные с минерализацией – 0,17–0,4 г/л, гидрокарбонатно-кальциевого или магниево-кальциевого состава. Реакция близка к нейтральной, pH – 7,0–7,4. Воды умеренно жесткие (общая жесткость – 2,04–5,06 мг·экв), иногда характеризуются слабой углекислой агрессией.

Водоносный комплекс девонских осадочных пород: песчаников, алевролитов и аргиллитов. Воды этого комплекса пресные и ультрапресные с минерализацией – 0,04–0,287 г/л, гидрокарбонатные и хлоридно-гидрокарбонатные с очень пестрым катионным составом: кальциево-натриевым, магниево-кальциевым, кальциевым, реже натриево-магниевым. Величина pH колеблется от 4,4 до 8,4, при этом, наиболее высокие значения pH отмечаются в водах, циркулирующих на левобережье р. Карги в черных сланцах нерасчлененных отложений илеморовской и уукской свит. Они обычно не имеют запаха и осадка, тогда как в других местах воды этого комплекса обладают затхлым, сероводородным или землистым запахом и изредка дают осадок. Общая жесткость – 0,16–3,45 мг·экв.

Водоносный комплекс девонских эфузивов смешанного состава характеризуется малой минерализацией – 0,033–0,194 г/л и гидрокарбонатным кальциево-натриевым или магниево-кальциевым составом, pH = 6,3–7,8. Повышение величины pH фиксируется вблизи отложений, представленных черными сланцами. Общая жесткость – 0,29–3,74 мг·экв. Воды характеризуются углекислой и щелочной агрессией. Иногда дают осадок.

Водоносный комплекс юрских отложений, представленных конгломератами, песчаниками, алевролитами и аргиллитами, характеризуется обычно ультрапресными и пресными водами, в единичных случаях слабосолоноватыми с минерализацией – 0,083–1,1 г/л. Воды комплекса гидрокарбонатные магниево-кальциевые, реже натриевые и кальциевые. Значение pH составляет – 8,0–8,4, но в ряде случаев снижается до 7,1. Общая жесткость – 0,4–3,71 мг·экв. Они обладают углекислой и выщелачивающей агрессией, изредка слабо мутные, имеют землистый запах.

Водоносный комплекс гранитных интрузий содержит подземные воды с незначительной минерализацией – 0,024–0,12 г/л и довольно разнообразным составом. Встречаются воды гидрокарбонатные и хлоридно-гидрокарбонатные, натриевые-кальциевые, магниево-кальциевые, натриевые, кальциевые. В гранитах различных массивов обращает на себя внимание содержание ряда микрокомпонентов. Воды, связанные с Кааттайгинским и Мунгунтайгинским массивами, в подавляющем большинстве проб содержат сурьму. В водах Балыктынского массива сурьма встречается очень редко, но во многих пробах содержится бериллий, галлий и иттрий. В водах Чингекатского массива вышеупомянутые микрокомпоненты отсутствуют.

Воды комплекса характеризуются слабо кислой и нейтральной реакцией – pH 5,3–7,3 и общей жесткостью – 0,15–1,5 мг·экв. В ряде случаев они обладают небольшой углекислой и выщелачивающей агрессией. Воды, связанные с Балыктыским массивом, в большинстве проб мутные, желтоватые.

Водоносный комплекс интрузий среднего и основного состава (диориты, габбро-диабазы и габбро). Воды комплекса пресные, минерализация – 0,242–0,287 г/л, гидрокарбонатные магниево-кальциевые, со щелочной реакцией, pH 7,7–8,4. Общая жесткость – 2,9–3,95 мг·экв.

Водоносный комплекс четвертичных отложений содержит ультрапресные и пресные воды с минерализацией – 0,055–0,292 г/л, гидрокарбонатного магниево-кальциевого, реже кальциевого и натриевого состава, pH колеблется от 6,4 до 8,4, общая жесткость – 0,6–3,6 мг·экв. Воды часто мутноватые желтоватого цвета, иногда с землистым запахом.

Как видно из вышеупомянутой характеристики водоносных комплексов подземные воды района имеют в основном гидрокарбонатный состав, формирующийся за счет общих гидрогеологических условий. Однако, при циркуляции подземных вод в местах развития гипсона-

ных пород, а также на участках распространения сульфидных рудо- проявлений и их солевых ореолов формируются воды сульфатно-гидро- карбонатного типа. При размыве сульфидных рудопроявлений отмечаются и другие изменения в химических свойствах воды: понижение величины pH, повышенные значения отношения сульфат-иона к карбонат- или хлор-иону, обогащение воды рудными компонентами. Выявленные закономерности могут быть использованы в комплексе с другими методами для поисков сульфидных руд.

Гидрохимическое изучение подземных вод района показало присутствие в их составе следующих микрокомпонентов: алюминия, железа, марганца, никеля, кобальта, титана, ванадия, хрома, молибдена, циркония, свинца, серебра, меди, цинка, олова, галлия, иттрия, стронция, бария, лития, бериллия, сурьмы, кадмия, висмута. Наличие такого обширного комплекса рудных элементов, по-видимому, обусловлено размывом рудопроявлений и гидротермально измененных зон с признаками минерализации.

В связи с этим при осуществлении дальнейших поисков в районе в комплекс работ необходимо включить метод гидрохимического опробования, который совместно с основными поисковыми методами поможет выявить конкретные участки для обнаружения здесь перспективных рудопроявлений. Эффективность применения этого метода в данном районе обеспечивается наличием здесь хорошо развитой гидросети и многочисленных источников.

ЛИТЕРАТУРА

Опубликованная

Владимирская Е.В. Ордовикские отложения Центральной и Западной Тувы. Записки Ленинградского Горного института им. Г.В. Плеханова, т. XXXII, вып.2, 1960.

Владимирская Е.В. Ордовикские и силурийские отложения Центральной и Западной Тувы. Информаци. сборник ВСЕГЕИ, №21, 1959.

Волков В.В., Зубаков Р.А., при участии Гирфановой О.М. Объяснительная записка к геологической карте листа М-46-ХIУ (Саглы) масштаба 1:200 000. Госгеолтехиздат, 1959.

Гросвальд М.Г. Развитие рельефа Саяно-Тувинского нагорья. Изд-во Наука, 1965.

Иванова Т.Н., Полевая Н.И., Владимирский Г.М., Дорофеева Э.Ф., Орлов Д.М., Станкевич Е.К., Униксов В.А. Абсолютный возраст некоторых магматических и метаморфических пород центральной части Алтая-Саянской области. Труды ВСЕГЕИ, Нов. серия, т.58, 1961.

Кен А.Н. О девонском магматизме Тувы и Западного Саяна. Информ. сборник ВСЕГЕИ, №58, 1962.

Кузнецов В.А. Основные этапы геотектонического развития на Алтая-Саянской горной области. Труды Горного геологического института Западно-Сибирского филиала АН СССР, вып. I2, 1952.

Кузнецов В.А. Тектоника Западной Тувы на стыке с Горным Алтаем. Известия АН СССР, серия геологическая, №I, 1948.

Кузнецов В.А. Геотектоническое районирование Алтая-Саянской складчатой области. Вопросы геологии Азии. Изд. АН СССР, т.1, 1954.

Фондовая +/

Александров Г.П., Гуляев Ю.С., Сотников Г.Г. Геологическое строение и полезные ископаемые восточной части листа М-46-ХШ (Промежуточный отчет Мугураксинской геолого-съемочной партии по работам 1963г. 1964.

Александров Г.П., Гуляев Ю.С., Сотников Г.Г., Вальдю П.П. Геологическое строение и полезные ископаемые листа М-46-ХШ (Промежуточный отчет Мугураксинской геолого-съемочной партии по работам 1963-1964гг.) 1965.

Анцырев А.А., при участии Исаева И.И., Геллера Е.Л., Корницкого А.Г., Лопарева О.Н. Отчет о поисковых работах, проведенных Барлыкским отрядом в районе среднего течения р. Барлык в 1959г. 1960.

Бельский Г.Г., Быков Б.А., Широкушкин В.Д., Канонихин Е.Т., Некряч А.И., Тенев В.И. Геологическое строение и полезные ископаемые района бассейнов рек Карғы-Талайлык и верховьев рек Барлык (Отчет о результатах поисковых работ Юго-Западной партии №155 за 1960г.) 1961.

Бельский Г.Г., Широкушкин В.Д., Кононихин Е.Т. Геологическое строение и полезные ископаемые бассейнов рек Карғы, Талалык, Саглы, Боршин-гол, Улуг-Чиргак (Отчет о результатах поисковых работ Юго-Западной партии №155 за 1961г.) 1962.

Быков Б.А. при участии Широкушкина В.Д., Вершинина А.Д., Евстигнеевой С.К. Отчет о поисково-разведочных работах Каргинской партии за 1962-1963гг. 1964.

Глазденев В.Г., Пятина Е.В., Павлов М.Г., Сухарев Б.П. при участии Карапова А.Н., Габеева В.А., Ершова А.П. Геологическое строение и полезные ископаемые левобережья реки Барлык и бассейна нижнего течения р. Талайлык (Отчет о работах партии №91 за 1956г.) 1957.

Жуков М.А., Мартынец А.С., Тверянкин И.Г., Евстигнеев О.А. Отчет о геолого-поисковых работах Тытыгхемской партии №20 за 1963г. 1964.

+/ Хранится в фондах Красноярского территориального геологического управления.

Иванова Г.И., Сельвеську Б.Ф. при участии Левина Г.М., Акрамовского И.И., Колпашевой Л.Н., Чистякова А.Н. Геологическое строение и полезные ископаемые бассейнов рек Саглы, Барлык и Чазадыр. (Отчет о поисково-съемочных работах партии №65 за 1954г.) 1955.

Иванова Г.И., Бельский Г.Г., Акрамовский И.И. при участии Затыльниковой И.И., Игoshina A.I., Никифоренко Т.А. Геологическое строение и полезные ископаемые района бассейнов рек Карғы-Барлык. (Отчет о работах партии №82 за 1955г.) 1956.

Игoshин A.I., Кривенко А.П. при участии Широкушкина В.Д., Новик И.А. Геологическое строение и полезные ископаемые верховьев рек Карғы, Шуй, Талайлык. (Отчет о поисково-съемочных работах партии №116 в 1957г.) 1958.

Лешаков Э.И., Дятел Г.Т., Яковлев Х.А. Геологическое строение и полезные ископаемые среднего течения р. Барлык. (Промежуточный отчет Чингекатской партии по работам 1965г.) 1966.

Попов В.В., Игoshин A.I., Габеев В.А., Колбчиков И.М., Ермаков П.А. при участии Ребрина А.С., Карапова А.Н., Мазунина А.П. Геологическое строение и полезные ископаемые бассейнов рек Барлык, Бол. Аянгаты, Улуг-Чиргак. (Отчет Чингекатской партии №153 о поисковых работах за 1960г.) 1961.

Селезнев И.М., Попов В.В., Лешаков Э.И., Мишенков В.М., Ямчинов В.В., Бойко Н.Н., Саварин Ю.С. Геологическое строение и полезные ископаемые района междуречья рек Карғы и Талайлык. (Отчет о поисково-съемочных работах Тытыгхемской партии №92 за 1956г.). 1957.

Сухарев Б.П., Цинкер В.П., Ершов А.П., Коршунов Г.Д., Ямчинов В.В. Отчет о поисково-разведочных работах Талайлыкской партии №91 в бассейне нижнего течения р. Талайлык за 1957г. 1958.

Широкушкин В.Д., Тюлькин В.Г., Митус А.И., Бердниченко И.М., Савва Ю.Н. Геологическое строение и полезные ископаемые района верхнего течения р. Карғы. Листы М-45-60-7; М-46-49-В. (Окончательный отчет о геолого-съемочных работах Каргинской партии за 1963-1965гг.). 1966.

Щербаков Л.Н., Иванов М.К., Барышников Т.В., Иванова Т.К., Енджибадзе Г.М. Геологическое строение и полезные ископаемые правых верхних притоков р. Барлык (Отчет партии № 88 по работам 1956г.). 1957.

Приложение I
СПИСОК МАТЕРИАЛОВ, ИСПОЛЬЗОВАННЫХ ДЛЯ СОСТАВЛЕНИЯ КАРТЫ ПОЛЕЗНЫХ ИСКОПАЕМЫХ

№ п/п	Фамилия и инициалы авторов	Название работы	Год составления или издания	Место-нахождение материала
				1
1	Александров Г.П., Гуляев Ю.С., Сотникова Г.Г.	Геологическое строение и полезные ископаемые восточной части листа М-46-ХШ (Промежуточный отчет Мугураксинской геолого-съемочной партии по работам 1963г.)	1964	Фонды КТГУ и Тувинской экспедиции
2	Александров Г.П., Гуляев Ю.С., Сотникова Г.Г., Вальдю П.П.	Геологическое строение и полезные ископаемые листа М-46-ХШ (Промежуточный отчет Мугураксинской геолого-съемочной партии по работам 1963-1964гг.)	1965	То же
3	Анцырев А.А., при участии Исаева И.И., Геллера Е.Л., Корницикого А.Г., Лопарева О.Н.	Отчет о поисковых работах, проведенных Барлыкским отрядом в районе среднего течения р. Барлык в 1959г.	1960	"
4	Бадьский Г.Г., Быков Б.А., Широкушкин В.Д., Тенев В.И., Некряч А.И.	Геологическое строение и полезные ископаемые района бассейнов рек Кары - Талайлык и верховьев р. Барлык (Отчет о результатах поисковых работ юго-западной партии №155 за 1960г.)	1961	"
5	Быков Б.А. при участии Широкушкина В.Д., Вершинина А.Д., Евстигнеевой С.	Отчет о поисково-разведочных работах Каргинской партии за 1962-1963гг.	1964	"

I	2	3	4	5
6	Глэзденев В.Г., Пятин Е.В., Павлов М.Г., Сухарев Б.П., при участии Кацалова А.Н., Габеева В.А., Ершова А.Л.	Геологическое строение и полезные ископаемые левобережья р. Барлык и бассейна нижнего течения р. Талайлык. (Отчет о работах партии №91 за 1956г.)	1957	Фонды КТГУ и Тувинской экспедиции
7	Жуков М.А., Мартынец А.С., Тверянкин И.Г., Евстигнеев О.А.	Отчет о геолого-поисковых работах Тытыгхемской партии №20 за 1963г.	1964	То же
8	Иванова Г.И., Сельвесюк Б.Ф., при участии Левина Г.М., Акрамовского И., Колпышевой Л., Чистякова А.Н.	Геологическое строение и полезные ископаемые бассейнов рек Саглы, Барлык, Чазадар (Отчет о поисково-съемочных работах партии №65 за 1954г.)	1955	"
9	Иванова Г.И., Бельский Г.Г., Акрамовский И.И. при участии Затыльниковой И.И., Игошина А.И., Никифоренко Г.А.	Геологическое строение и полезные ископаемые района бассейнов рек Каргы - Талайлык (Отчет о работах партии №82 за 1955г.)	1956	"
10	Игошин И.А., Кривенко А.П., при участии Широкушкина В.Д., Новик И.А.	Геологическое строение и полезные ископаемые верховьев рек Каргы, Шуй, Талайлык. (Отчет о поисково-съемочных работах партии №116 в 1957г.)	1958	"
II	Лешаков Э.И., Дятел Г.Т., Яковлев Х.А.	Геологическое строение и полезные ископаемые среднего течения р. Барлык. (Промежуточный отчет Чингекатской партии по работам 1965г.)	1966	"

I	2	3	4	5
12	Попов В.В., Игошин А.И., Габеев В.А., Кольчиков И.М., при участии Ребрина А.С., Кацалова А.Н., Мазунина П.А.	Геологическое строение и полезные ископаемые бассейнов рек Барлык, Бол.Аянгаты, Улуг-Чиргак. (Отчет Чингекатской партии №153 о поисковых работах за 1960г.)	1961	Фонды КТГУ и Тувинской экспедиции
13	Салезнев И.М., Попов В.В., Лешаков Э.И., Мишенков В.М., Ямчинов В.В., Бойко Н.Н., Самарин Ю.С.	Геологическое строение и полезные ископаемые района междуречья рек Каргы и Талайлык. (Отчет о поисково-съемочных работах Тытыгхемской партии №92 за 1956г.)	1957	То же
14	Сухарев Б.П., Цинкер В.Л., Ершов А.П., Кортунов Г.Д., Ямчинов В.В.	Отчет о поисково-разведочных работах Талайлыкской партии №91 в бассейне нижнего течения р. Талайлык за 1957г.	1958	"
15	Широкушкин В.Д., Толькин В.Г., Белоусов В.А.	Отчет Каргинской геолого-съемочной партии по работам 1963г. (промежуточный)	1964	"
16	Широкушкин В.Д., Толькин В.Г., Митус А.И., Бердниченко И.М., Савва Ю.Я.	Геологическое строение и полезные ископаемые района верхнего течения реки Каргы. Листы М-45-60-Г; М-46-49-В (Окончательный отчет о геолого-съемочных работах Каргинской партии за 1963-1965гг.)	1966	"
17	Щербаков Л.В., Иванов М.К., Барышникова Т.В., Иванова Т.К., Енджибадзе Г.М.	Геологическое строение и полезные ископаемые правых верхних притоков р. Барлык (Отчет партии №88 по работам 1956г.)	1957	"

Приложение 2

СПИСОК НЕПРОМЫШЛЕННЫХ МЕСТОРОЖДЕНИЙ ПОЛЕЗНЫХ ИСКОПАЕМЫХ,
ПОКАЗАННЫХ НА ЛИСТЕ М-46-ХIII КАРТЫ ПОЛЕЗНЫХ ИСКОПАЕМЫХ
МАСШТАБА 1:200 000

№ по кар- те	Индекс клетки на карте	Наименование место- рождения и вид по- лезного ископаемого	Состояние эксплуатации	Тип месторож- дения (к-ко- ренное)	№ используемо- го материала по списку
СТРОИТЕЛЬНЫЕ МАТЕРИАЛЫ					
Глинистые породы					
Глины кирпичные					
II7	II-2	Левобережье р.Мугура	Эксплуатируется	К	I,2
I52	III-3	Левобережье р.Карги	Не эксплуати- руется	К	8,I3
Прочие породы					
Гипс					
I59	III-3	Левобережье (I) р. Карги	То же	К	I,2
I61	III-3	Левобережье (II) р. Карги	"		I,2

Приложение 3

СПИСОК ПРОЯВЛЕНИЙ ПОЛЕЗНЫХ ИСКОПАЕМЫХ, ПОКАЗАННЫХ НА ЛИСТЕ
М-46-ХIII КАРТЫ ПОЛЕЗНЫХ ИСКОПАЕМЫХ МАСШТАБА 1:200 000

№ по карте	Индекс клетки на карте	Название (местонахожде- ние) проявления и вид полезного ископаемого	Характеристика проявления	№ ис- пользо- ванного материа- ла по списку
1	2	3	4	5
ГОРЮЧИЕ ИСКОПАЕМЫЕ				
Твердые горючие ископаемые				
Каменный уголь				
68	II-1	Южный склон гор Томтутг- Чарык-Тайгазы	Прослои углистых аргиллитов с лин- зами углей	2
74	II-1	Там же	То же	2
I62	III-3	Левобережье р. Карги	"	I,2,I3
МЕТАЛЛИЧЕСКИЕ ИСКОПАЕМЫЕ				
Черные металлы				
Магнетито-гематитовые руды				
I60	III-3	Боро-Шивэнинское	Гематит в кальцит кварцевой породе среди габбровой интрузии	I,2
99	II-2	Кадыр-Орукское	Линза магнетита 0,2-1,0м протяжен- ностью 40м	10

I	2	3	4	5
II4	II-2	Каргинское	Два тела мартинизированного магнетита и гематита в зоне дробления	9
I28	II-3	Куведавансское	Жилообразные магнетит-гематитовые тела на контакте гранодиоритов с песчаниками и алевролитами	4
I68	III-4	Мергэнбулакское	Зона обогащенных гидротермально-измененных пород, скематированных гидроокислями железа	I,2
45	I-3	Пертайское	Прожилки магнетита 5-40 см среди ороговикованных сланцев	6
75	II-1	Русловое	Пластинки магнетита в жилах кальцита	10
II0	II-2	Садакское	Линзы гематита от 2x7 м до 20x50 м среди песчаников и алевролитов	6
62	I-4	Северо-Эльдыкхемское	Жила гематита 0,3 м протяженностью 230 м среди кварцевых порфиров	I7
53	I-4	Усту-Пахамское	Жила сливного гематита 0,1-0,7 м протяженностью до 150 м среди кварц-карбонатной брекции с убогой медной минерализацией	3

I	2	3	4	5
I09	II-2	Цаган-Шибетинское	Линза сливного магнетита 1,4x7 м среди окварцованных алевролитов	6
I57	III-3	Коче-Давайское	Брекчия с магнетит-марититовыми рудами, халькоzinом, малахитом, азуритом	I,2,7
38	I-2	Теректыкское	Три пласта массивного гематита в алевролитах (20x60 м; 0,75x20 м; 0,6x20 м)	6
I64	III-4	Хребет Боро-Шивэни	Обломки гематита в кварц-карбонатных жилах с вкрапленностью сульфидов.	I,2
			Титан	
I32	II-3	Бомтук-Чарыкское	Скалолитовые жилы с ильменитом и лейкоксеном	4
			Хром	
I26	II-3	Верховье р. Чайлалык	Магнетит-хромитовое тело размером 3,5x10 м среди серпентинитов	4
			Цветные металлы	
			Медь	
I	I-1	Левый борт долины р. Маганатты	Сланцы с примазками медной зелени, содержание меди более 1%	2

I	2	3	4	5
2	I-1	Левый борт урочища Терештеш	Обломки шлаковидных пород с медной зеленью, содержание меди до 1%	2
3	I-1	Левый борт долины Сайлыхем	Мраморизованные известняки с малахитом	2
5	I-1	Русло верхнего левого истока р. Сайлыхем	Гидротермально-измененные породы с пиритом, халькопиритом и малахитом	2
6	I-1	Русло второго сверху левого истока р. Маганатты	Обожженные и эпидотизированные граниты с вкрапленностью пирита, халькопирита, примазками медной зелени	2
7	I-1	Водораздел рек Колом - Маганатты	Роговики с вкрапленностью пирита, халькопирита и медной зелени	2
9	I-1	Водораздел рек Сайлыхем - Узун-Хем	Сланцы с налётомами медной зелени	10
10	I-1	Там же	То же	
II	I-1	Водораздел рек Талайлыг - Маганатты	Кварцевая жила с вкрапленностью халькопирита и примазками малахита	10
I2	I-1	Левый борт долины р. Талайлыг	Обожженные породы с вкрапленностью халькопирита, налётомами малахита и азурита	10
I3	I-1	Там же	Участки скарнированных пород (5-10x40-200м) с гнездами и прожилками пирита, пирротина, халькопирита, арсенопирита	10

I	2	3	4	5
15	I-1	Левый борт долины р. Талайлыг	Кварцевые порфирры с включениями халькопирита и блеклой руды, с примазками малахита, азурита, скородита	10
16	I-1	Там же	Алевролиты и брекчи с вкрапленностью пирита и халькопирита	10
17	I-1	Верховья р. Сев. Узун-Хем	Два рудных тела (0,2x0,5м) мелковарнистого пирита и арсенопирита с примазками малахита	10
18	I-1	Правый борт долины р. Сев. Узун-Хем	Габбро-диабазы с примазками медной зелени	10
19	I-1	Правый борт долины р. Талайлыг	Сланцы с включениями пирита, халькопирита и примазками медной зелени	10
20	I-1	Там же	Кварцевые порфирры с гнездами халькопирита и блеклой руды	10
21	I-1	"	Осветленные сланцы с налётомами малахита	10
22	I-1	"	Порфириты с вкрапленниками халькопирита и примазками медной зелени	10
23	I-1	Верховья р. Сев. Узун-Хем	Роговики с примазками медной зелени	10
24	I-1	Горы Узун-Хем - Тайга, 0,9км ю.-з. высоты 3348	Жилка (0,04-0,07х2,5м) блеклой руды и халькопирита с примазками малахита	10

I	2	3	4	5
25	I-1	Верховья р. Талайлыг, 1,1км с.-з. перевала Кадыр-Орук	Сланцы с примазками малахита	10
26	I-1	Верховья р. Талай- лыг 0,6км с.-в. пе- ревала Кадыр-Орук	То же	10
27	I-1	Правый борт долины р. Талайлыг, 2,5км с.-в. перевала Ка- дыр-Орук	"	10
28	I-1	Правый борт долины р. Талайлыг, 0,7км с.-в. высоты 3344	"	10
29	I-1	Там же	"	2
30	I-2	Правый борт долины р. Балыктык, 5,0км ю.-в.г. Мунхулик	"	2
31	I-2	Водораздел Балыктык - Аккарасу, 3,0км са- вернее г. Барт-Чарык	Две кварцевые жилки (0,2x2-2,5м) с вкрап- лениками халькозина и налётами малахита. Содержание меди по химанализу 0,74%	13
32	I-2	Левый борт долины р. Аккарасу, 1,5км севернее устья ёё левого притока	Кварцевые порфиры с примазками медной зелени	2
33	I-2	Правый борт долины Таректы, 9,2км с.-з. ёё устья	Линза мраморизован- ных известняков (60x180м) с гнездами и вкрапленностью халькопирита, борни- та и вторичными мине- ралами меди. Содерже- ние меди по штуковым пробам 2,43-5,48%	6

I	2	3	4	5
34	I-2	Правый борт долины р. Балыктык, 1,6км выше устья левого притока	Габбро-диабазы с при- мазками малахита и аэзурита	2
35	I-2	Левый борт долины Балыктык, 450м с.-в. устья левого притока	Обломки ороговико- ванной породы с вкрапленностью суль- фидов и малахитом	2
37	I-2	Район горы Шааром	Обожженные породы с вкрапленностью суль- фидов, примазками малахита и аэзурита в зоне дробления	2
39	I-2	Правый борт долины р. Талайлыг, 2-3км ю.-з. устья р. Ак- карасу	Измененные породы с примазками медной зелени и аэзурита	2
40	I-3	Левый борт р. Барлык, 3,9км с.-з. устья р. Орту-Пахаш	Обломки роговиков с гнездами малахита и аэзурита	2
48	I-3	Водораздел рек Талай- лыг-Таректы	Кварцевые песчаники с гнездами аэзурита	2
49	I-3	Правый борт долины р. Талайлыг, 1,0км с.-з. высоты 2425	Серые гравелиты с примазками аэзурита	1,2
50	I-3	Правый борт долины р. Барлык	Кварцевые и кварц- карбонатные прожилки с вкрапленностью и гнездами халькопири- та с малахитом, аэзу- ритом и лимонитом	3
55	I-4	Верхний правый при- ток р. Оначи	Обломки кальцитовых жил с вкрапленностью сульфидов меди	8

I	2	3	4	5
58	I-4	Водораздел рек Саг-лы-Гогерим, южнее высоты 3016	Обломки жильного кварца с налётами малахита и азурита	I,2
59	I-4	Правый борт долины Эльды-Хем, 2,6км ю.-в. высоты 3053	Карбонатные жилы размером от 0,1x3,5 до 0,5x5м с редкой вкрапленностью халькопирита, с малахитом и азуритом	I2
60	I-4	Правый берег р. Оначы, 2,8км с.-в. устья р. Кара-Су	Свалы песчаников с примазками малахита и азурита	I,2
61	I-4	Левый борт долины р. Эльды-Хем	Карбонатные прожилки с примазками малахита в розовато-серых порфиритах	I,2
65	II-1	Хребет Цаган-Шибэту, 1,9км ю.-в. высоты 3344	Габбро-диабаз с примазками медной зелени и азурита, там же кварц-карбонатная жила с халькопиритом	2
67	II-1	Верховья р. Оюк-Хем	Обожженные дробленые граниты с сульфидами, примазками медной зелени и азурита	2
69	II-1	Верховья р. Кадыр-Орук	Зоны дробления мощностью 1,75-0,6м протяженностью 60-70м с арсенопиритом, халькопиритом, борнитом, ковелином и медной зеленью	10
70	II-1	Там же	Обломки измененных пород с налетами медной зелени	2

I	2	3	4	5
71	II-1	Левый борт долины р. Южн. Узун-Хем	Обломки измененных пород с налетами медной зелени	2
72	II-1	Верховья р. Оюк-Хем	Обломки кварца с халькопиритом и медной зеленью	2
76	II-1	Южный склон гор Томтутуг-Чарык-Тайгазы	Порфириты с налёта-ми малахита	10
86	II-1	Правый борт долины р. Балыктык	Роговики с примаз-ками медной зелени	2
89	II-1	Междуречье Карги - Мугур	Кварцевая жила с примазками медной зелени	2
90	II-1	Правый борт долины р. Карги	Брекчированные по-роды с налёта-ми медной зелени	2
91	II-1	Междуречье Карги - Мугур	То же	2
92	II-1	Водораздел рек Карги - Мугур	Оруденелая зона 20-30м с кварцевыми жилами - вкраплен-ность борнита и пирротина	9
93	II-2	Горы Кадыр-Орук-Таг	Сланцы с примазками вторичных минералов меди	10
97	II-2	Северный склон хребта Цаган-Шибэту	Зона брекчирован-ных пород с рудными обломками из халь-копирита, халько-зида, медной зелени и азурита	2
98	II-2	Правый борт долины р. Талайлыг	Сланцы с примазками малахита	2
100	II-2	Водораздел рек Талай-лыг - Тумзе	То же	2

I	2	3	4	5
101	II-2	Правый борт долины р. Оруктуг	Гидротермально-измененные породы с вкрапленностью сульфидов меди и примазками малахита	2
103	II-2	Русло р. Тумзэ, 2,3км севернее горы Ак-Баштыг	То же	2
104	II-2	Левый исток р. Калбак-Тытыг-Хема	Две кварцевые жилы с халькопиритом. Содержание меди 0,31-2,89	13
III	II-2	Южный склон хребта Цаган-Шибэту	Гидротермально-измененные породы с вкрапленностью сульфидов меди, блеклых руд и примазками медной зелени	2
115	II-2	Правый борт долины р. Карги	Кварцевая жила мощностью от 2 до 5м, протяженностью 150м с вкрапленностью сульфидов и налетами малахита и азурита	2
116	II-2	Водораздел рек Карги - Мугура	Ороговикованные песчаники с примазками медной зелени	2
118	II-2	Правый борт долины р. Мугура	Флюорит-барит-кальцитовые жилы с бедной вкрапленностью халькоцина	1,2
119	II-2	Левый борт долины р. Мугура	Обломки жильного кварца с малахитом и азуритом	2
121	II-3	Правый борт долины р. Пиче-Кожая	Кварцевая жила с халькопиритом	6

I	2	3	4	5
122	II-3	Хребет Пиче-Кожай	Обломки руды с халькопиритом, борнитом, малахитом, азуритом, охрами железа	8
123	II-3	Левый борт долины р. Чалайлыка	Кварцевая жила мощностью 0,5м и длиной 10м с вкрапленностью халькопирита	6
125	II-3	Левый борт долины р. Барлыка	Свальи жильного кварца с вкрапленностью халькопирита	6
127	II-3	Левый борт долины р. Барлыка	Песчаники и алевролиты с вкрапленностью сульфидов меди	1,2
130	II-3	Водораздел рек Ку-ведаба - Пюнтых-Белдыра	Свальи гидротермально-измененных пород с налетами малахита	1,2
131	II-3	Русло р. Хамчечайлыка	Обломки бракчированных алевромитов с вкрапленностью сульфидов меди	1,2
135	II-3	Левый борт долины р. Карги	Обожренные песчаники с медной зеленью и азуритом	1,2
137	II-3	Правый борт долины р. Барлыка	Обломки гидротермально-измененных алевромитов с налетами малахита и вкрапленностью халькоцина	1,2
139	II-4	Правый борт долины р. Арзайты	Карбонатные и кварцевые прожилки с вкрапленностью халькопирита	8
149	II-4	Левый борт долины р. Хамчечайлыка	Обломки карбонатно-серicitовых пород с примазками малахита	1,2

I	2	3	4	5
151	II-4	Водораздел рек р. Барлыка - Хемчечилька	Кварцевая жила (2x30м) с вкрапленностью сульфидов и налетами медной зелени	1,2
153	III-1	Левый борт долины р. Толайты	Обломки гранитов с ксенолитами роговиков с вкрапленностью халькопирита	2
154	III-2	Правый борт р. Муттура	Обломки жильного кварца с вкрапленностью халькопирита	1,2
II2	II-2	Южный склон хребта Цаган-Шибэту	Оранжево-желтые тектонические глины с медной зеленью	2
52	I-4	Левый борт долины р. Усту-Пахаш	Кварцевая жила (0,1-0,2x150м) с гнездообразной вкрапленностью халькопирита, никелина и аннабергита	17
66	I-1	Левый борт долины р. Юж. Узун-Хема	Обломки рудной жилы с борнитом, халькопиритом, халькоzinом, ковеллином, теннантитом, пиритом, малахитом, азуритом, минералами никеля. Содержание меди - 10,2%, никеля - 0,13%	10
54	I-4	Водораздел рек Оначы - Усту-Пахаша	Обломки окварцованных песчаников с железистым карбонатом и налетами малахита	8
57	I-4	Правый борт долины р. Оначи	Дробленные и обожженные песчаники с медно-никель-кобальтовой	8

I	2	3	4	5
			минерализацией Содержание меди - 1,3-15,0; кобальта - 0,75; никеля - 0,27%	
43	I-3	Правый борт долины р. Усту-Пахаша	Отдаленные гнезда размером 10-20см ² с халькопиритом, малахитом и кобальтовыми чериями	17
64	II-1	Горы Узун-Хем-Тайга	Карбонатно-кварцевые и карбонатные жилы с пиритом, халькопиритом, джулукулитом. Содержание меди - до 1,2; кобальта до 1,0%	10
108	II-2	Правый борт долины р. Тумээ	Минерализованные трещины в алевролитах с халькопиритом, эритрином, малахитом. Содержание меди - до 4,4; кобальта - до 1,28; никеля - до 0,44%	6
			Свинец	
41	I-3	Орту-Пахашковое	Гидротермально-измененные песчаники и алевролиты с повышенной гамма-активностью	3
158	III-3	Хурен-Тайгинское	Дробленные, брекчированные породы с минерализацией галенита	13

I	2	3	4	5
I34	II-8	Левый борт долины р. Каргы Цинк	Ярко-желтые гидротермально-измененные породы содержащие свинца до 1%	I,2
84	II-1	Водораздел рек Каргы - Мугура	Буровато-серые гранит-порфиры с повышенной гамма-активностью, содержащие цинка 0,3%	2
I02	II-2	Верховья р. Калбак-Тытыг-Хема	В зоне брекчирования 100м и протяженностью 1200м алевролиты и сланцы с вкрапленностью и прожилками сульфидов, содержащие цинка 0,6%	7
I05	II-2	Левый борт долины р. Кургаг-Тытыг-Хема	То же	7
I07	II-2	Хребет Цаган-Шибэту	"	7
I33	II-3	Хребет Боро-Шивэни	"	I,2
I38	II-3	Верховья р. Барлыка	Ореол рассеяния цинка (0,1%) по данным штуфного опробования	I,2
I46	II-4	Правый борт долины р. Хемчечейлыка	Зона дробления и обогащения мощностью 120м, содержание цинка 0,3%	I,2
I55	III-2	Левый приток р. Хара-Харегай	То же	2

I	2	3	4	5
		Полиметаллические		
56	II-4	Правый борт долины р. Оначи	Обломки рассланцованых песчаников с примазками рудных охр	I,2
I40	II-4	Левый борт долины р. Эльды-Хема	Кварцевая линза размером 0,4x3м с вкрапленностью сульфидов	I,2
I52	II-4	Истоки р. Хемчечейлыка	Обохренные песчаники с малахитом и азуритом с вкрапленностью халькопирита, халькозина, галенита	I,2
I06	II-2	Левый борт долины Калбак-Тытыг-Хема	Кварц-карбонатные породы с пиритом, пирротином, халькопиритом, пентландитом	
		Никель		
73	II-1	Южный склон г. Сур-Тайга	Кварц-карбонатная жила 10-15см с вкрапленностью сульфидов никеля и вторичных минералов	2
96	II-2	Правый борт долины р. Талайлыг	Гидротермально-измененные породы	2
I41	II-4	Хребет Даган-Дэль-Ула	Обломки измененных пород	I,2
I42	II-4	Левый берег ручья Овального	Линза 2-3м лиственилов	I,2
I43	II-4	Хребет Даган-Дэль-Ула	Оталькованные серпентиниты в зоне дробления	I,2

I	2	3	4	5
77	II-1	Южный склон г. Узун-Хем-Тайга	В серпентинитах линзы 30-60x450м лиственитов с никелином, герцдорфитом и аннабергитом. Прожилки асбеста	9,15
		Кобальт		
I20	II-3	Талайлыгское I	Карбонатные породы с минералами меди, кобальта и никеля. Содержание кобальта до 9,0%	6,9
I4	I-1	Левоталайлыгское II	Карбонатные жилы с минералами меди, кобальта и никеля. Содержание кобальта до 1,22%	16
		Чишьянк		
8	I-1	Водораздел рек Талайлыг - Маганатты	В эпидото-карбонатных породах рудная зона с пиритом и арсенопиритом	10
		Редкие металлы		
		Ртуть		
46	I-3	Левый борт долины р. Пиче-Таректы,	В дробленых порфиритах гнездо (1,5x 0,1) с тонкими примазками киновари, содержание редких земель сотня процента	1,2,6

I	2	3	4	5
63	I-4	Река Эльды-Хем	Карбонатные и карбонатно-кварцевые жилы с вкрапленностью и примазками киновари	4
I29	II-3	Левый борт долины р. Барлыка	То же	I4
I43	II-4	Левый борт долины р. Эльды-Хема	"	4
47	I-3	Чушкутское	Карбонатно-кварцевая жила (0,05x40м) с вкрапленностью киновари и вторичными минералами меди	I,2
I24	II-3	Верховья р. Чайла-лык	Гидротермально-измененные породы с медно-никелевой минерализацией и киноварью	I4
		Висмут		
4	I-1	Русло левого истока р. Сайлыхема	Обохранные дробленые окварцованные сланцы, содержащие висмута 0,1%	2
		Молибден		
I48	II-4	Правый борт долины р. Хемчечейлыка	Окварцованные осветленные породы с минерализованными участками, содержащими сульфиды меди, пироморфит, вульфенит	4
		Олово		
78	II-1	Правый борт долины р. Каргы у устья р. Оюк-Хема	Грейнезированные граниты с касситеритом. Содержание олова до 4,0%	5

I	2	3	4	5
79	П-1	Правый борт долины р. Балыктыка	Зоны мусковито-кварцевых грейзенов с касситеритом	5
80	П-1	Там же	Зоны каолинизации и грейзенизации	5
81	П-1	Левый борт урочища Суглуг-Хову	Жилообразные тела метасоматитов с тонкими прожилками флюорита, содержание олова до 0,58%	5
82	П-1	Там же	Жилы метасоматитов и грейзенов с касситеритом, содержание олова до 5,0%	5
83	П-1	Водораздел урочищ Суглуг-Хову и Эрик-Арга	Зоны каолинизации и грейзенизации гранитов с касситеритом	5
85	П-1	Правый борт урочища Хопчугдуг-Хову	То же	5
88	П-1	Водораздел урочищ Суглуг-Хову и Эрик-Арга	Метасоматиты и грейзены с флюоритом	5
Вольфрам				
III3	П-2	Южный склон хребта Цаган-Шибэту	Лимонитизированные брекчированные породы с прожилками пирита и кальцита, содержание вольфрама 0,1-0,3%	2
Тантал и ниобий				
51	П-4	Бассейн рек Гогерим, Кольчуктух, Бол.Бугаш	Ореол рассеяния минералов из группы тантало-ниобатов, содержание до 0,003г (1-10 знаков)	I,2

I	2	3	4	5
Редкие земли				
36	П-2	Левый борт долины р. Колош	Гидротермально-измененные породы, содержащие - 0,6-1,0; иттербия - 0,06-0,1; бериллия - до 0,03%	2
94	П-2	Хребет Цаган-Шибэту	Габброиды содержащие иттрий и иттербий	2
I45	П-4	Водораздел рек Хемчечайлыка - Эльды-Хема	Брекчированные породы содержащие сотые процента иттрия, церия, лантана	I,2
I47	П-4	Левый борт долины Хемчечайлыка	Актинолитовые сланцы в зоне дробления	I,2
I50	П-4	Хребет Утту-Хая	Свалы брекчированных обожженных окварцованных пород	I,2
НЕМЕТАЛЛИЧЕСКИЕ ИСКОПАЕМЫЕ				
Химическое сырье				
Флюорит				
87	П-1	Водораздел рек Каргы - Мугура	Обломки жильного кварца с гнездами флюорита	2
95	П-2	Хребет Цаган-Шибэту	Жилы карбонатно-кварцевых пород мощностью 4м с гнездами флюорита	2
Барит				
I56	П-3	Южный склон хребта Боро-Шивэни	Баритовые жилы мощностью 0,6-1,0м, протяженностью 4-5м	7

I	2	3	4	5
		Прочие силикатные ископаемые		
		Асбест хризотиловый		
42	I-3	Правый борт долины р. Барлыка	Гипербазиты с прожил- ками хризотил-асбеста	II
44	I-3	Чингекатское плато	Рассланцованые сер- пентиниты с тонкими прожилками хризотил- асбеста	I,2

СОДЕРЖАНИЕ

	Стр.
Введение	3
Стратиграфия	6
Интрузивные образования.....	46
Тектоника	54
Геоморфология	64
Полезные ископаемые	68
Подземные воды	82
Литература	87
Приложения	91